

# HôpitAssist

**un robot de livraison au  
sein des hôpitaux**



- **Introduction**
- **Objectifs :**
  - **Navigation précise vers la chambre du patient.**
  - **Choix du capteur de détection d'obstacles.**
  - **Valider le diamètre et le matériau de l'arbre moteur.**
  - **Analyse les contraintes appliquées sur les étagères et le choix du matériau adapté**
  - **Construire un prototype pour valider la mise en œuvre du système.**
- **Conclusion**

# HôpitalAssist : quelle valeur ajoutée ?



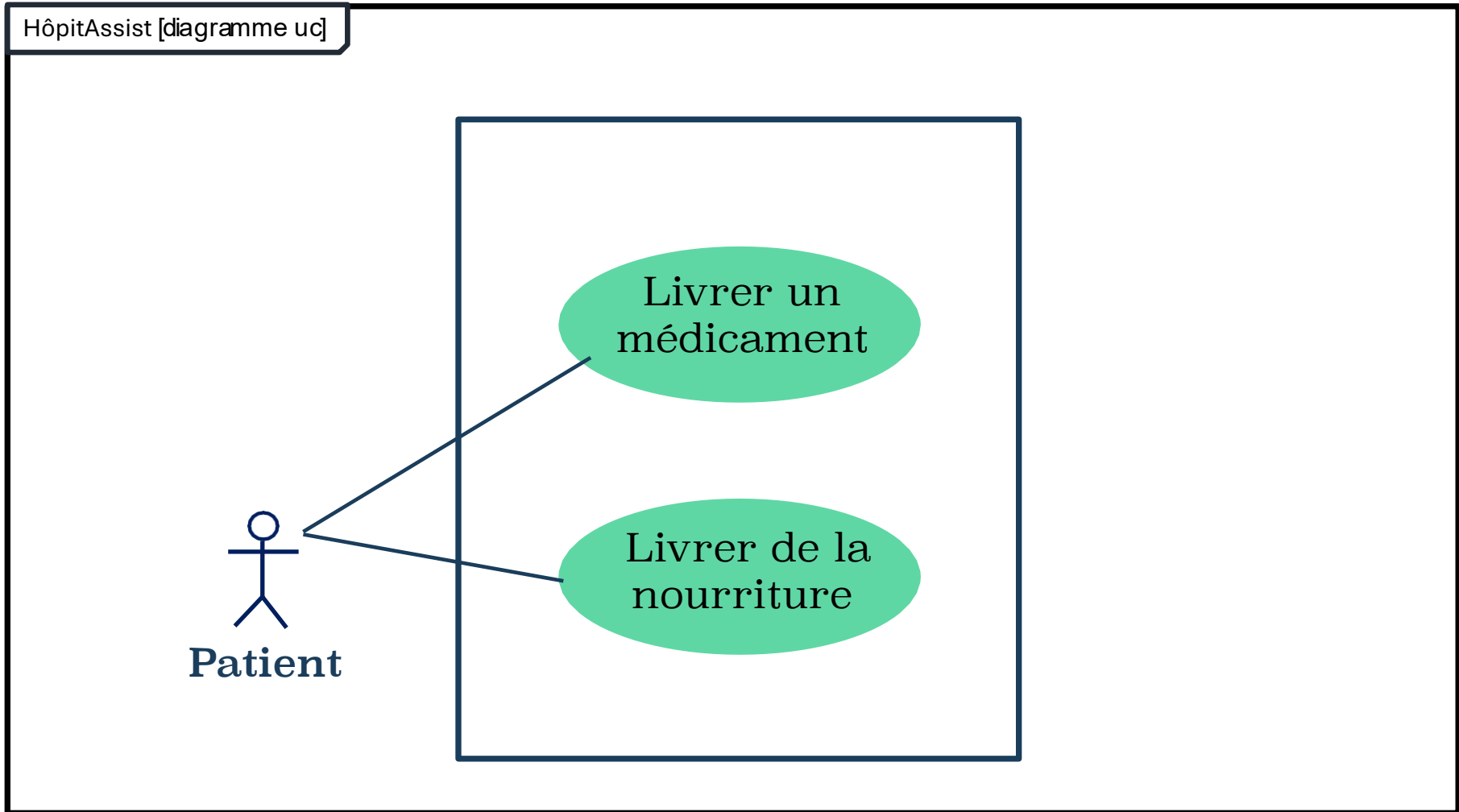
<https://fr.reemanrobot.com/>

## Problématique: \_\_\_\_\_

Comment automatiser la livraison de médicaments et de repas jusqu'aux chambres des patients, tout en assurant une navigation efficace dans les couloirs?

---

# Diagramme des cas d'utilisation:



# 1<sup>er</sup> objectif: \_\_\_\_\_

Navigation précise vers la chambre du patient:

- Principe de l'algorithme BFS.
- Cartographie et optimisation.
- Comparaison des algorithmes BFS et Dijkstra.
- Odométrie.
- Stratégie de commande: logique floue.
- Asservissement en vitesse.
- Simulation sur MATLAB.

## 1. Construction de la grille:

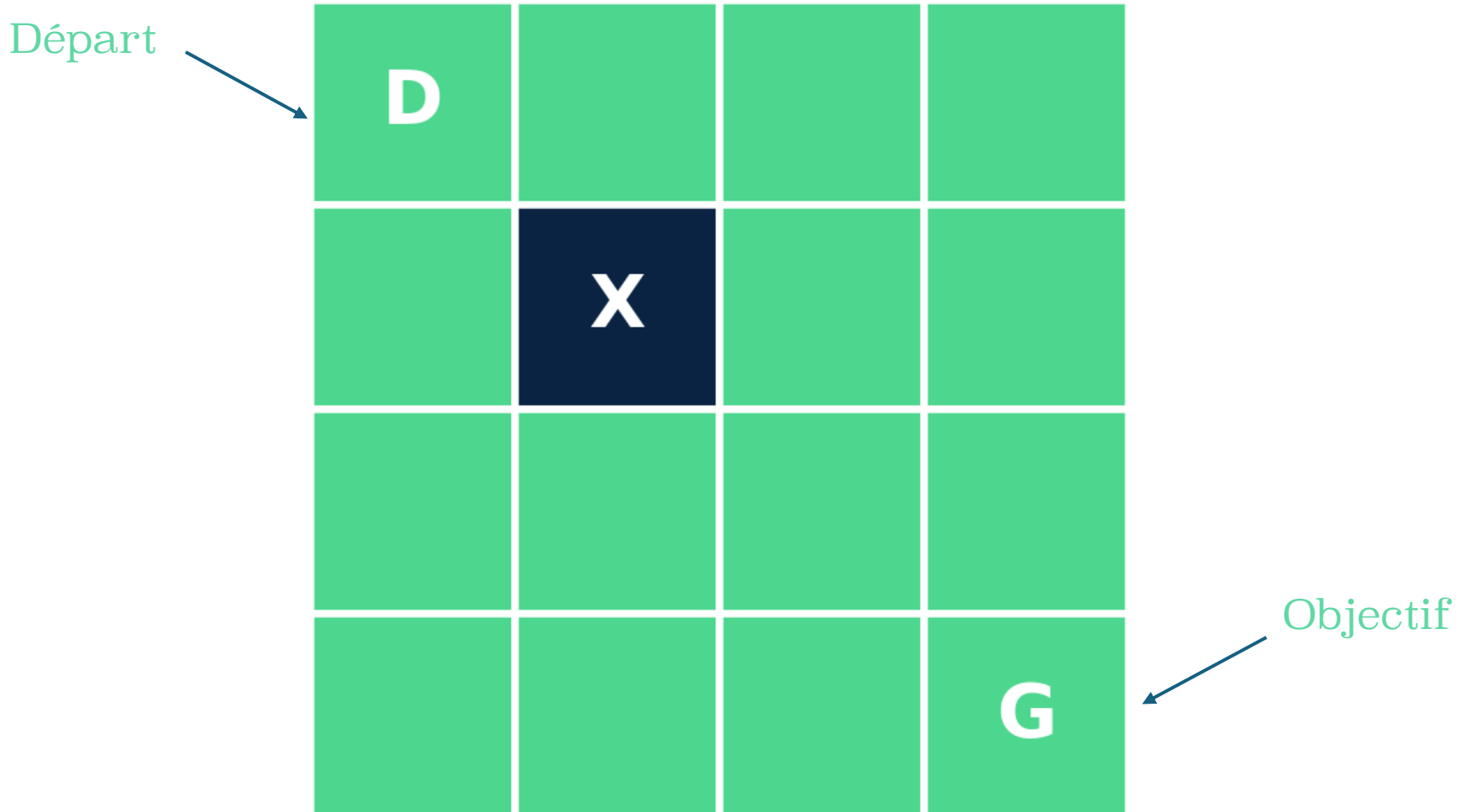


Figure 1.1

# Principe de l'algorithme BFS

## 2. Grille → Graphe de navigation:

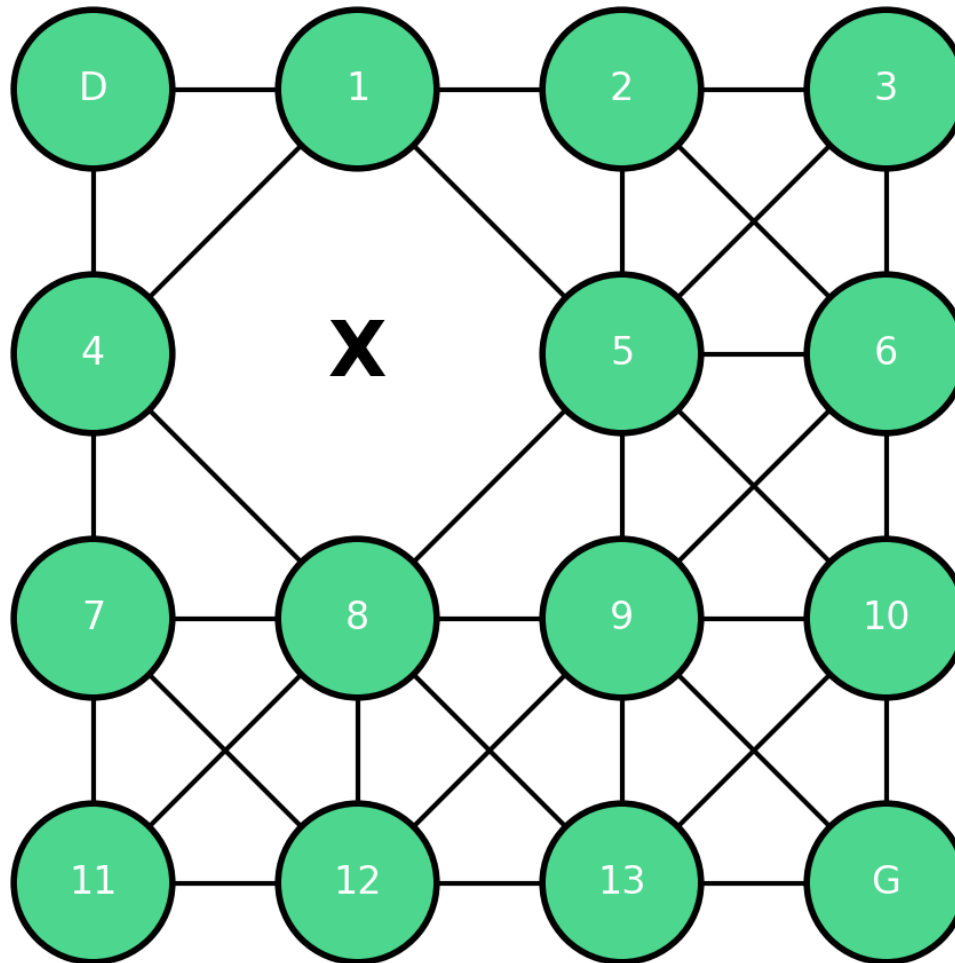


Figure 1.2

# Principe de l'algorithme BFS

## 3. Couches de distance:

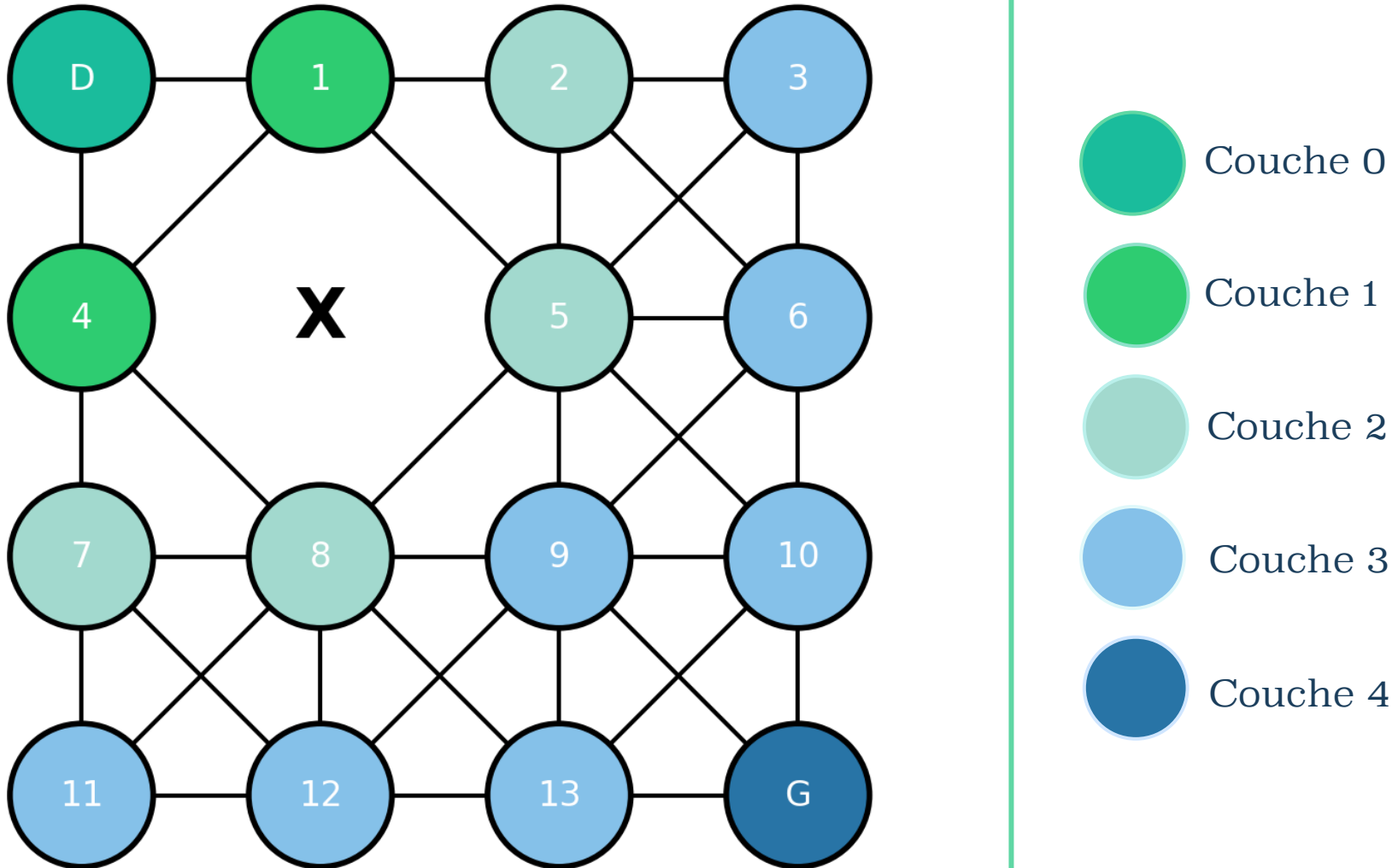


Figure 1.3

# Principe de l'algorithme BFS

## 4. Exploration par couches:

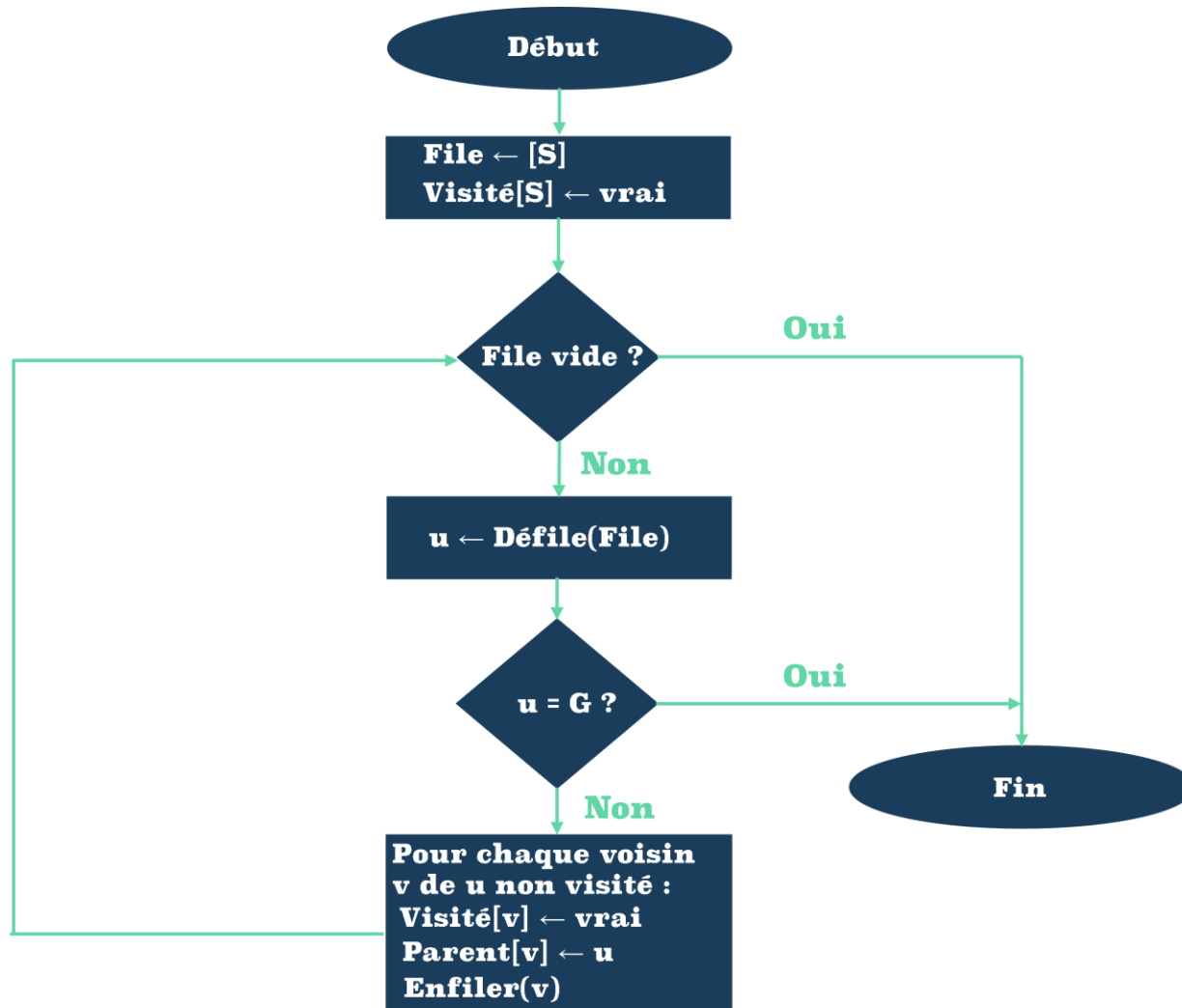


Figure 1.4

# Principe de l'algorithme BFS

## 5. Évolution de la File:

Étape	u défilé	File avant	File après	Nouveaux parents
0	—	—	[D]	—
1	D	[D]	[4, 1]	4←D, 1←D
2	4	[4,1]	[1, 7, 8]	7←4, 8←4
3	1	[1, 7, 8]	[7, 8, 5, 2]	5←1, 2←1
4	7	[7, 8, 5, 2]	[8, 5, 2, 11, 12]	11←7, 12←7
5	8	[8, 5, 2, 11, 12]	[5, 2, 11, 12, 13, 9]	13←8, 9←8
6	5	[5, 2, 11, 12, 13, 9]	[2, 11, 12, 13, 9, 10, 6, 3]	10←5, 6←5, 3←5
7	2	[2, 11, 12, 13, 9, 10, 6, 3]	[11, 12, 13, 9, 10, 6, 3]	—
8	11	[11, 12, 13, 9, 10, 6, 3]	[12, 13, 9, 10, 6, 3]	—
9	12	[12, 13, 9, 10, 6, 3]	[13, 9, 10, 6, 3]	—
10	13	[13, 9, 10, 6, 3]	[9, 10, 6, 3, G]	G←13
11	9	[9, 10, 6, 3, G]	[10, 6, 3, G]	—
12	10	[10, 6, 3, G]	[6, 3, G]	—
13	6	[6, 3, G]	[3, G]	—
14	3	[3, G]	[G]	—
15	G	[G]	[]	—

Figure 1.5

# Principe de l'algorithme BFS

## 6. Processus de back-tracking:

nœud v	parent[v]
D	—
1	D
4	D
2	1
5	1
7	4
8	4
3	2
6	2
10	5
9	5
13	8
12	8
11	8
G	10

Figure 1.6



## 1. Hypothèses de modélisation:

- Robot = point pour BFS (**15×25 cm** géré plus tard)
- 8-connectivité (N, NE, E, SE, S, SO, O, NO)
- Carte statique : seuls les obstacles marqués sont pris en compte
- Cellule homogène : chaque case 10×10 cm a un coût identique → pas de pondération.

## 2. Carte brute (24 × 24):

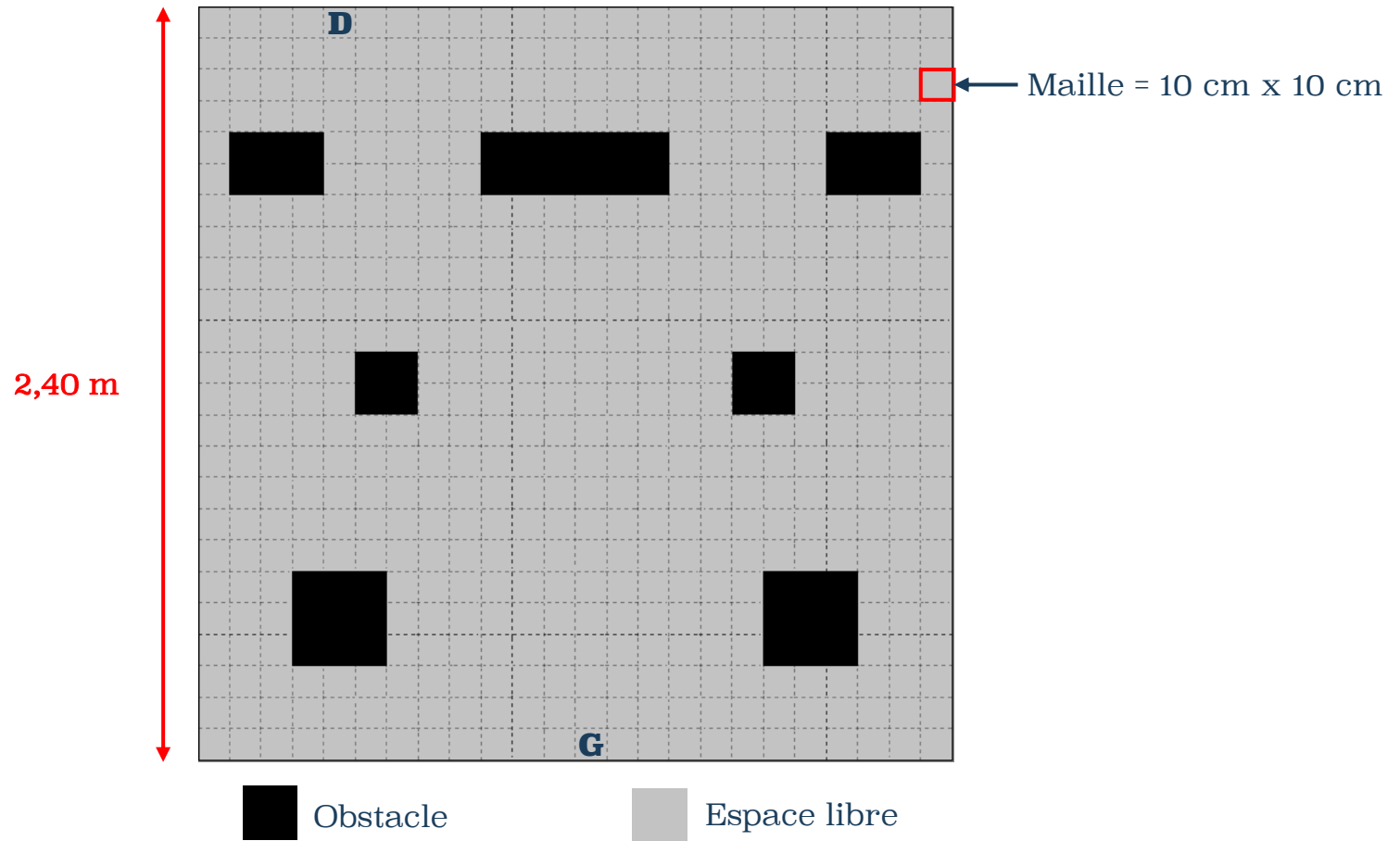
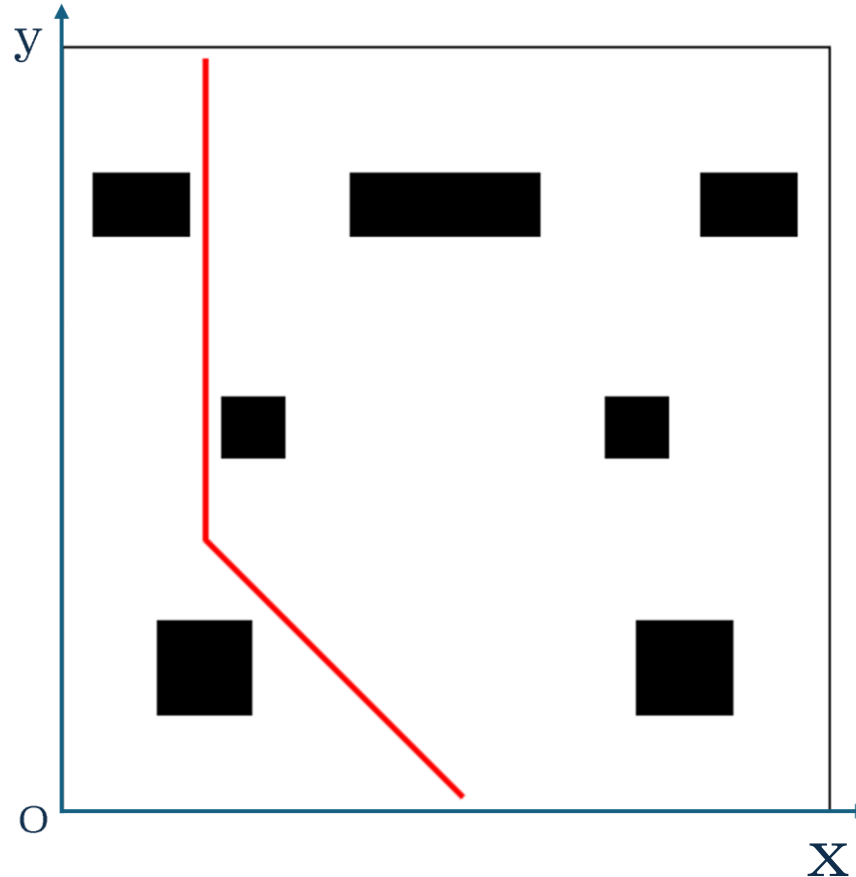


Figure 1.9

## 3. BFS sur carte brute:



Waypoints (x, y) en cm :

```
[(40, 230), (40, 220), (40, 210), (40, 200), (40, 190), (40, 180), (40, 170), (40, 160), (40, 150), (40, 140), (40, 130), (40, 120), (40, 110), (40, 100), (40, 90), (40, 80), (50, 70), (60, 60), (70, 50), (80, 40), (90, 30), (100, 20), (110, 10), (120, 0)]
```

Figure 1.10

## 4. Limite du chemin brut:

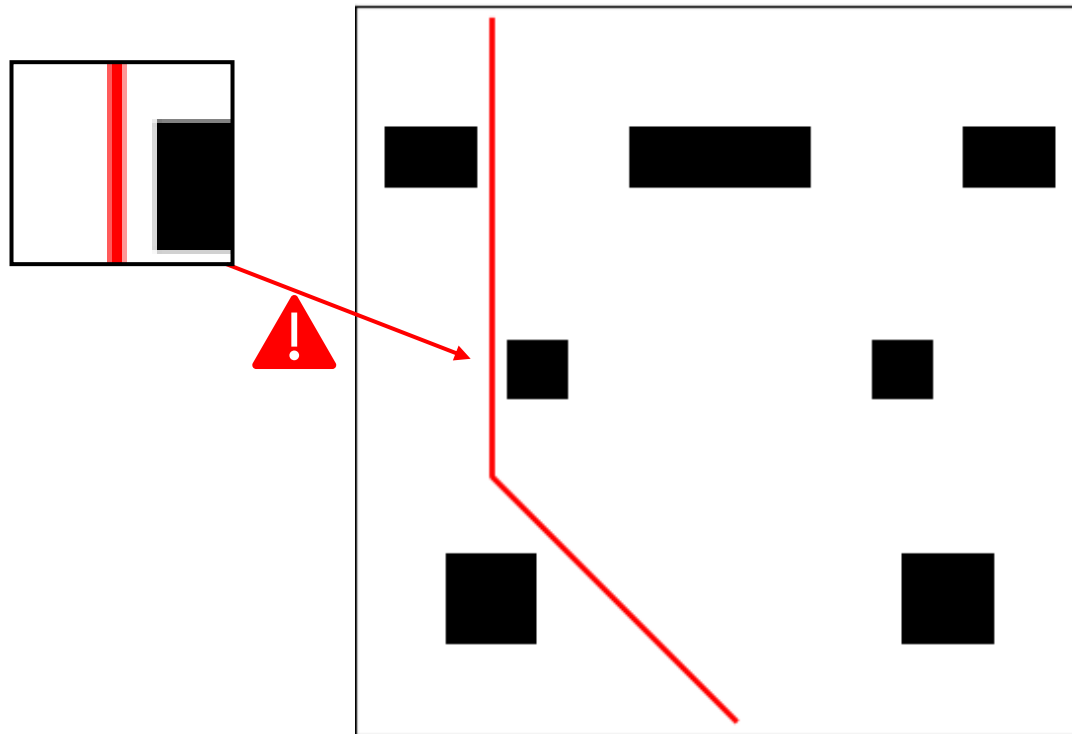


Figure 1.11

- On remarque que le chemin brut frôle dangereusement les obstacles (BFS traite le robot comme un point), or celui-ci a un gabarit réel non négligeable, ce qui crée un risque de **collision**.

## 5. Avant / Après gonflage:

- demi-largeur robot (7,5 cm) → Gonflage = 1 case (10 cm)
- tolérance (~2,5 cm) pour marge de sécurité

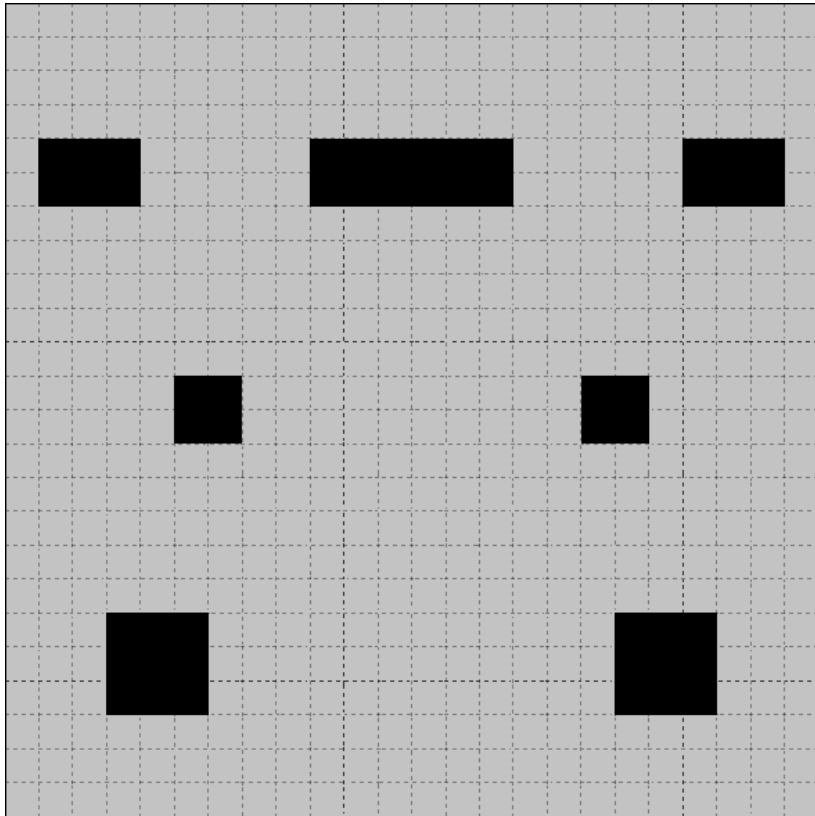


Figure 1.12: Avant gonflage

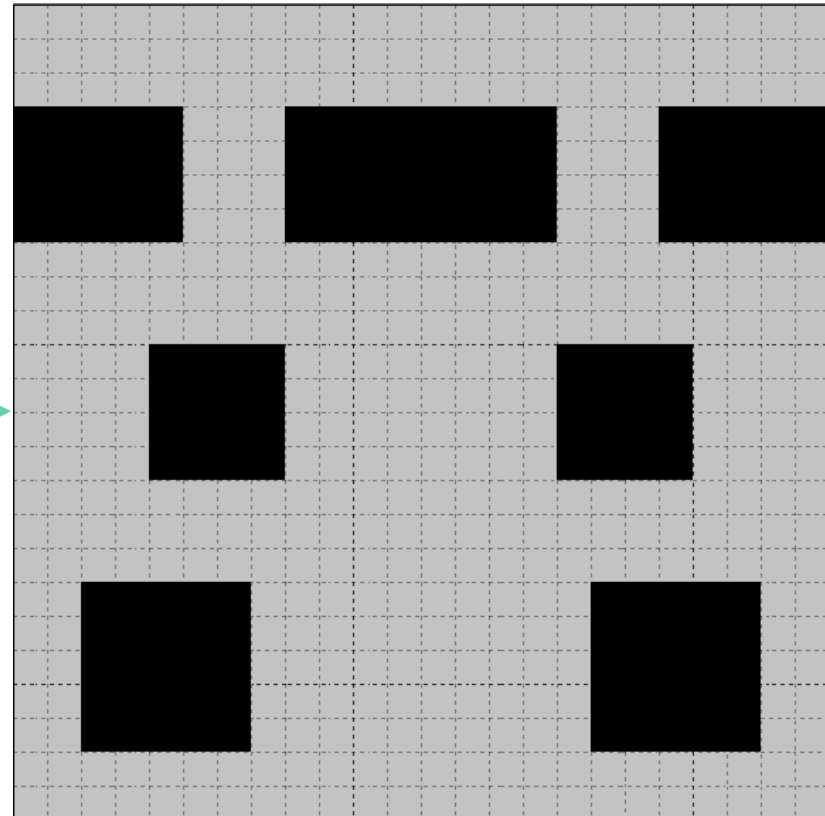


Figure 1.13: Après gonflage

## 6. Impacts du gonflage sur BFS:

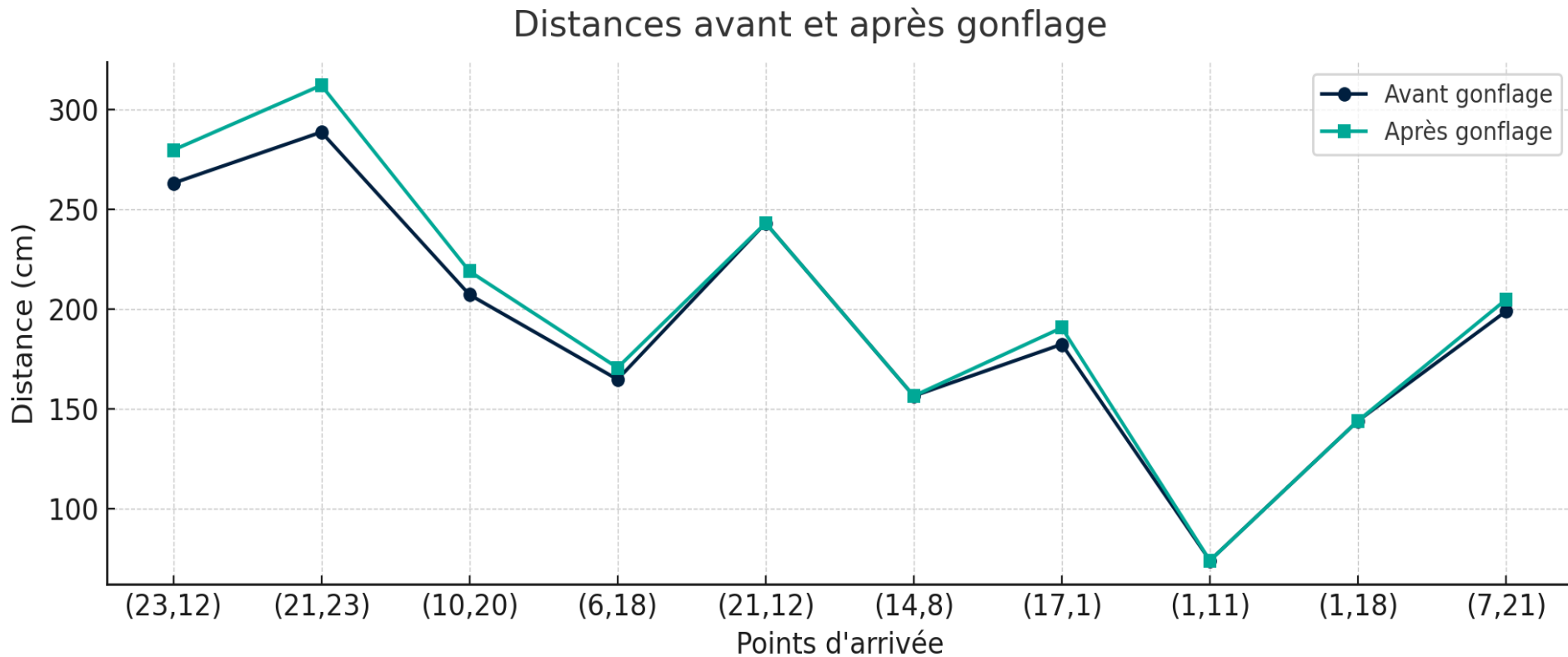


Figure 1.14

## Comparaison des temps d'exécution du BFS

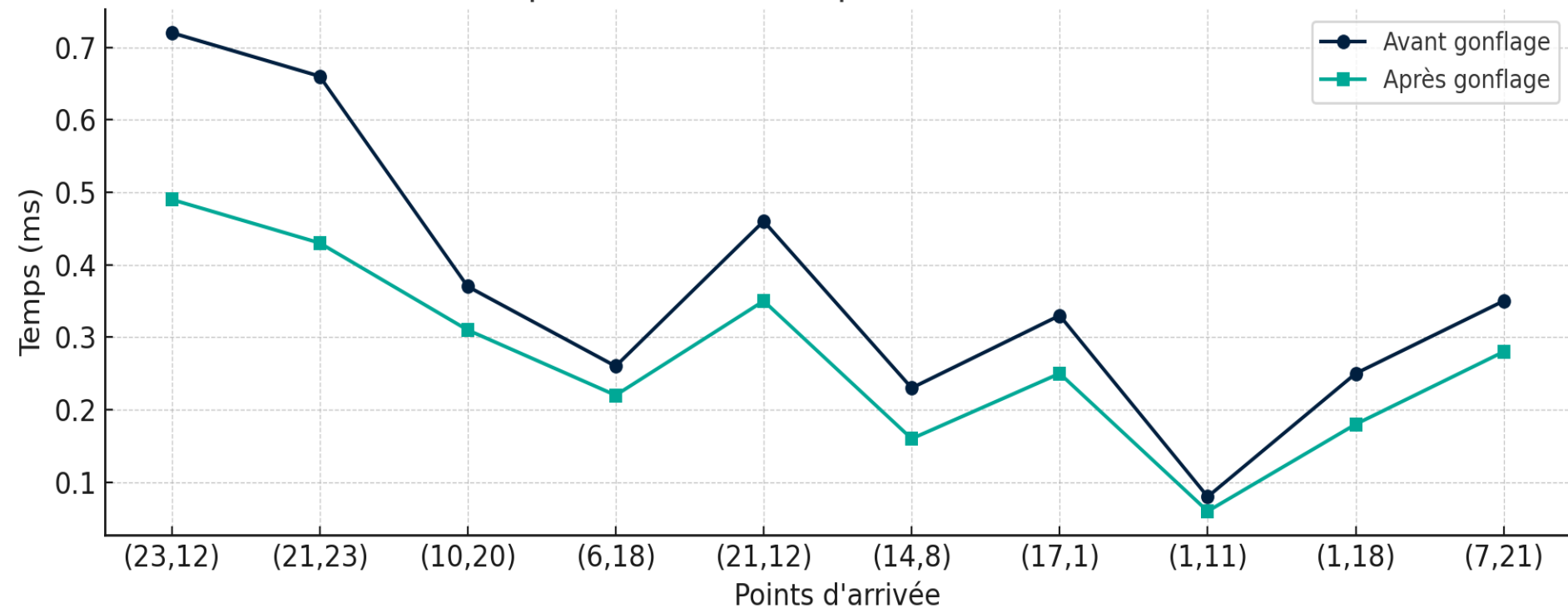


Figure 1.15

## 7. Fusion de segments rectilignes:

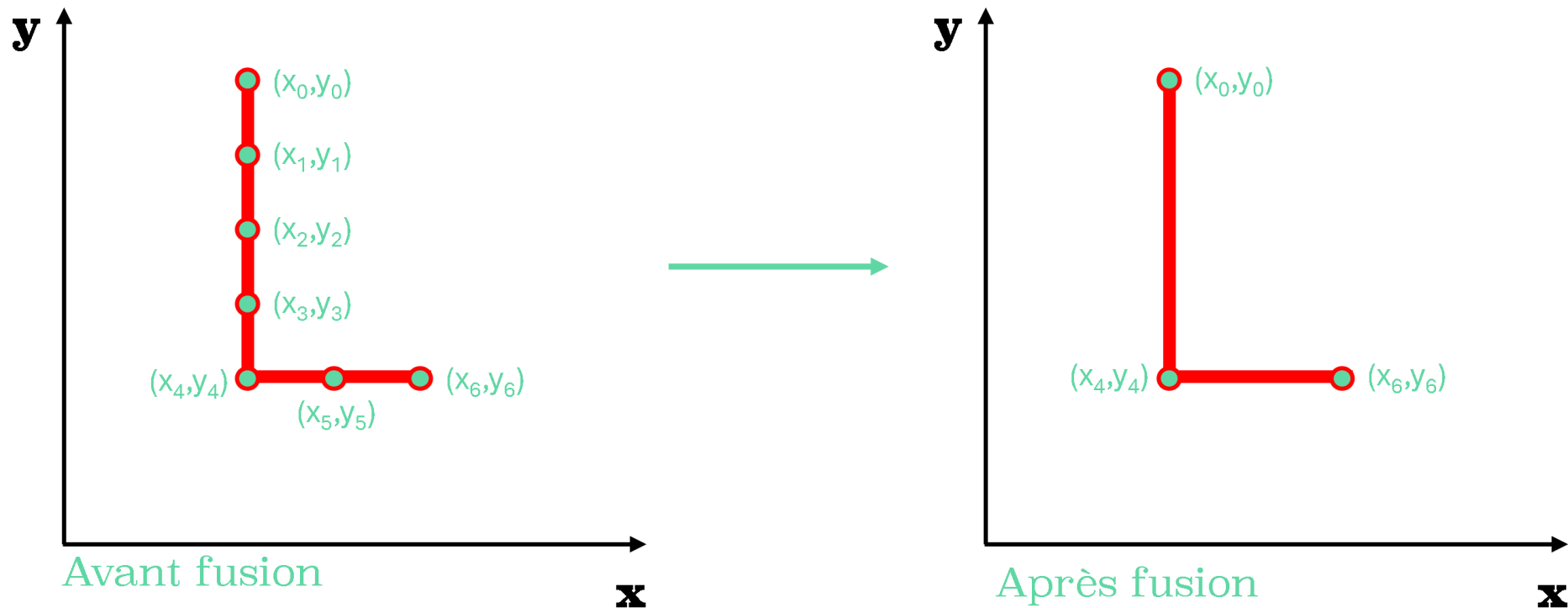


Figure 1.16



## 1. Principe & Hypothèses:

- Objectif: Estimer la pose  $(x,y,\theta)$  à partir des mesures des codeurs.
- Hypothèses:
  - Roulement sans glissement.
  - Châssis rigide, mouvement plan (2 D.L).
  - Chaque paire de roues d'un même flanc reçoit une commande identique (modèle différentielle).
  - Rayon de roue constant  $r$ , entraxe  $L$ .

## 2. Modèle géométrique du robot:

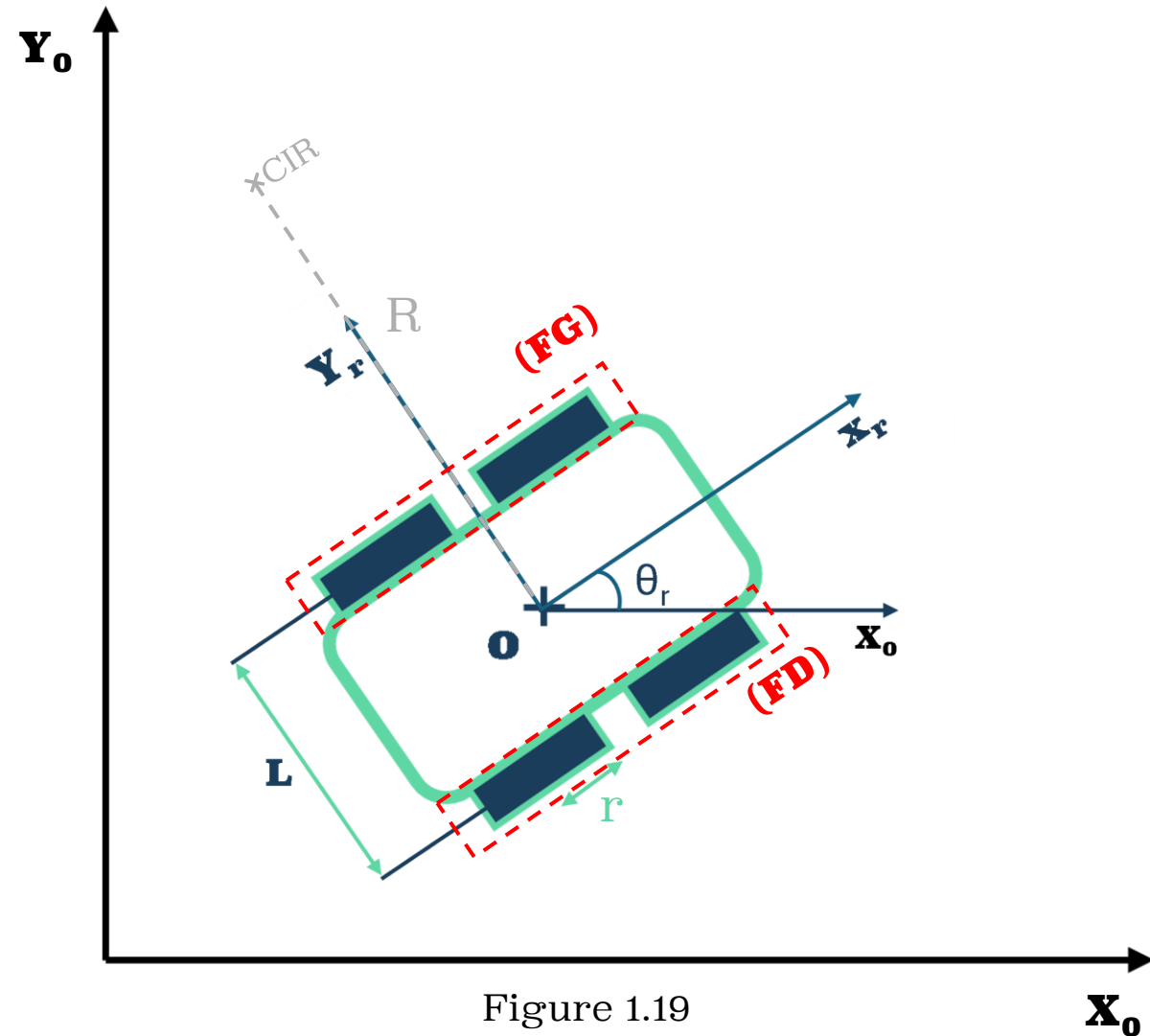


Figure 1.19

- **(FD)**: flanc droit
- **(FG)**: flanc gauche
- **r**: rayon de roue
- **L**: entraxe flanc gauche / flanc droit
- $\theta_r$ : orientation actuelle du robot
- **CIR**: centre instantané de rotation

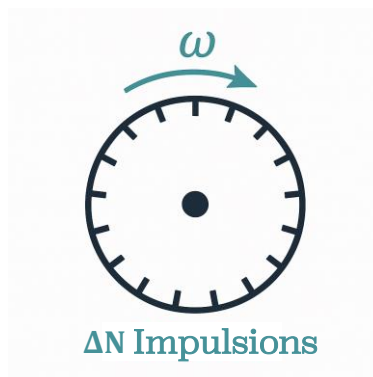
## 3. De l'encodeur à la distance roulée:

❖ Conversion impulsions  $\rightarrow$  angle:

$$\Delta\varphi = \Delta N_{imp} \times \frac{2\pi}{N_{imp/tour}}$$

❖ Angle  $\rightarrow$  distance parcourue:

$$\begin{cases} \Delta S_G = r\Delta\varphi_G \\ \Delta S_D = r\Delta\varphi_D \end{cases}$$



## 4. Cinématique différentielle:

❖ Vitesse linéaire & angulaire:

$$\begin{cases} v = \frac{v_D + v_G}{2} \\ \omega = \frac{v_D - v_G}{L} \end{cases}$$

❖ Cas particuliers:

- Trajectoire rectiligne:  $v_G = v_D$
- Rotation sur place:  $v_G = -v_D$

## 5. Mise à jour de la pose $(x, y, \theta)$ :

❖ Incréments:

$$\begin{cases} \Delta S = \frac{\Delta S_D + \Delta S_G}{2} \\ \Delta \theta = \frac{\Delta S_D - \Delta S_G}{L} \end{cases}$$

❖ Suites:

$$\begin{cases} x_{k+1} = x_k + \Delta S \cdot \cos\left(\theta_k + \frac{\Delta \theta}{2}\right) \\ y_{k+1} = y_k + \Delta S \cdot \sin\left(\theta_k + \frac{\Delta \theta}{2}\right) \\ \theta_{k+1} = \theta_k + \Delta \theta \end{cases}$$

# Stratégie de commande: Logique floue

## 1. Qu'est-ce que la logique floue:

- La logique floue est une méthode de raisonnement qui, au lieu de n'évaluer chaque proposition qu'en vrai (1) ou faux (0), lui attribue un degré de vérité continu  $\mu$  compris entre 0 et 1.

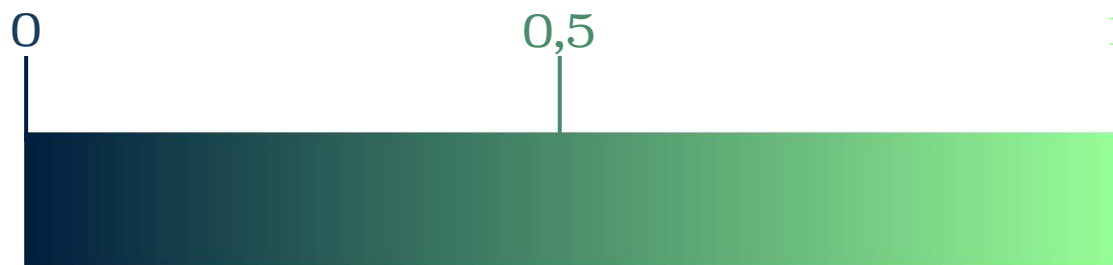


Figure 1.20: Degré d'appartenance  $\mu$

# Stratégie de commande: Logique floue

## 2. Architecture d'un contrôleur flou:

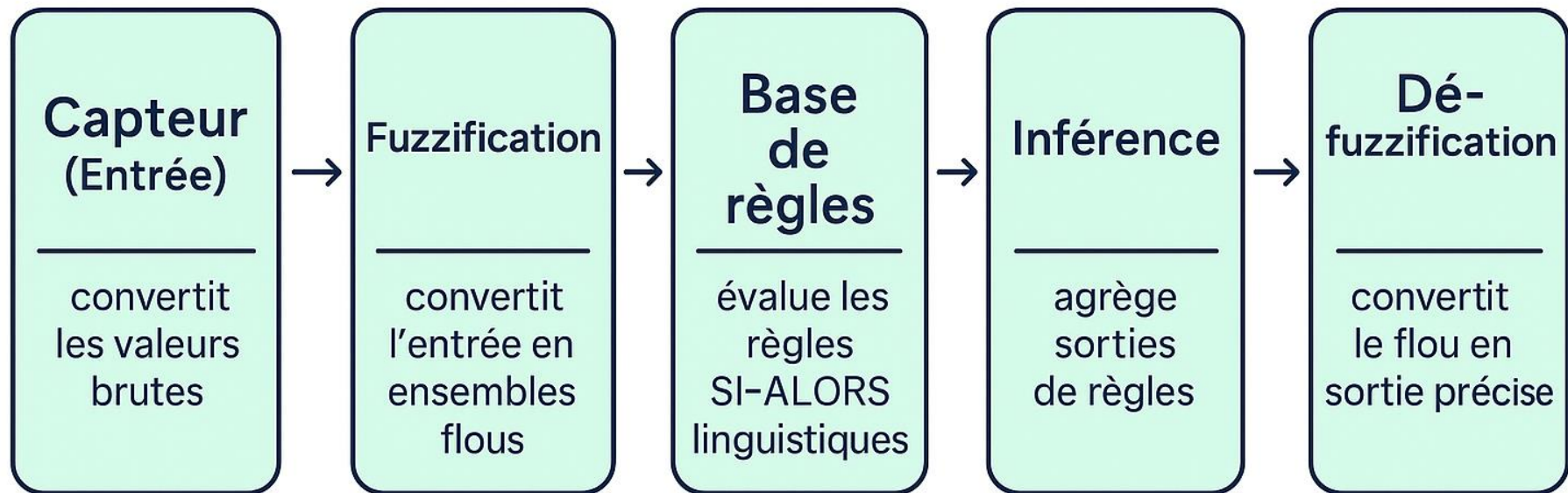


Figure 1.21

# Stratégie de commande:

## Logique floue

### 3. Calcul d'erreurs:

Orientation absolue du vecteur allant du robot vers la cible:

$$\phi = a \tan 2(y_c - y_a, x_c - x_a)$$

Erreur d'orientation - amplitude et sens du pivot nécessaire:

$$e_\theta = \text{wrap}(\phi - \theta_a)$$

Erreur de distance - distance euclidienne séparant le robot de son objectif:

$$e_d = \sqrt{(x_c - x_a)^2 + (y_c - y_a)^2}$$

# Stratégie de commande: Logique floue

## 4. Fonctions d'appartenance:

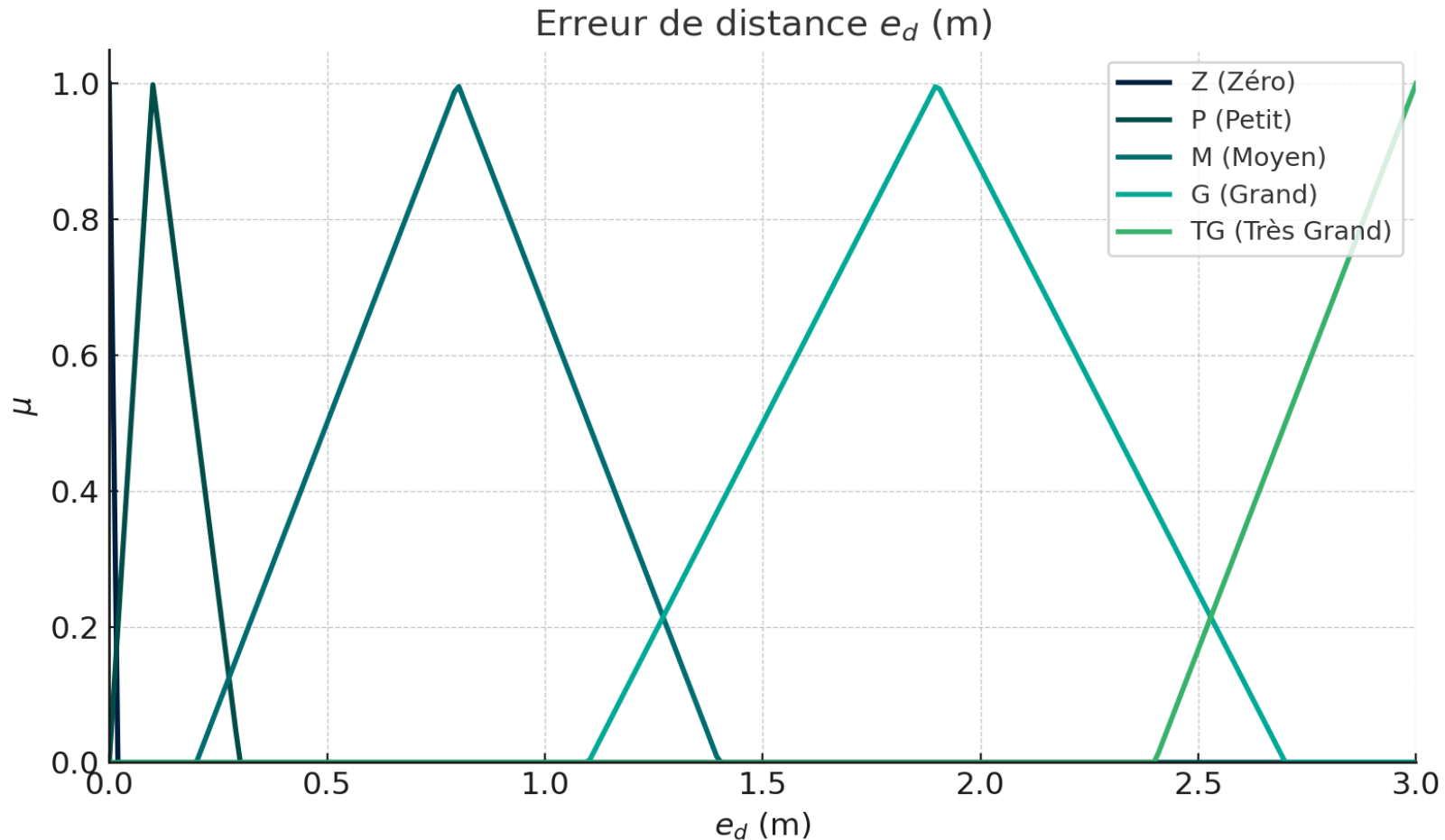


Figure 1.22

# Stratégie de commande: Logique floue

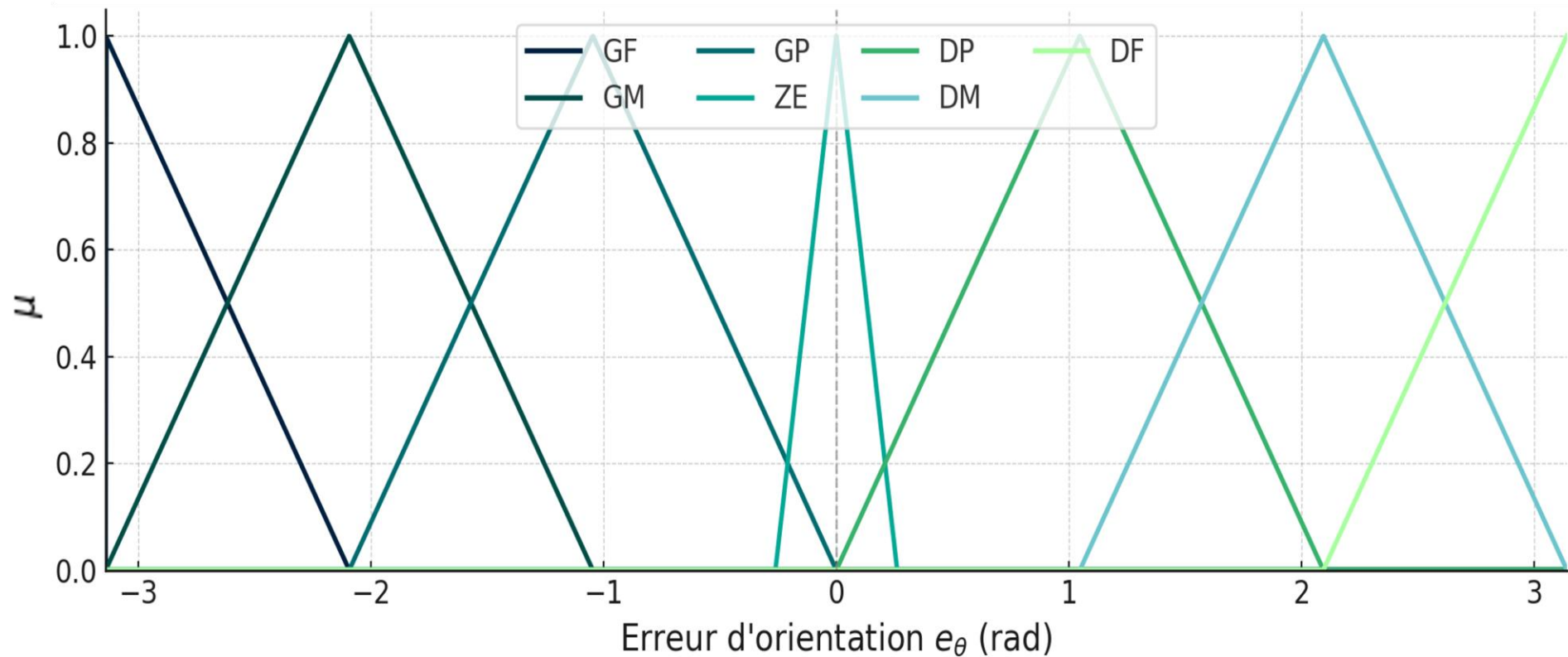


Figure 1.23

# Stratégie de commande: Logique floue

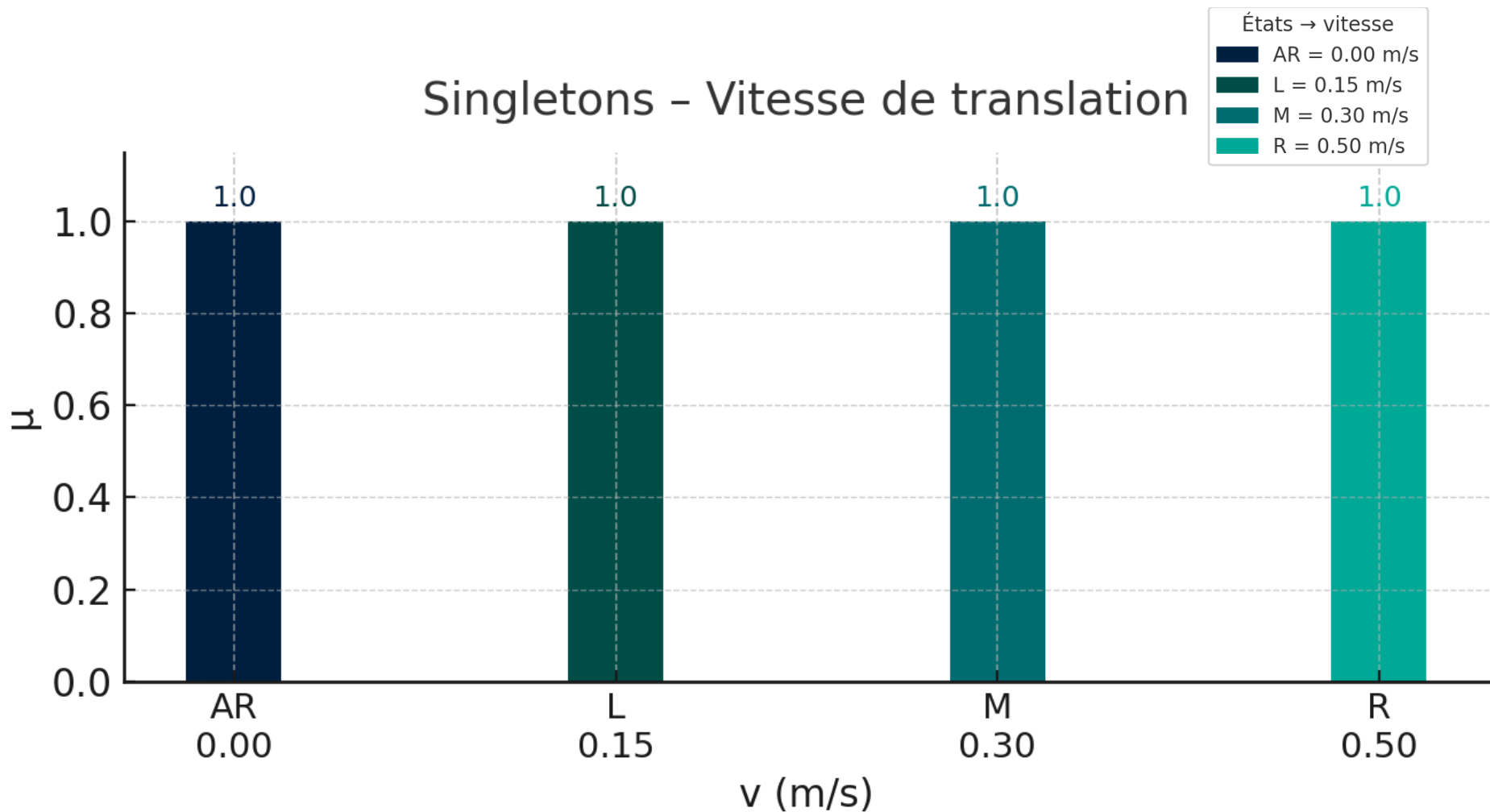


Figure 1.24

# Stratégie de commande: Logique floue

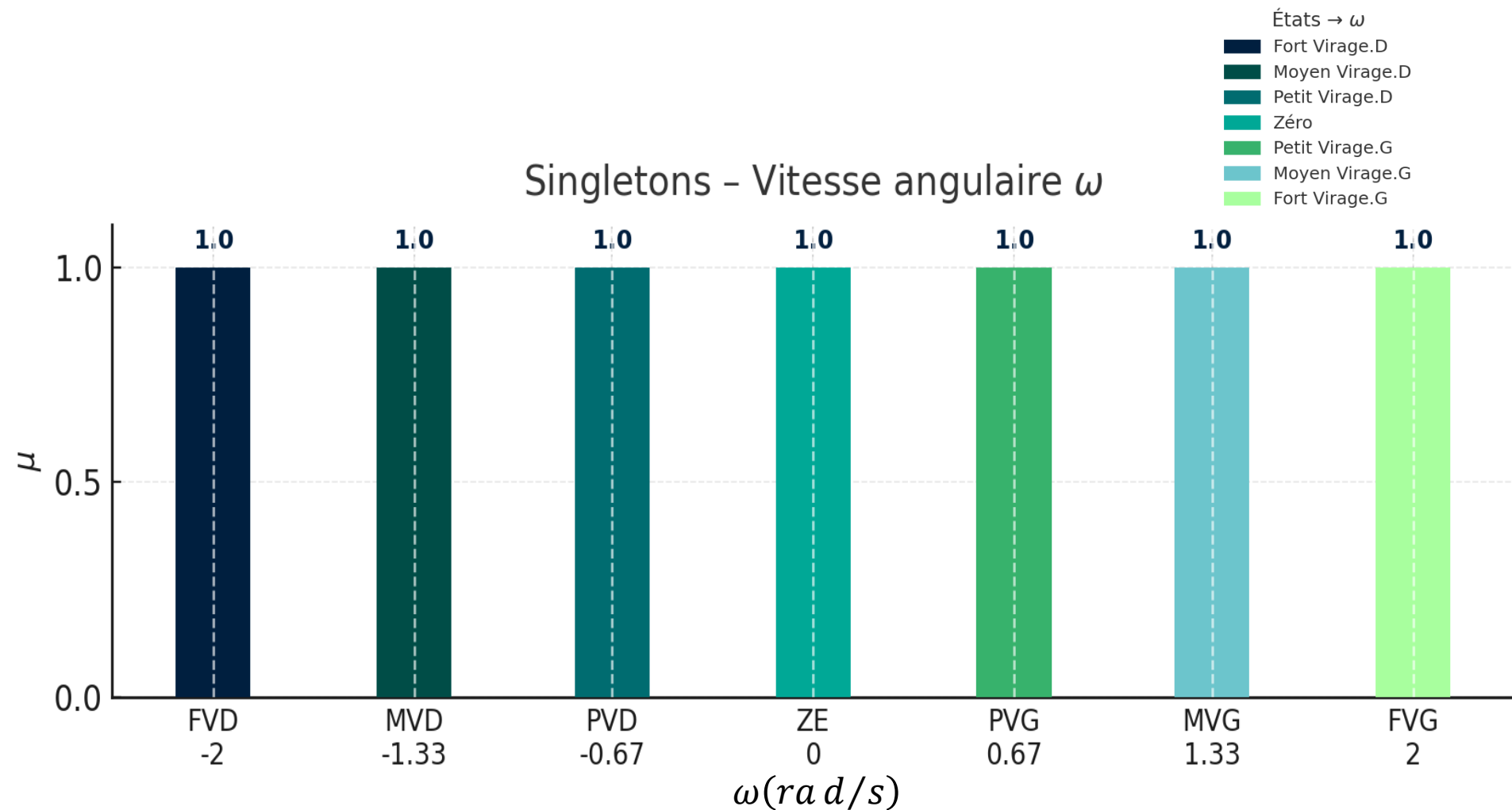


Figure 1.25

# Stratégie de commande: Logique floue

## 5. Tableau de règles:

		$e_d$				
		Z	P	M	G	TG
$e_\theta$	GF	AR/ZE	L/FVD	L/FVD	M/FVD	M/FVD
	GM	AR/ZE	L/MVD	L/MVD	M/MVD	M/MVD
	GP	AR/ZE	L/PVD	M/PVD	R/PVD	R/PVD
	ZE	AR/ZE	L/ZE	M/ZE	R/ZE	R/ZE
	DP	AR/ZE	L/PVG	M/PVG	R/PVG	R/PVG
	DM	AR/ZE	L/MVG	L/MVG	M/MVG	M/MVG
	DF	AR/ZE	L/FVG	L/FVG	M/FVG	M/FVG

Figure 1.26

## 6. Qu'est ce que le degré d'activation?

- On suppose que :  $\mu_M(e_d)=0,6$  ;  $\mu_{GF}(e_\theta)=0,8$
- R1 : **SI**  $e_d$  est M(moyenne) **ET**  $e_\theta$  est GF(gauche forte) **Alors** avance lentement et Fort virage à droite
- le degré d'activation de la règle R1:  $\alpha = \min(0,6 ; 0,8) = 0,6$

# Stratégie de commande:

## Logique floue

### 7. Exemple - atteindre (1 m, 1 m):

- Point de départ :  $(x_r, y_r, \theta) = (0, 0, 0^\circ)$
- Point cible :  $(x_c, y_c) = (1, 1)$
- But : calculer en temps réel les commandes  $(v, \omega)$  pour que le robot rejoigne (1, 1)

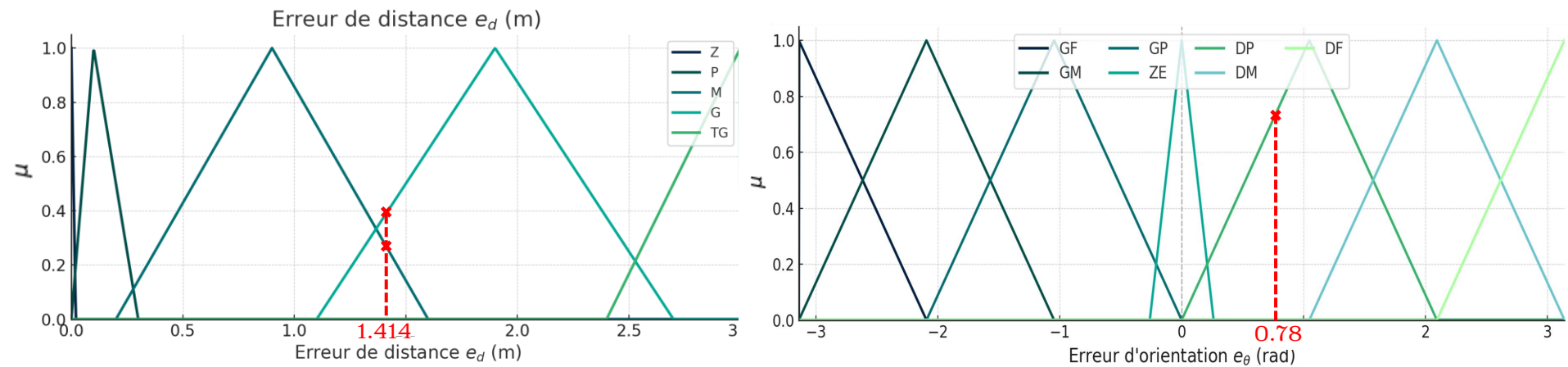
#### ❖ Étape 1 : Calcul des erreurs

Erreur de distance:  $e_d = \sqrt{(1 - 0)^2 + (1 - 0)^2} = \sqrt{2} \approx 1.414 \text{ m}$

Erreur d'orientation:  $\begin{cases} \phi = \arctan 2(1 - 0, 1 - 0) = 45^\circ \\ e_\theta = \text{wrap}(\phi - \theta_a) = 45^\circ = 0.78 \text{ rad} \end{cases}$

# Stratégie de commande: Logique floue

## ❖ Étape 2 : Fuzzification



Ensemble flou	$\mu$
Z	0.0000
P	0.0000
M	0.2657
G	0.3925
TG	0.0000

Ensemble flou	$\mu$
GF	0.000
GM	0.000
GP	0.000
ZE	0.000
DP	0.750
DM	0.000
DF	0.000

Figure 1.27

# Stratégie de commande: Logique floue

## ❖ Étape 3 : Base de règles.

- On a  $\mu_M(e_d)=0.2657$ ,  $\mu_G(e_d)=0.3925$  et  $\mu_{DP}(e_\theta)=0.750$

Règles possibles :

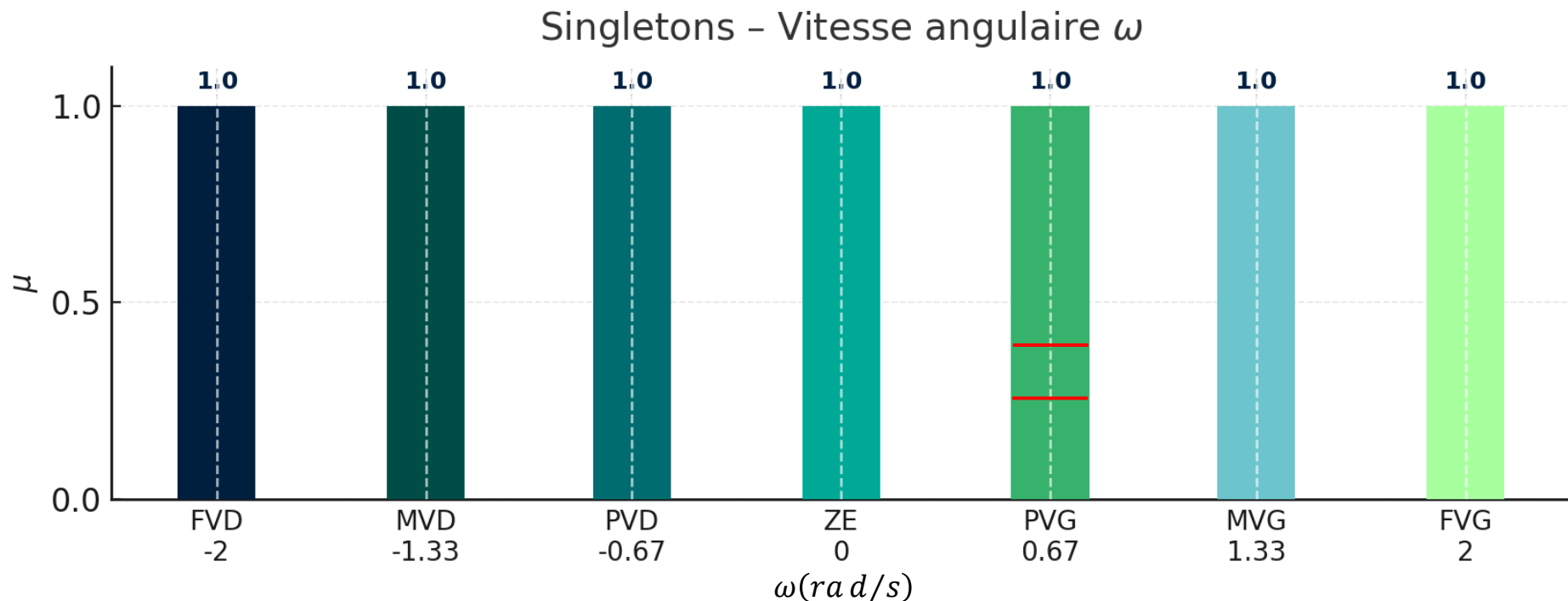
- R1: **SI**  $e_d$  est Grande **ET**  $e_\theta$  est Droite-Petite **ALORS**  $v_r$  est rapide **ET**  $\omega_r$  est petit virage à gauche.
- R2: **SI**  $e_d$  est Moyenne **ET**  $e_\theta$  est Droite-Petite **ALORS**  $v_r$  est moyenne **ET**  $\omega_r$  est petit virage à gauche.

## ❖ Étape 4 : Inférence.

- $\alpha(R_1) = \min(\mu_G(e_d), \mu_{DP}(e_\theta)) = 0.3925$
- $\alpha(R_2) = \min(\mu_M(e_d), \mu_{DP}(e_\theta)) = 0.2657$

# Stratégie de commande: Logique floue

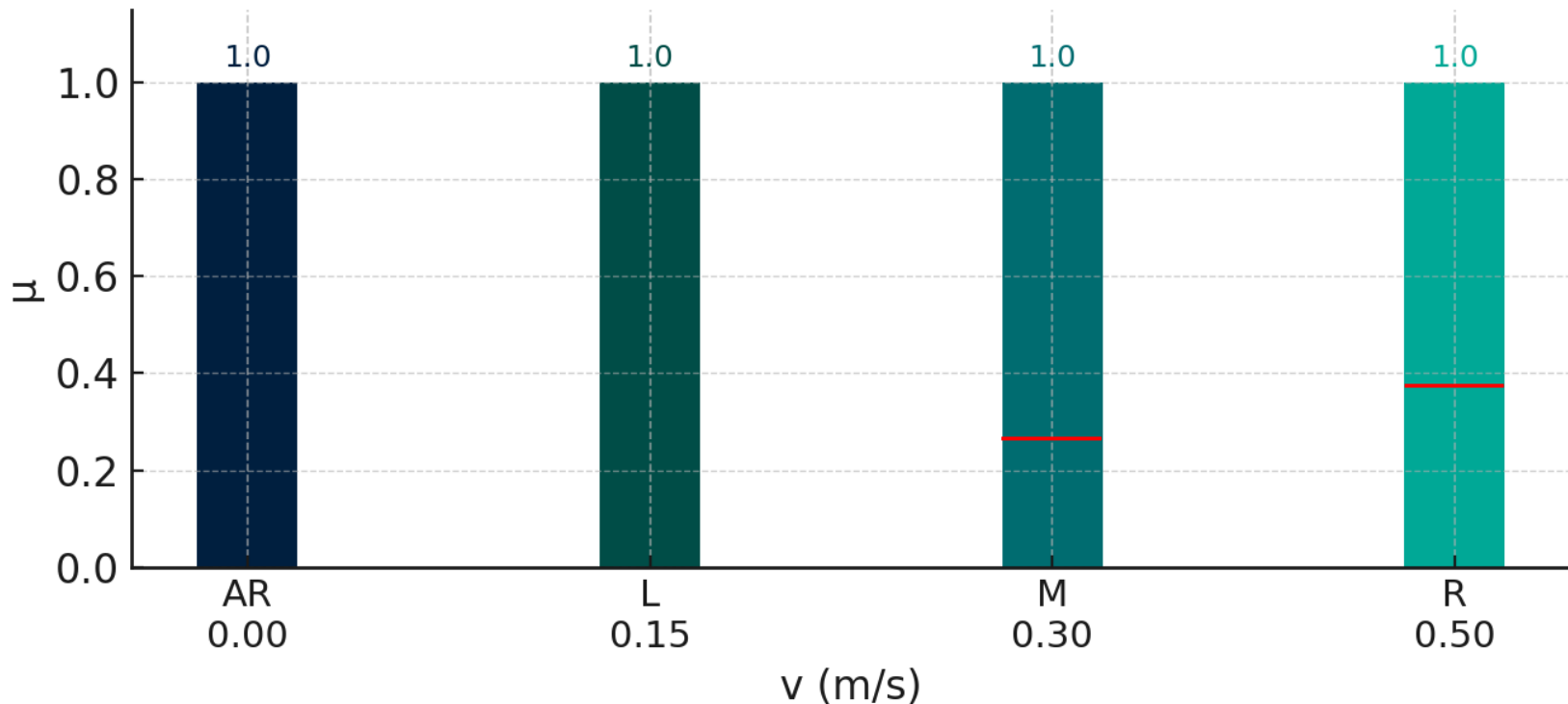
## ❖ Étape 5 : Défuzzification



$$\omega = \frac{0,3925 \times 0,67 + 0,2657 \times 0,67}{0,3925 + 0,2657} = 0,67 \text{ rad/s}$$

# Stratégie de commande: Logique floue

Singletons - Vitesse de translation



$$v_r = \frac{0,3925 \times 0,50 + 0,2657 \times 0,30}{0,3925 + 0,2657} \approx 0.42 \text{ m/s}$$

# Stratégie de commande: Logique floue

## 8. Création du contrôleur flou (type Sugeno):

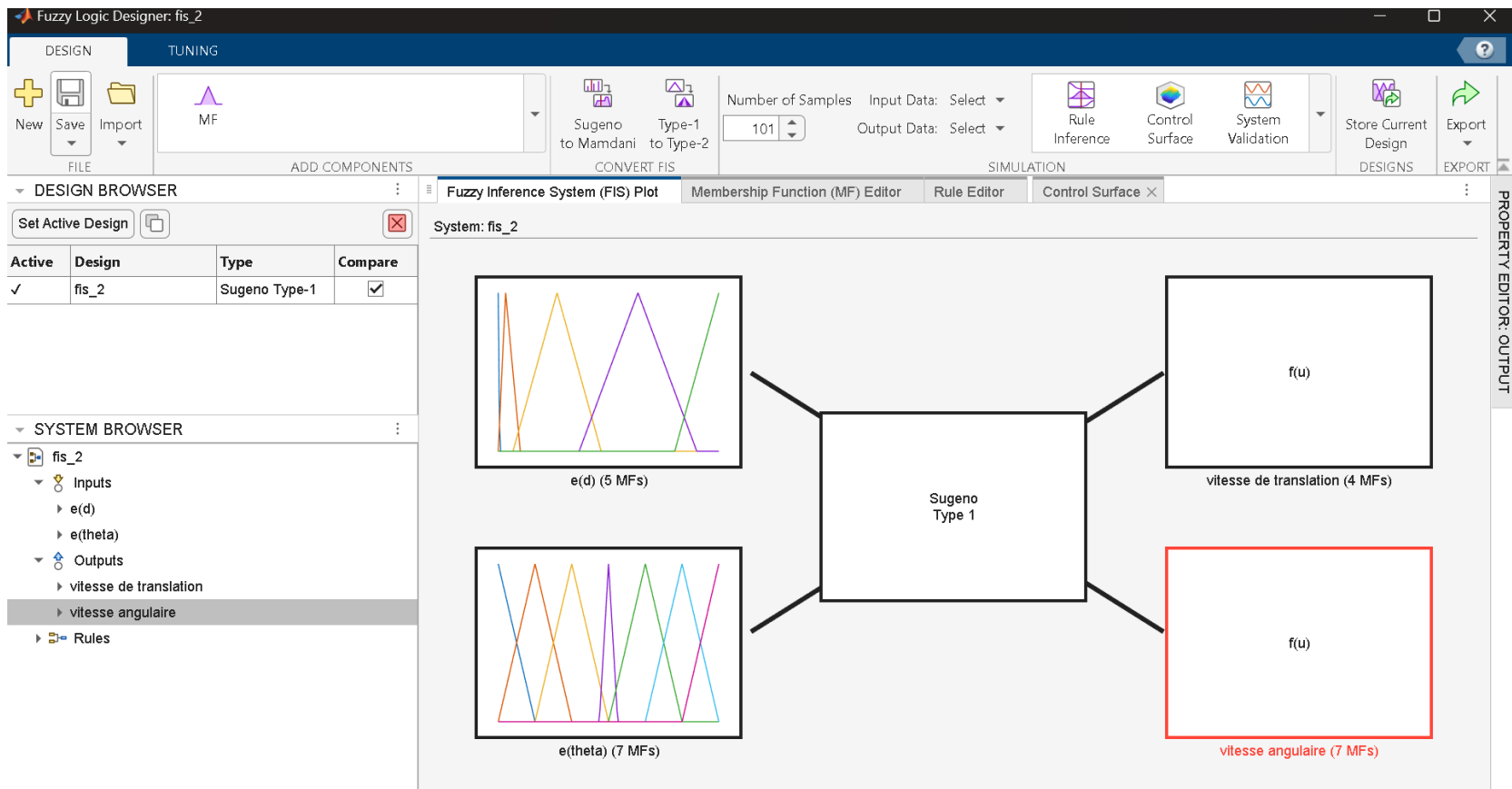


Figure 1.28

# Stratégie de commande: Logique floue

## 9. Validation de la commande par Matlab:



Figure 1.29

# Stratégie de commande: Logique floue

## 10. Surface de contrôle (vitesse de translation):

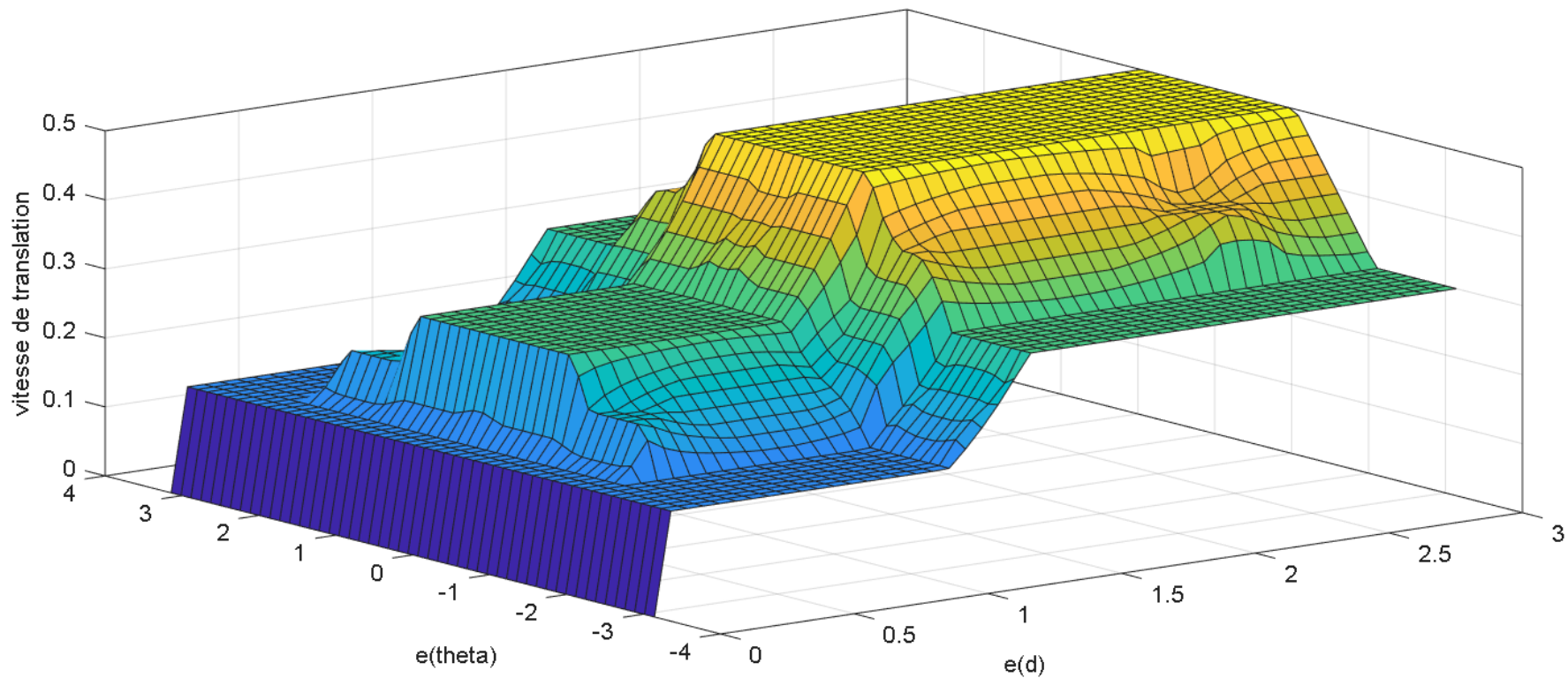


Figure 1.30

- **Translation** : la vitesse est automatiquement réduite quand l'écart d'orientation est important, évitant ainsi que le robot n'avance trop vite s'il n'est pas aligné.

# Asservissement en vitesse

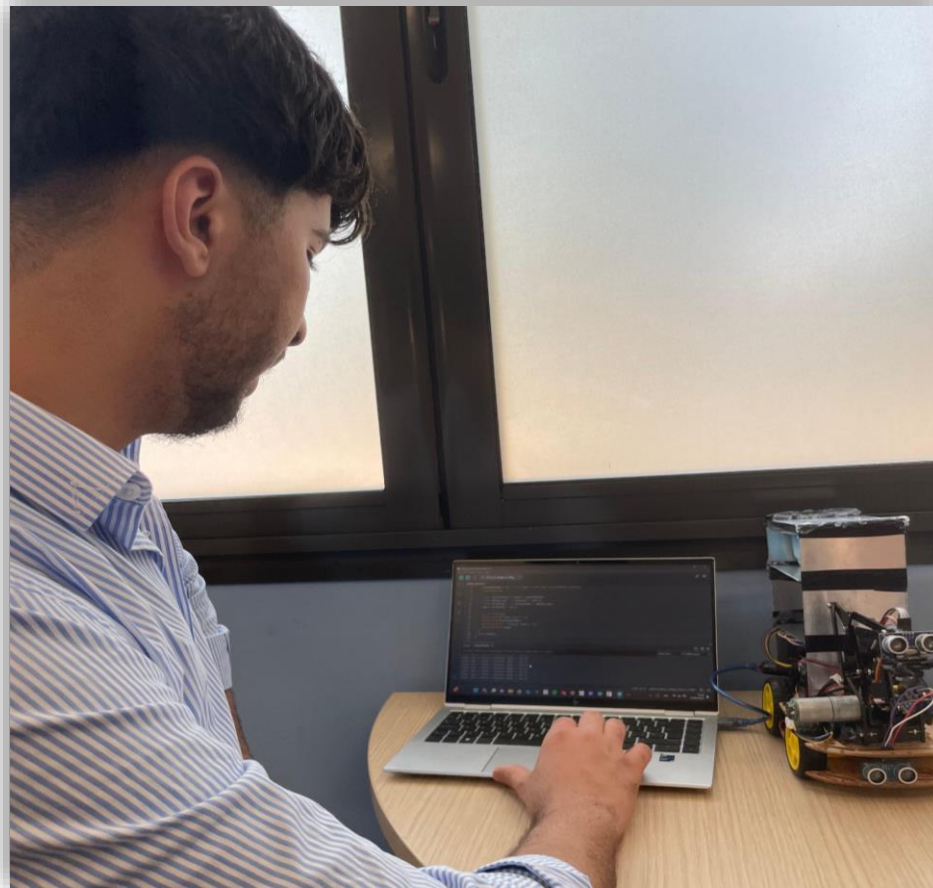
## 1. Exigences:

Critère	Valeur cible
Rapidité	Un temps de réponse $Tr_{5\%} \leq 0,5 \text{ s}$
Stabilité	$M\varphi \geq 45^\circ$ et aucun dépassement
Précision	$\varepsilon_s = 0$

Figure 1.31

# Asservissement en vitesse

## 2. Modèle de comportement des moteurs sous charge:



**Expérience :** mesure de la vitesse de l'arbre réducteur d'un moteur pour PWM= 255

# Asservissement en vitesse

Identification du BLOC comme  **système du 1<sup>er</sup> ordre**  à l'aide de :

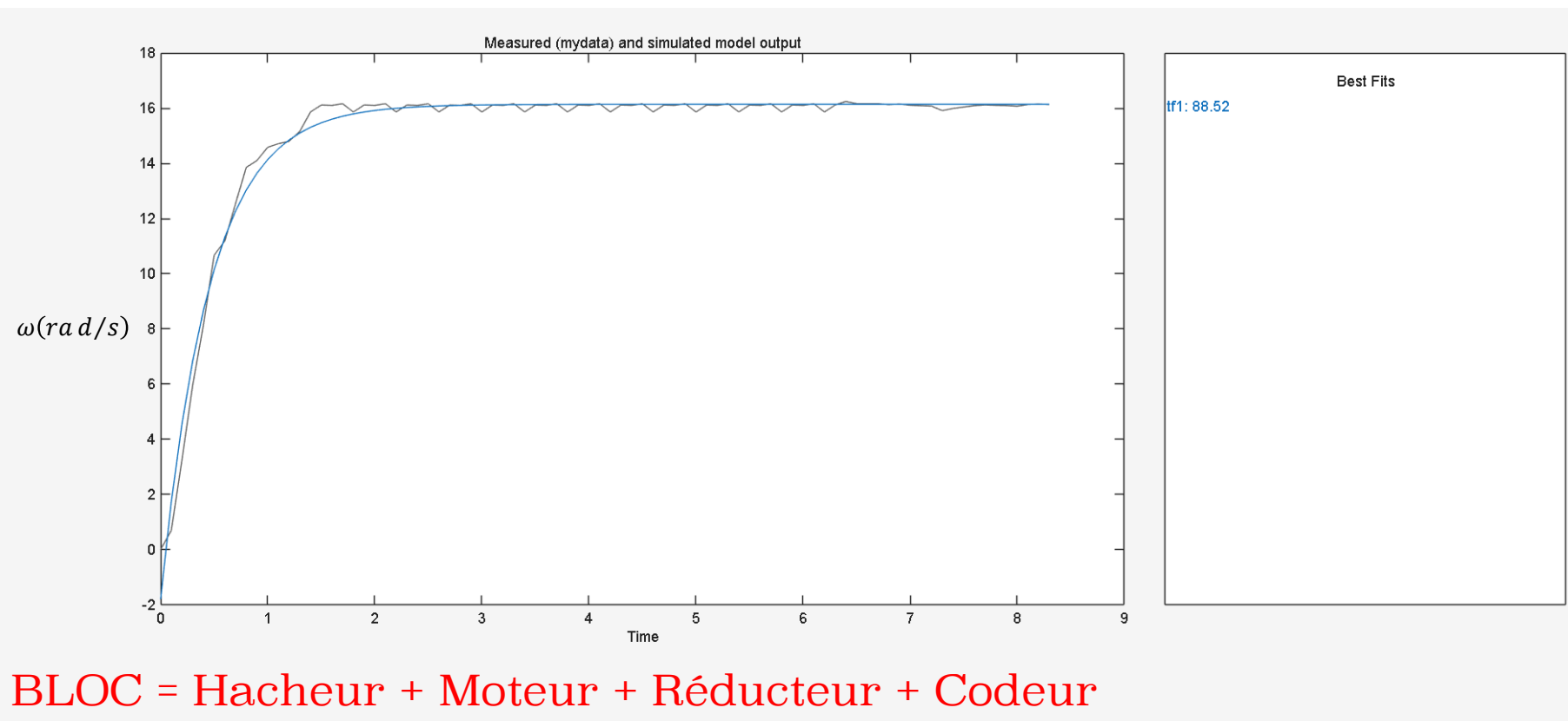
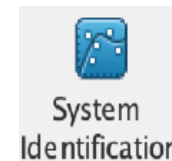


Figure 1.32

# Asservissement en vitesse

Model name:

Color:

From input "u1" to output "y1":

```
0.1388  
-----  
s + 2.192
```

```
0.1388  
-----  
s + 2.192
```

Name: tf1

Continuous-time identified transfer function.

## Diary and Notes

```
% Details about Estimation Data  
% Import mydata  
  
% Transfer function estimation  
Options = tfestOptions;  
Options.Display = 'on';  
Options.EnforceStability = true;  
  
tf1 = tfest(mydata, 1, 0, Options)
```

Show in LTI Viewer

Figure 1.33

# Asservissement en vitesse

## 3. Performances du système avant correction:

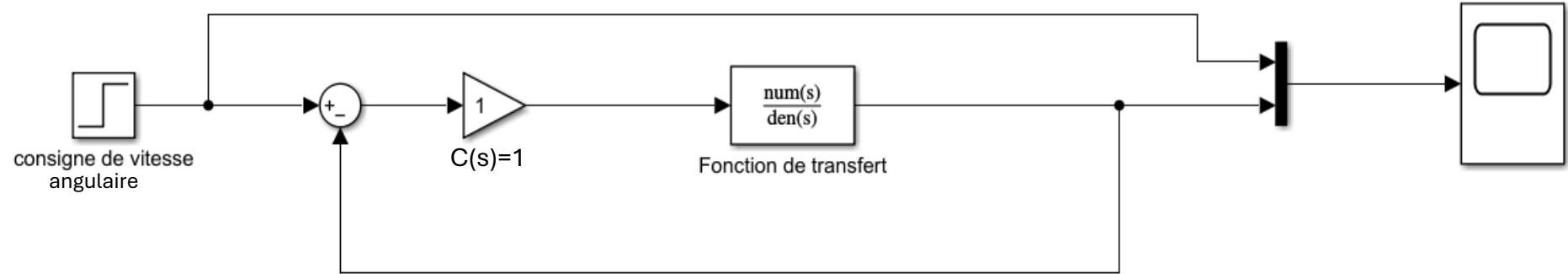
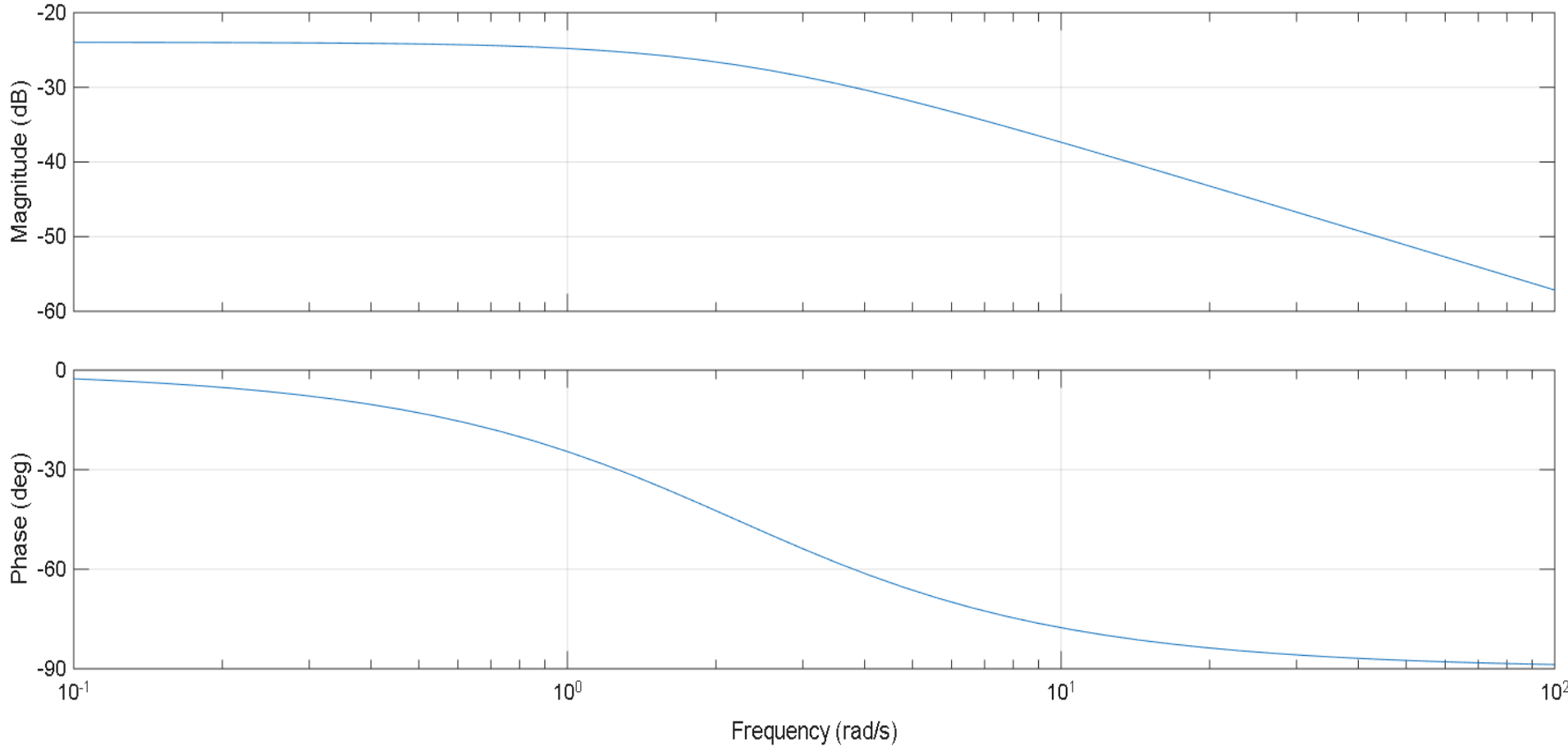


Figure 1.34: Schéma bloc du système non corrigé

# Asservissement en vitesse

Figure 1.35: Diagrammes de Bode de la FTBO du système non corrigé



- $M_G : +\infty$  ,  $M_\varphi : +\infty \Rightarrow$  Le système est stable

# Asservissement en vitesse

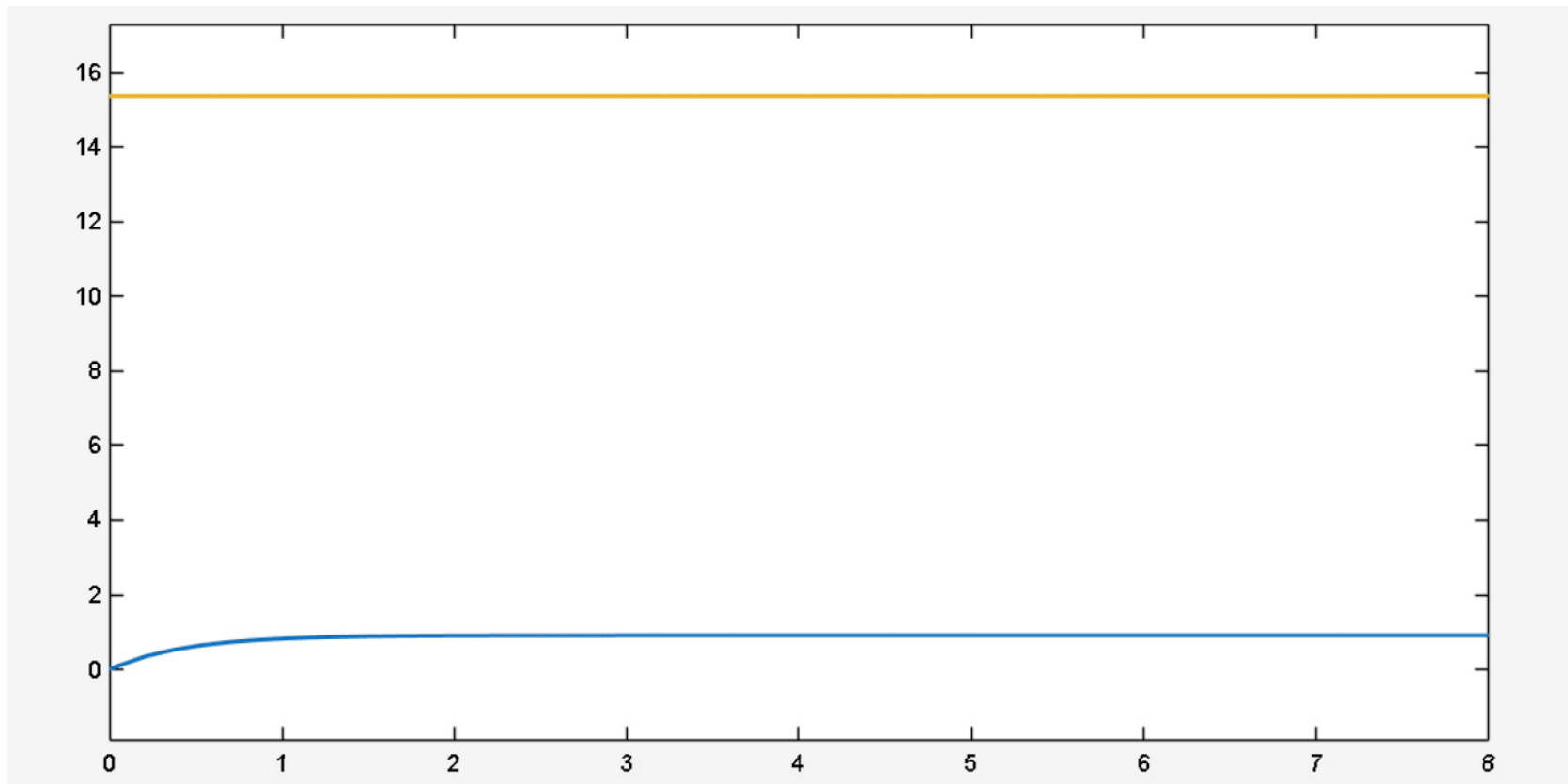


Figure 1.36: Réponse à un échelon de vitesse angulaire de valeur : **15.38 rad/s**

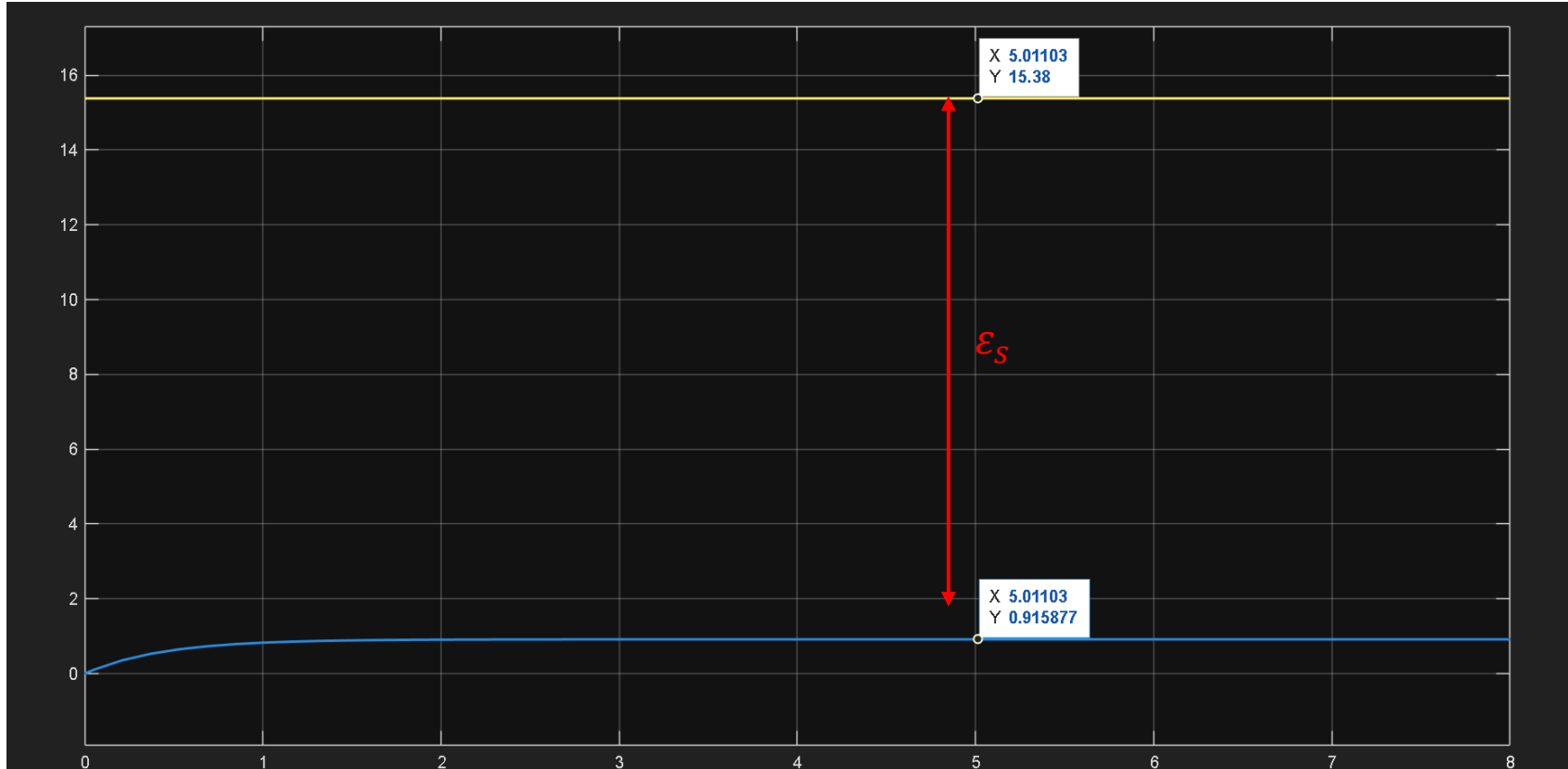


Figure 1.37

$$\epsilon_S = \frac{15,38 - 0,91}{15,38} \times 100 = 94 \% \Rightarrow \epsilon_S \text{ ne respecte pas l'exigence sur la précision}$$

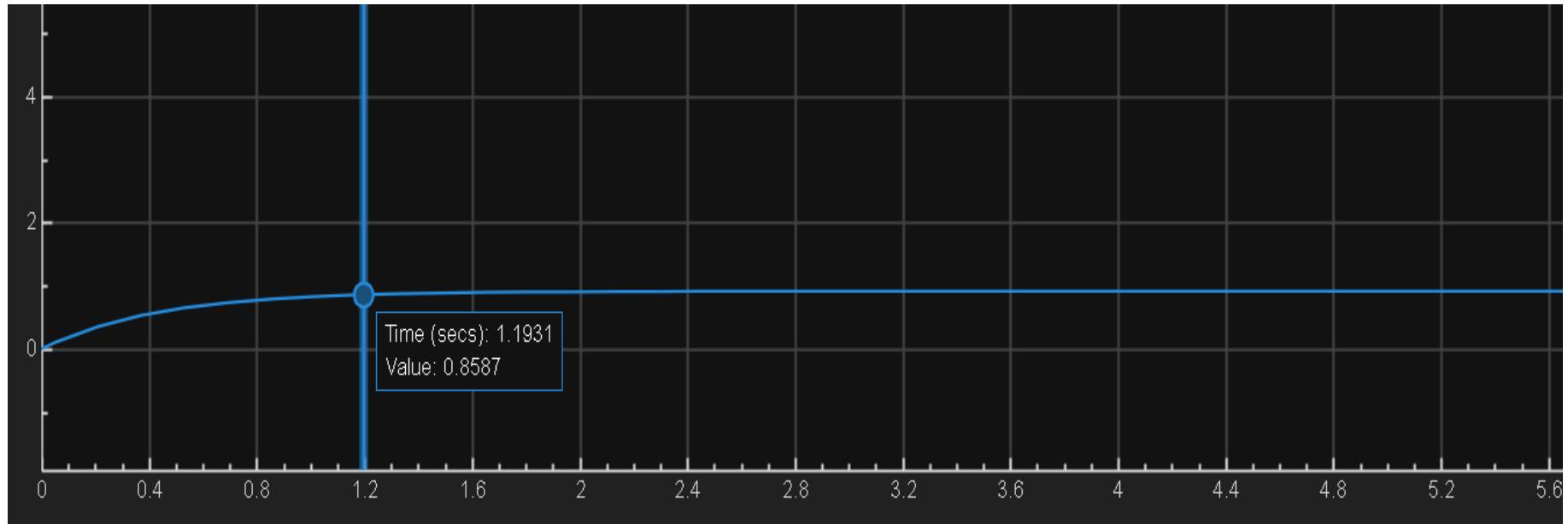


Figure 1.38

On a :  $0,95 \times 0,91 = 0.86 \text{ rad/s} \Rightarrow t_{r5\%} \approx 1.20 \text{ s}$

$\Rightarrow t_{r5\%}$  **ne respecte pas** l'exigence sur la rapidité

# Asservissement en vitesse

## 4. Correction:

La fonction de transfert de notre système est :  $H(P) = \frac{0,1388}{P+2,192}$

Nous optons pour un correcteur PI :  $C(P) = K_p \left( 1 + \frac{I}{P} \right)$

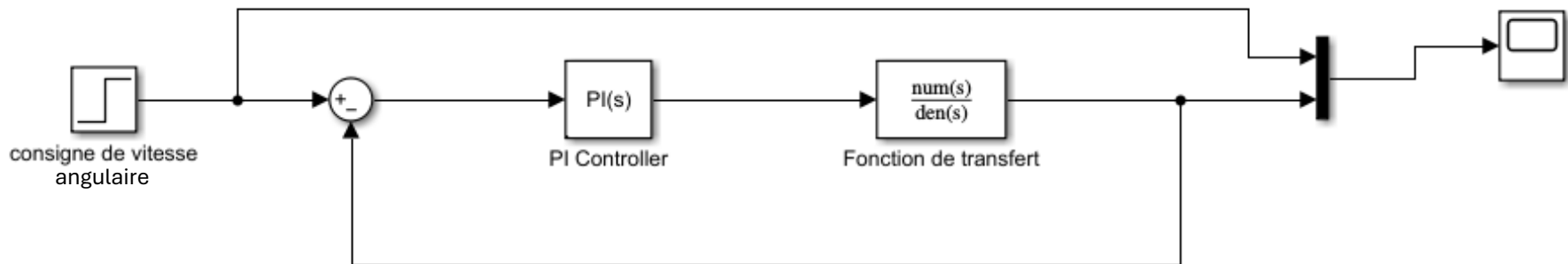


Figure 1.39

# Asservissement en vitesse

La valeur de  $I$  :

On utilise la méthode de compensation du pôle dominant:  $I = 2,192$

$$\Rightarrow FTBO(P) = H(P) \times C(P) = \frac{0,1388}{P+2,192} \times K_p \left( \frac{P+2,192}{P} \right) = \frac{0,1388 \times K_p}{P}$$

La présence d'une action intégrale dans la FTBO supprime l'erreur statique  $\varepsilon_s$

$\Rightarrow$  Notre système corrigé respecte le cahier des charges en termes de précision.

# Asservissement en vitesse

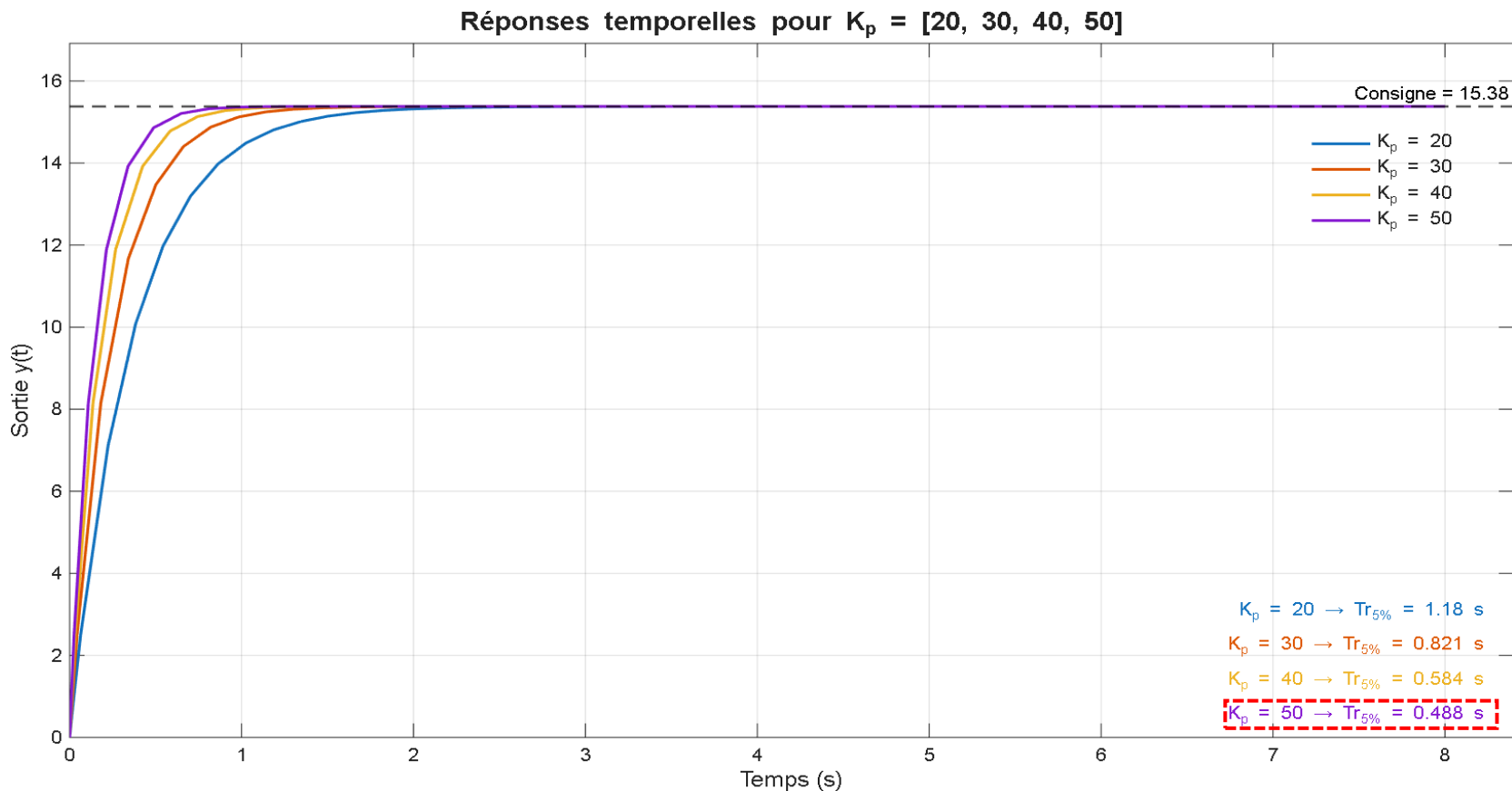


Figure 1.40

Pour  $K_p=50$  :  $t_{r5\%} = 0.488 \text{ s} < 0.5 \text{ s} \Rightarrow$  On choisit  $K_p=50$

$\Rightarrow$  Notre système corrigé respecte le cahier des charges en termes de rapidité.

# Asservissement en vitesse

Diagramme de Bode du système corrigé  
 $G_m = \text{Inf}$ ,  $P_m = 90 \text{ deg}$  (at 6.94 rad/s)

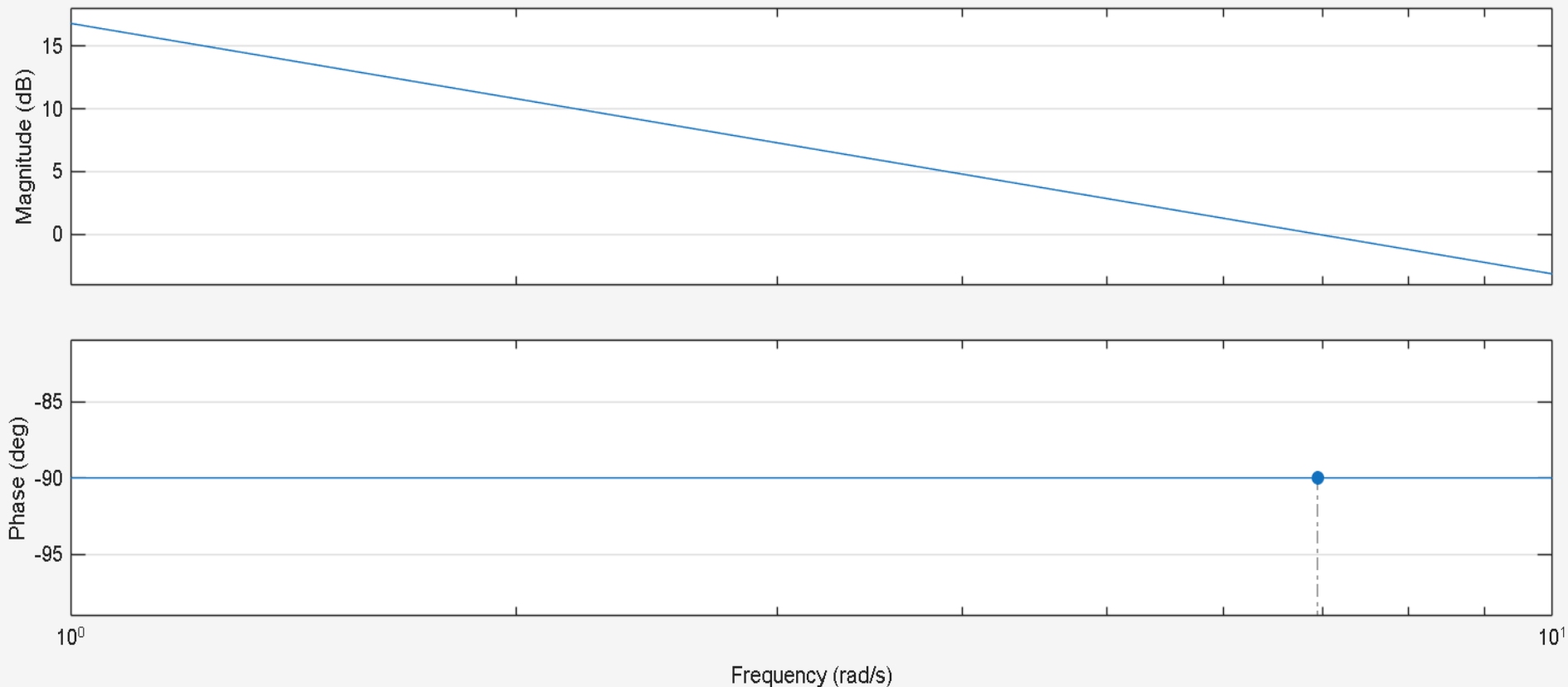


Figure 1.41

$M\varphi = 90^\circ > 45^\circ \Rightarrow$  Notre système corrigé respecte le cahier des charges en termes de stabilité.

# Simulation sous MATLAB

## 1. Schéma sur Simulink:

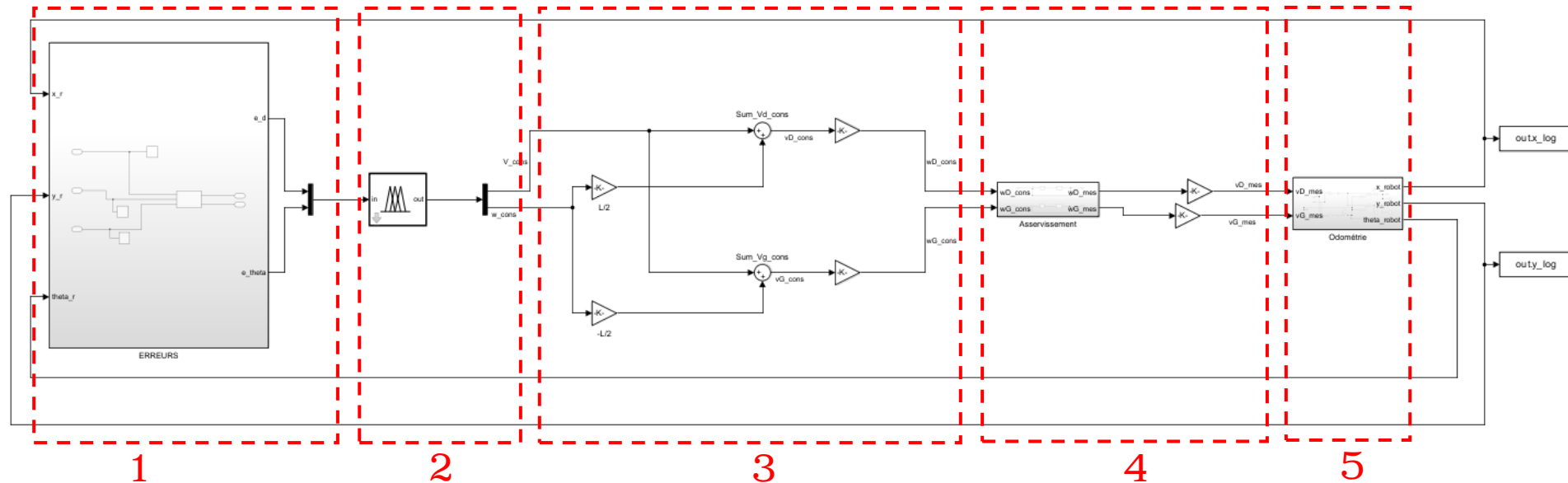


Figure 1.42

## 2. Résultats de la simulation:

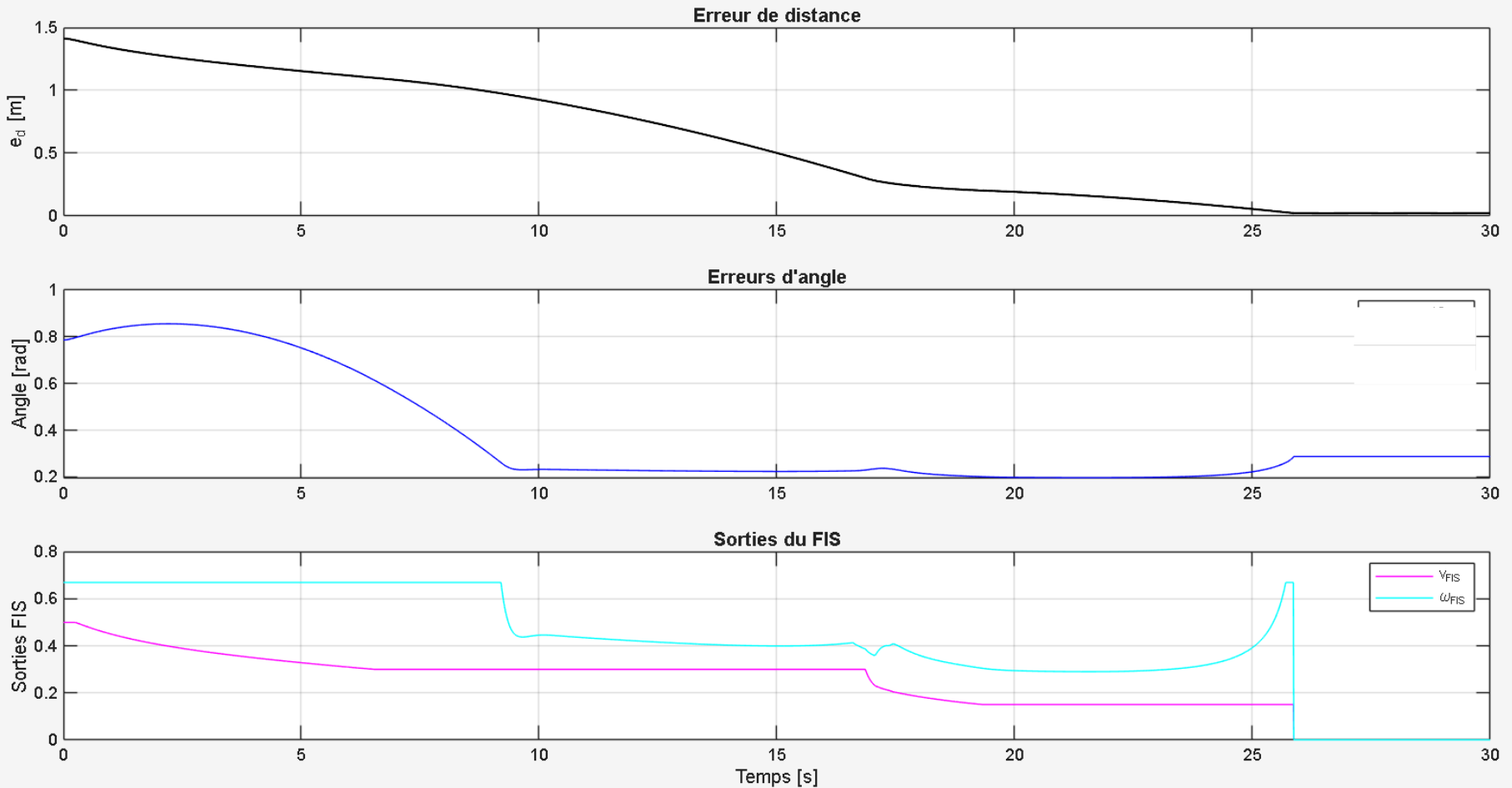


Figure 1.43

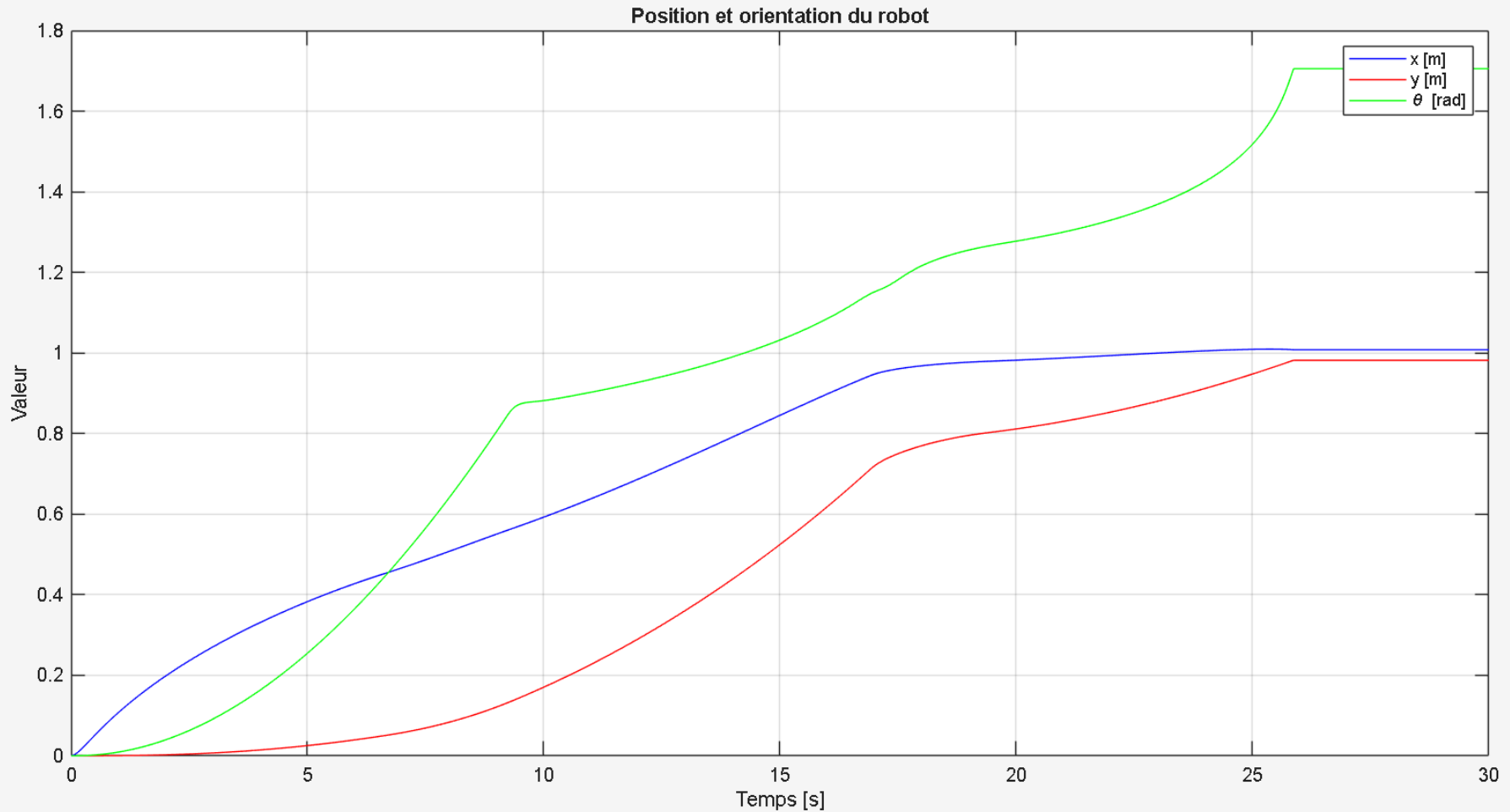


Figure 1.44

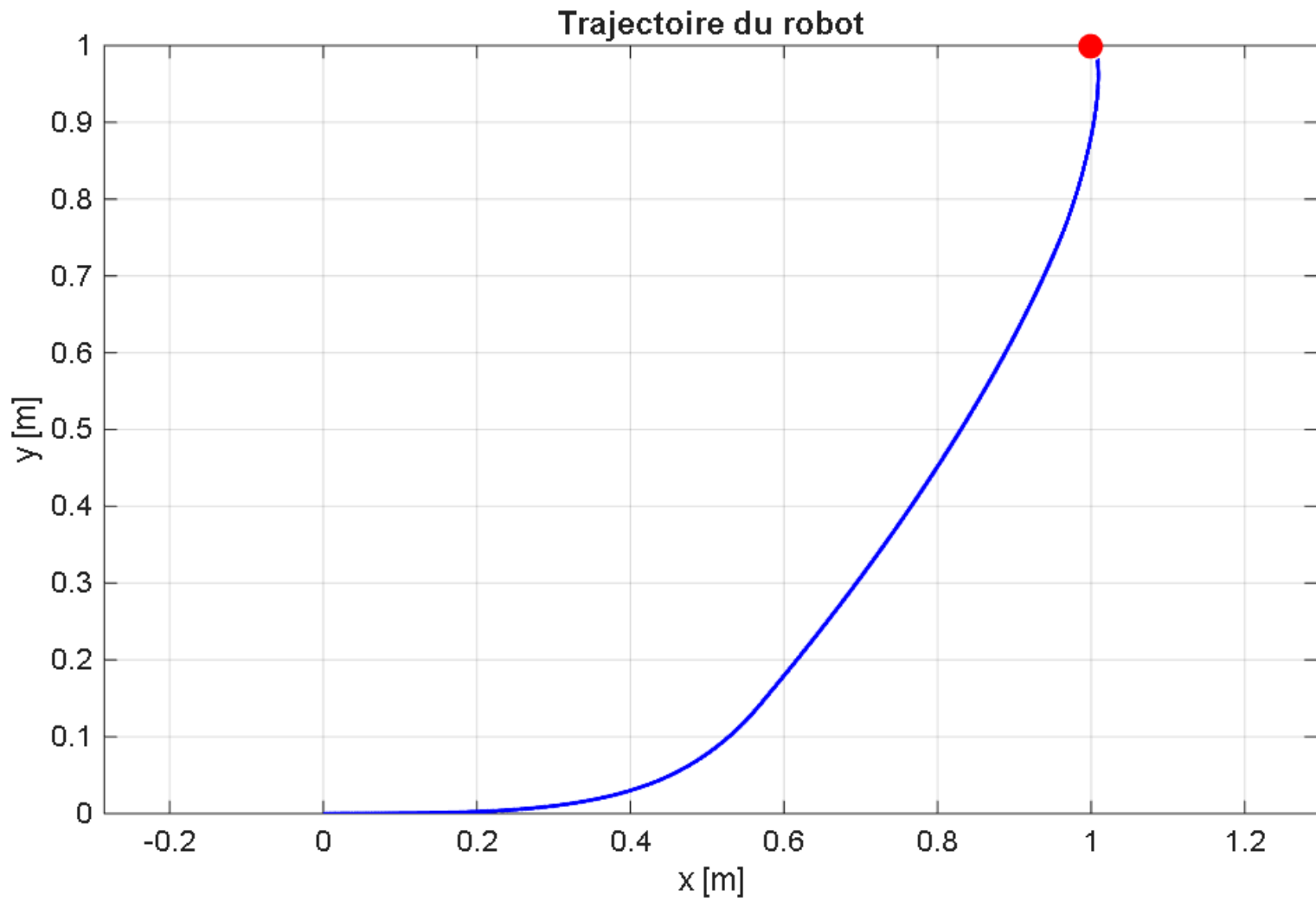


Figure 1.45

2<sup>ème</sup> objectif: \_\_\_\_\_

Choix du capteur de détection d'obstacles.



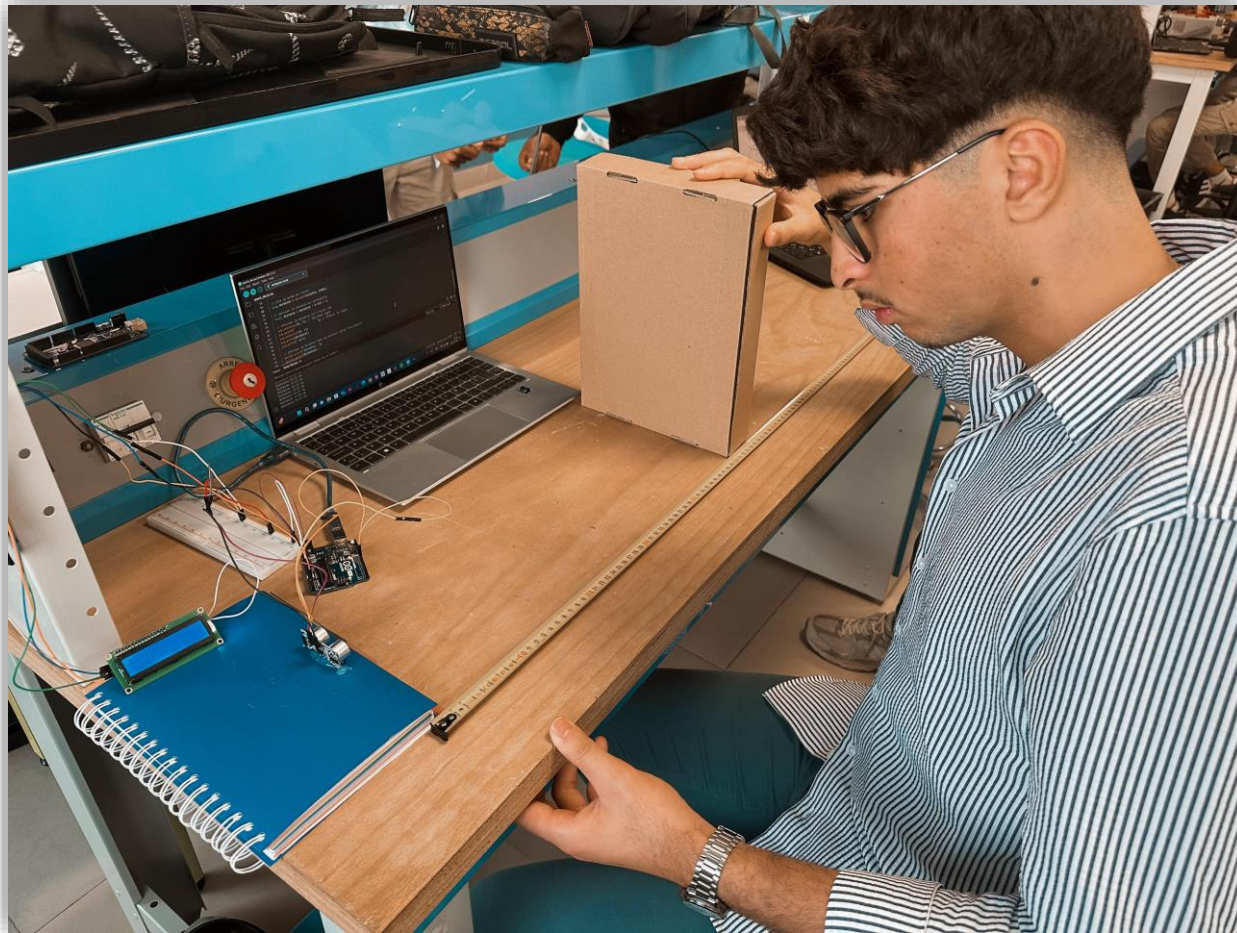
HC-SR04

ou



Sharp GP2Y0A02YK0F

# HC-SR04



**Expérience** : mesure de la distance à un obstacle à l'aide du capteur ultrasonique HC-SR04.

# HC-SR04

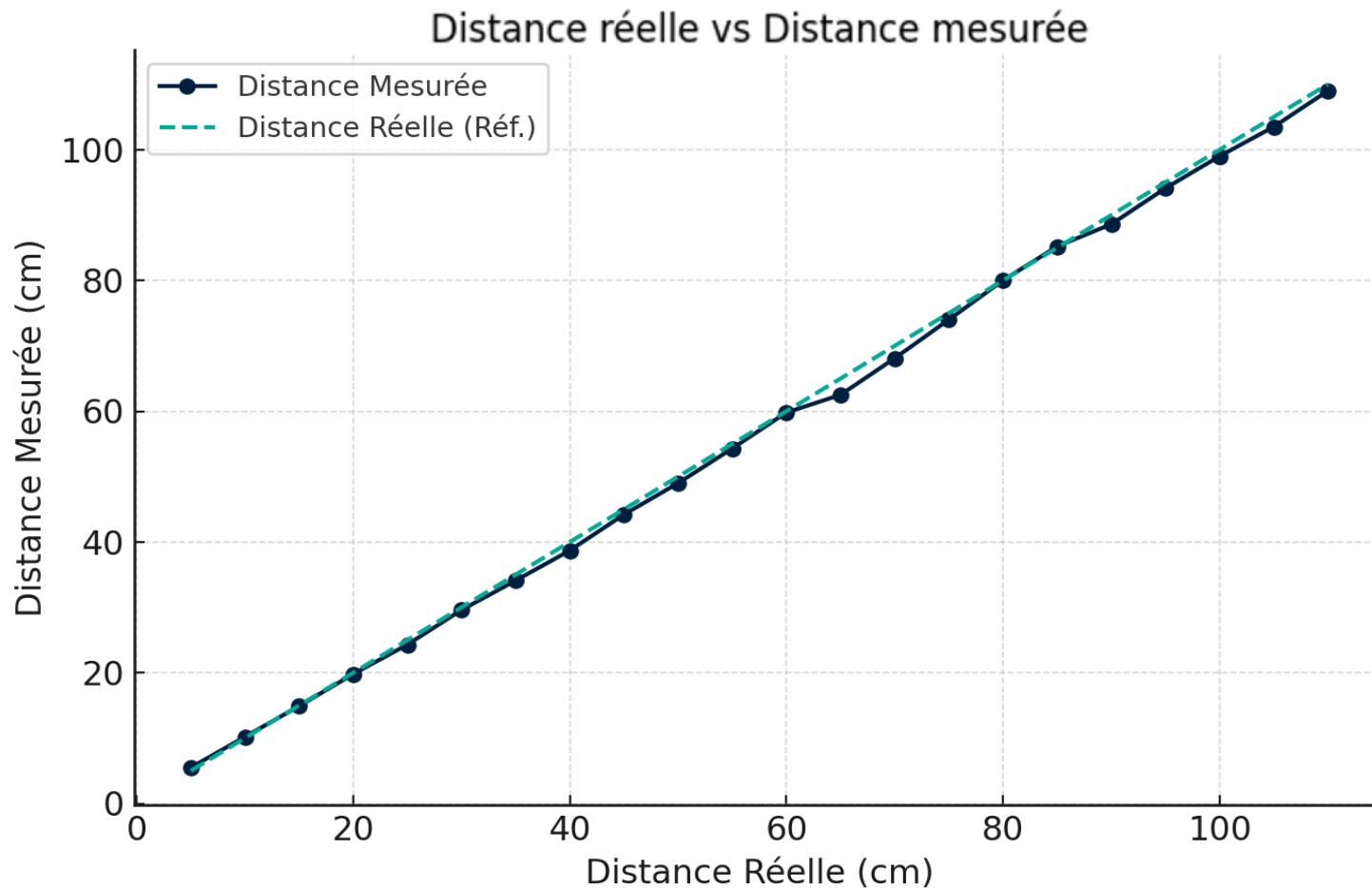


Figure 2.1

⇒ La superposition quasi parfaite des mesures et de la droite de référence montre la linéarité du capteur entre 5 et 110 cm.

# HC-SR04

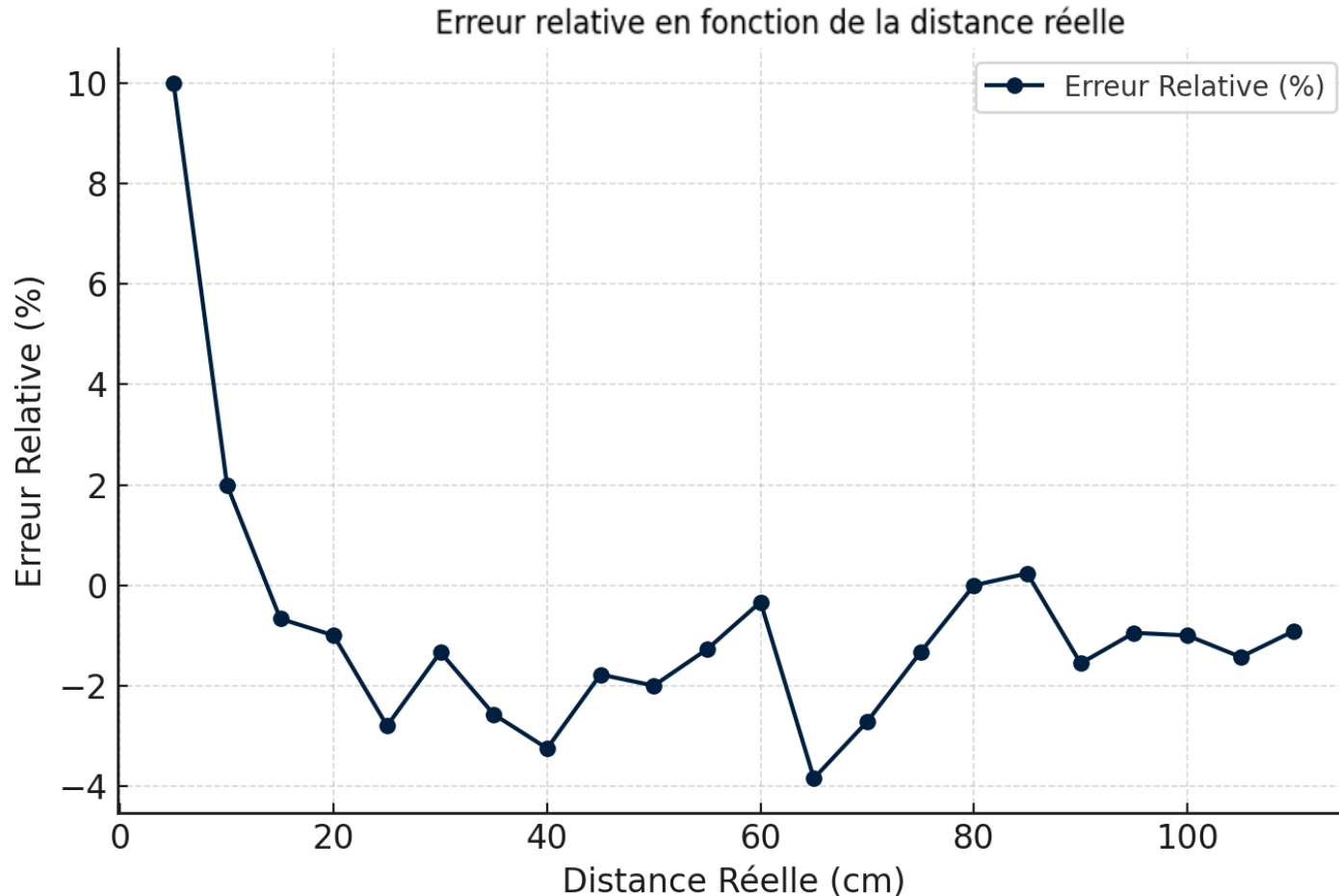


Figure 2.2

⇒ Au-delà de 10 cm, l'erreur relative ne dépasse pas 4 % en valeur absolue

# Sharp

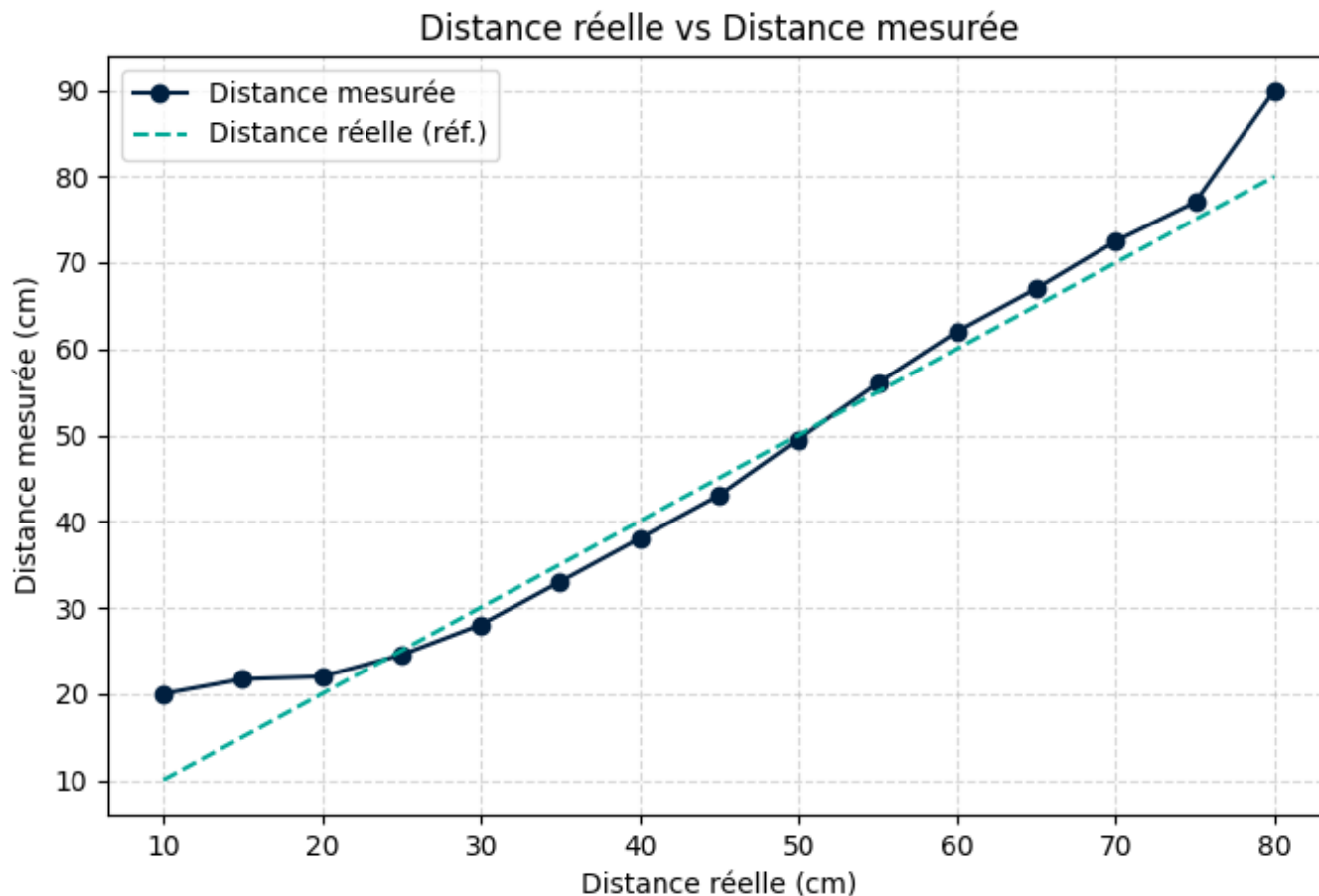


Figure 2.3

⇒ Le capteur surévalue nettement sous 20 cm, présente une légère sous-estimation (erreur <5 %) entre 25 et 50 cm, puis surestime de nouveau au-delà de 55 cm.

# Sharp

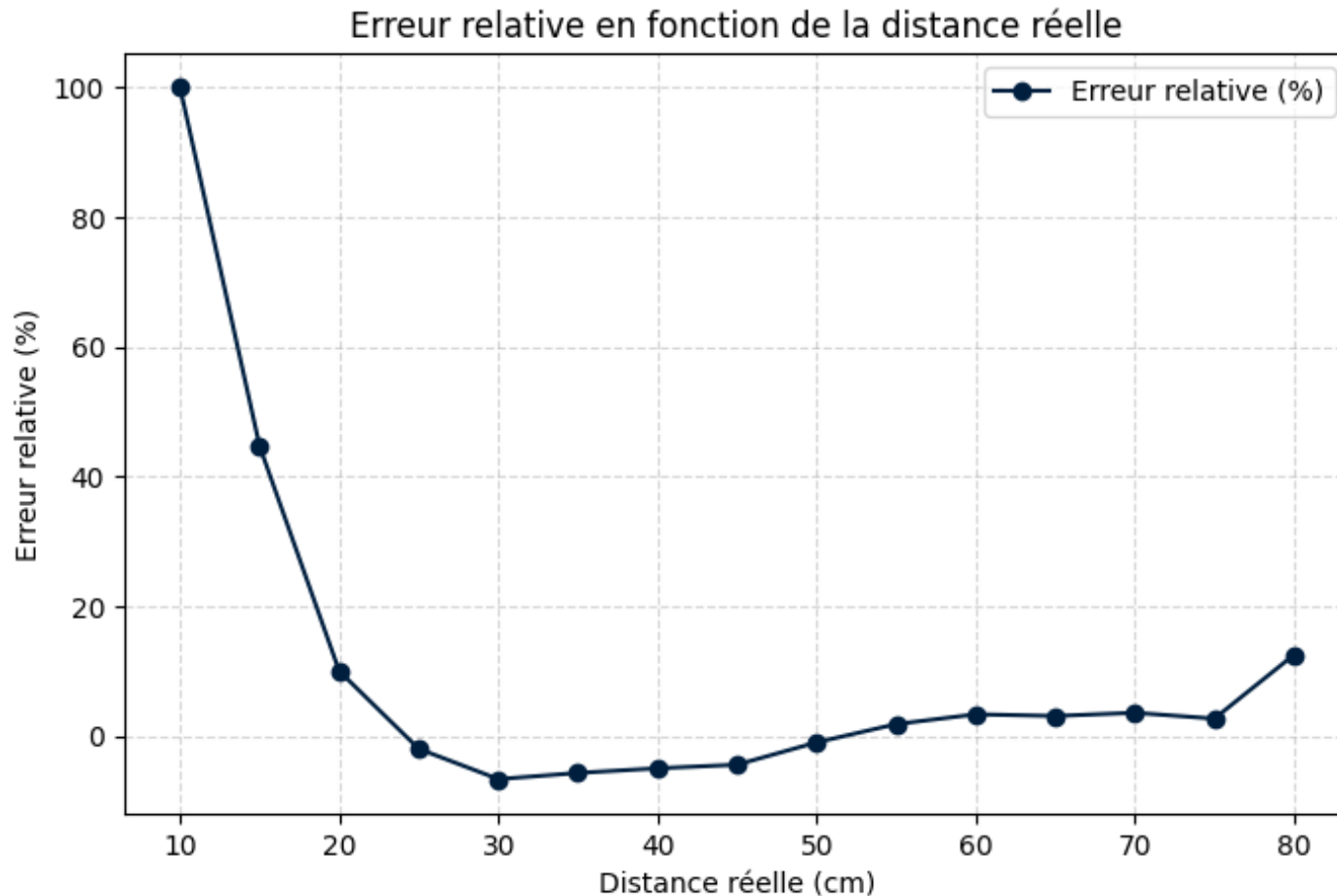


Figure 2.4

⇒ L'erreur passe de 100 % à 10 cm à -6 % à 30 cm, reste dans  $\pm 5$  % de 25 à 75 cm, puis remonte à +12 % à 80 cm.

# Bilan

Critère	HC-SR04	Sharp GP2Y0A02YK0F
Linéarité	Quasi colinéaire à la droite d'identité	Déviations notable en début (<25 cm) et fin (>60 cm)
Amplitude de l'erreur relative	Pic à 10 cm (~+10%), puis toujours <±4% dès 5	Extrême à 10 cm (+100%), min à 30 cm (-7%), remonte à +13% à 80 cm
Zone de stabilité	5-110 cm : erreur contenue dans ±4%	25-75 cm : erreur dans ±5%

Figure 2.5

⇒ Pour une détection d'obstacle robuste, linéaire et précise sur une large plage (> 20 cm), le **HC-SR04** s'impose :

- Linéarité quasi parfaite de 20 à 110 cm
- Erreur relative maîtrisée (< 4 %)



**3<sup>ème</sup> objectif:** \_\_\_\_\_

**Valider le diamètre et le matériau de l'arbre moteur.**

---

## 1. Hypothèses:

- Masse de 2 kg répartie uniformément sur les 4 roues motrices.
- Réducteurs 48 : 1 modélisés avec rendement  $\eta = 0,70$ .
- Arbres homogènes: cylindres pleins  $\varnothing 2$  mm,  $L = 9$  mm, sans concentration de contraintes.

## 2. Données:

Grandeur	Valeur
Masse totale m	2 kg
Roues motrices	4
Coef. de roulement $\mu_{rr}$	0,02
Rayon de roue r	32,5 mm
Rapport de réduction	48:1
Matériau de l'arbre	Acier S235
$\varnothing$ réel de l'arbre	2 mm
Longueur L de l'arbre	9 mm
Limite élastique $\tau_e$	235 MPa
Facteur s visé	3

Figure 3.1

### 3. Couple induit par la charge:

- Force de roulement par roue:

$$F_{rr} = \frac{m}{4} \mu_{rr} g = \frac{2}{4} \times 0,02 \times 9,81 \approx 0,098 \text{ N}$$

- Couple à la roue:

$$M_{roue} = F_{rr} \times r = 0,098 \times 0,0325 \approx 2,94 \times 10^{-3} \text{ N} \cdot \text{m}$$

- Couple sur l'arbre (entrée réducteur):

$$M_{arbre} = \frac{M_{roue} \times k}{\eta} = \frac{2,94 \times 10^{-3} \times 1}{0,7 \times 48} \approx 8,8 \times 10^{-5} \text{ N} \cdot \text{m}$$

# 4. Modélisation en torsion:

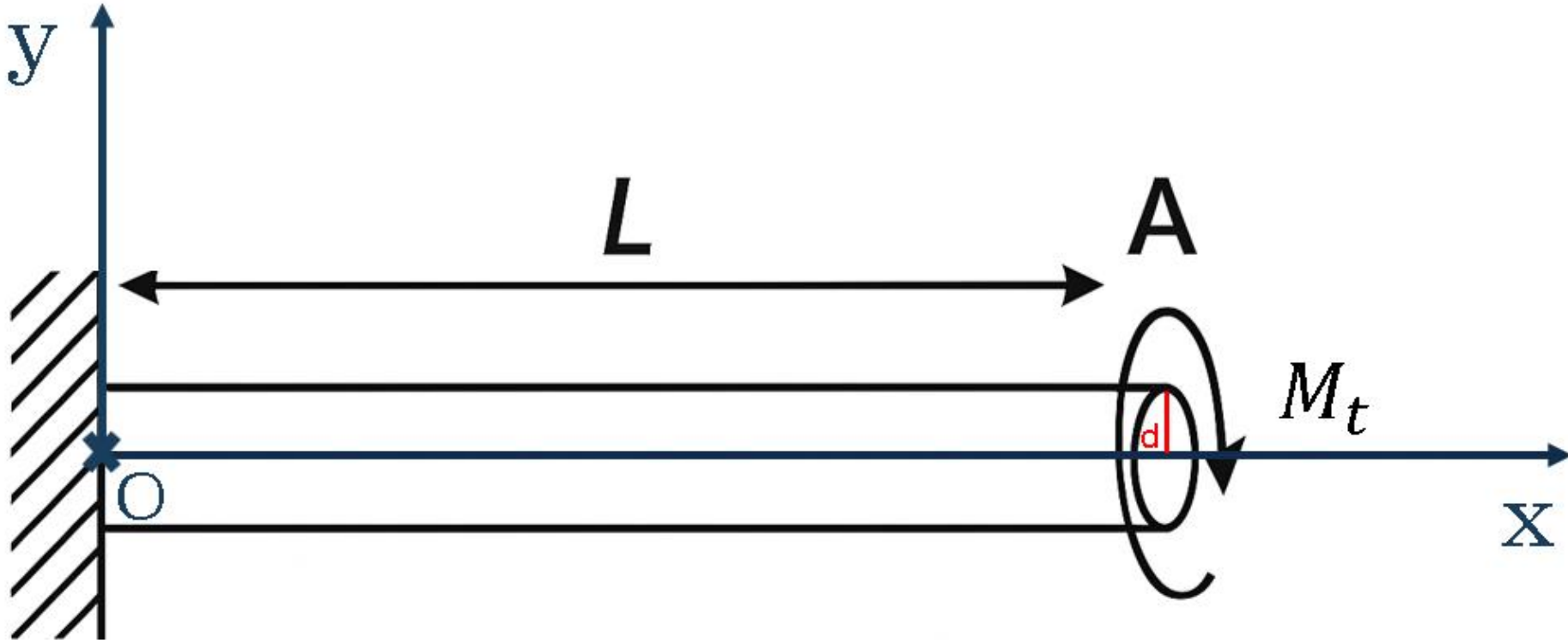


Figure 3.2

## 5. Formules:

- Section:

$$S = \frac{\pi d^2}{4}$$

- Moment polaire d'inertie:

$$I_0 = \frac{\pi d^4}{32}$$

- Contrainte tangentielle:

$$\tau_{max} = \frac{M_{arbre} \times \frac{d}{2}}{I_0} = \frac{M_{arbre} \times 16}{\pi \times d^3} \quad (1)$$

## 6. Diamètre minimal requis:

- Condition de résistance:

$$\tau_{max} \leq \frac{\tau_e}{s} \quad (2)$$

- Isolement (on remplace par (1) dans (2)):

$$d_{min} = \sqrt[3]{\frac{16 \times M_{arbre} \times s}{\pi \times \tau_e}}$$

- Valeur numérique:

$$d_{min} = \sqrt[3]{\frac{16 \times 6,8 \times 10^{-5} \times 3}{\pi \times 235 \times 10^6}} \approx 1,8 \times 10^{-4} \text{ m} = 0,18 \text{ mm}$$

- On a:  $d_{réel} = 2 \text{ mm} \geq 0,18 \text{ mm} \Rightarrow$  Le **diamètre** de l'arbre moteur est **valide**

## 7. Facteur de sécurité réel:

- Formule :

$$S_{réel} = \frac{\tau_e}{\tau_{max}(d_{réel})} = \frac{\tau_e \times \pi \times d_{réel}^3}{16 \times M_{arbre}}$$

- Valeur numérique :

$$S_{réel} = \frac{235 \times 10^6 \times \pi \times 0,002^3}{16 \times 6,8 \times 10^{-5}} \approx 6000$$

- On a:  $s_{réel} \gg 3 \Rightarrow$  Acier largement dimensionné offrant une **marge de sécurité significative**.

## 4<sup>ème</sup> objectif:

---

Analyse les contraintes appliquées sur les étagères et le choix du matériau adapté (AISI 304, aluminium 6061-T6 **ou** polycarbonate).

---

**Remarque :** toutes les images utilisées dans cette partie proviennent de mes simulations sous SolidWorks.

# 1. Création du système de plateaux sur Solidworks :

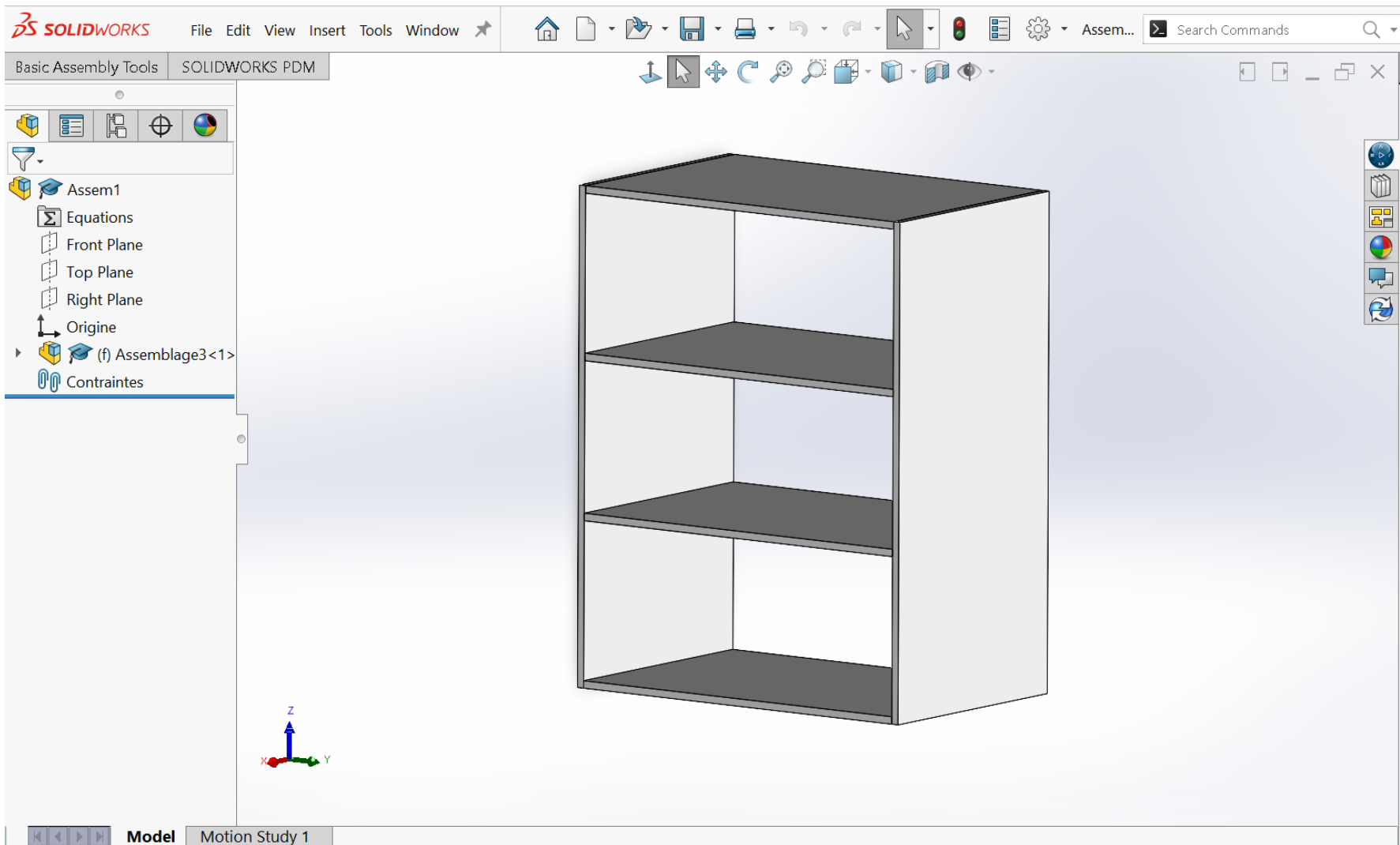


Figure 4.1

## 2. Mise en plan d'ensemble:

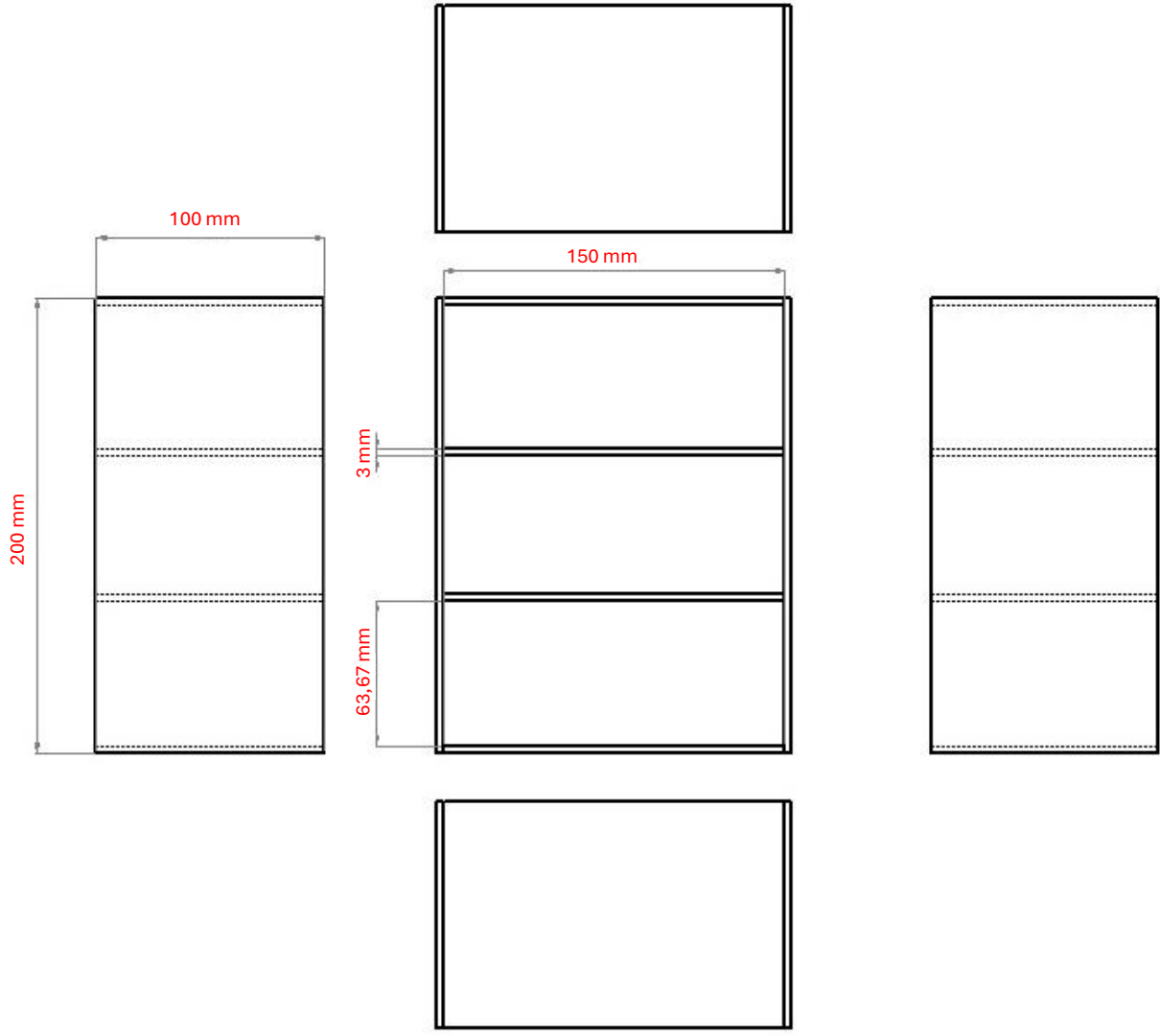


Figure 4.2

### 3. Cahier des charges:

Exigence	Spécification
Supporter la charge utile	0,2 kg par étagère ( $\approx 1,96$ N)
Rigidité (flèche)	$\leq 0,01$ mm
Capacité mécanique et sécurité	$\sigma_{max} \leq \frac{R_e}{2}$ (CS $\geq 2$ )
Légèreté (masse totale)	$\leq 1$ kg
Coût matière	< 5 € par assemblage

Figure 4.3

# AISI 304

## 1. Propriétés de l' AISI 304:

### Material Properties

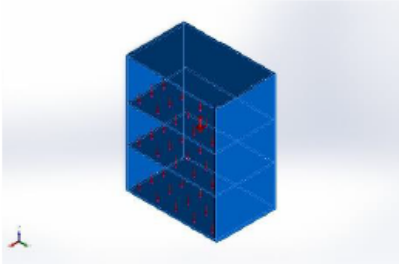
Model Reference	Properties	Components
<p>limite d'élasticité <math>R_e</math></p> <p><math>E</math></p> <p><math>\rho</math></p> 	<p>Name: AISI 304</p> <p>Model type: Linear Elastic Isotropic</p> <p>Default failure criterion: Max von Mises Stress</p> <p>Yield strength: 2,06807e+08 N/m<sup>2</sup></p> <p>Tensile strength: 5,17017e+08 N/m<sup>2</sup></p> <p>Elastic modulus: 1,9e+11 N/m<sup>2</sup></p> <p>Poisson's ratio: 0,29</p> <p>Mass density: 8 000 kg/m<sup>3</sup></p> <p>Shear modulus: 7,5e+10 N/m<sup>2</sup></p> <p>Thermal expansion coefficient: 1,8e-05 /Kelvin</p>	<p>SolidBody 1(Boss.-Extru.2)(Assemblage3-1/Pièce de base 150x100x3 mm-1),</p> <p>SolidBody 1(Boss.-Extru.2)(Assemblage3-1/Pièce de base 150x100x3 mm-2),</p> <p>SolidBody 1(Boss.-Extru.2)(Assemblage3-1/Pièce de base 150x100x3 mm-3),</p> <p>SolidBody 1(Boss.-Extru.2)(Assemblage3-1/Pièce de base 150x100x3 mm-4),</p> <p>SolidBody 1(Boss.-Extru.1)(Assemblage3-1/plaque verticale 200x100x3 en mm-1),</p> <p>SolidBody 1(Boss.-Extru.1)(Assemblage3-1/plaque verticale 200x100x3 en mm-2)</p>
Curve Data:N/A		

Figure 4.4

# AISI 304

## 2. Charges:

- Chaque plateau supporte une charge de 0,2 kg (soit un poids de 1,96 N). Ses dimensions sont de 150 mm × 100 mm (surface = 0,015 m<sup>2</sup>). La pression surfacique est donc: **130,8 Pa**

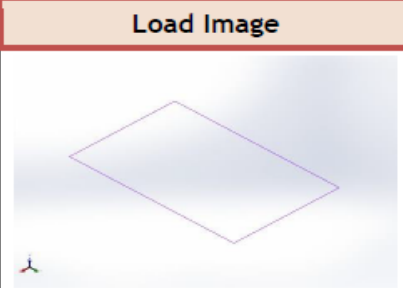
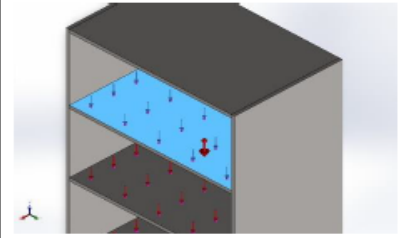
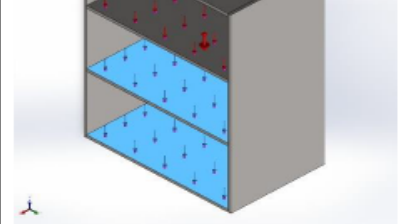
Load name	Load Image	Load Details
Gravity-1		Reference: Top Plane Values: 0 0 -9,81 Units: m/s <sup>2</sup>
Pressure-1		Entities: 1 face(s) Type: Normal to selected face Value: 130,8 Units: N/m <sup>2</sup> Phase Angle: 0 Units: deg
Pressure-2		Entities: 2 face(s) Type: Normal to selected face Value: 130,8 Units: N/m <sup>2</sup> Phase Angle: 0 Units: deg

Figure 4.5

## 3. Contrainte maximale:

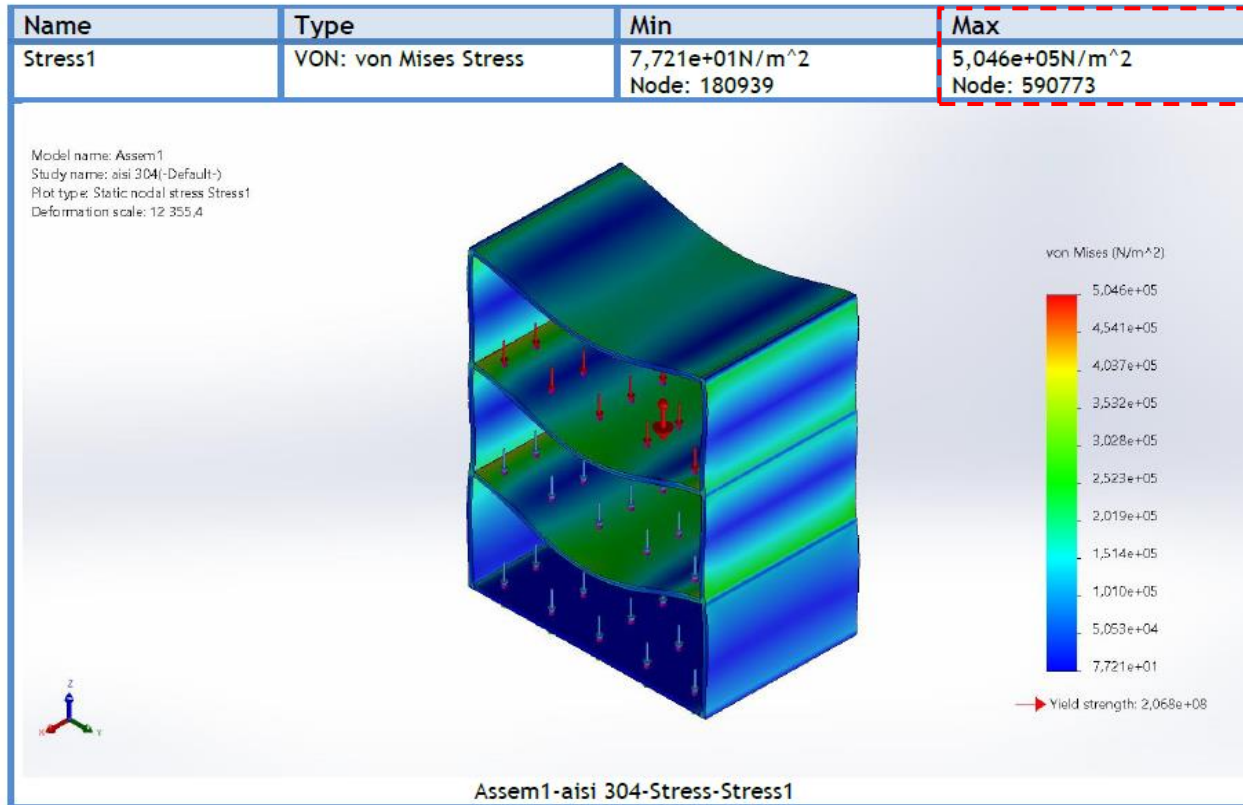


Figure 4.6

- On a  $R_e = 2,068 \times 10^8 \text{ N/m}^2$  et  $\sigma_{max} = 5,056 \times 10^5 \text{ N/m}^2$

$$\Rightarrow CS = \frac{R_e}{\sigma_m} = \frac{2,068 \times 10^8}{5,056 \times 10^5} \approx 410$$

# AISI 304

## 4. Flèche maximale :

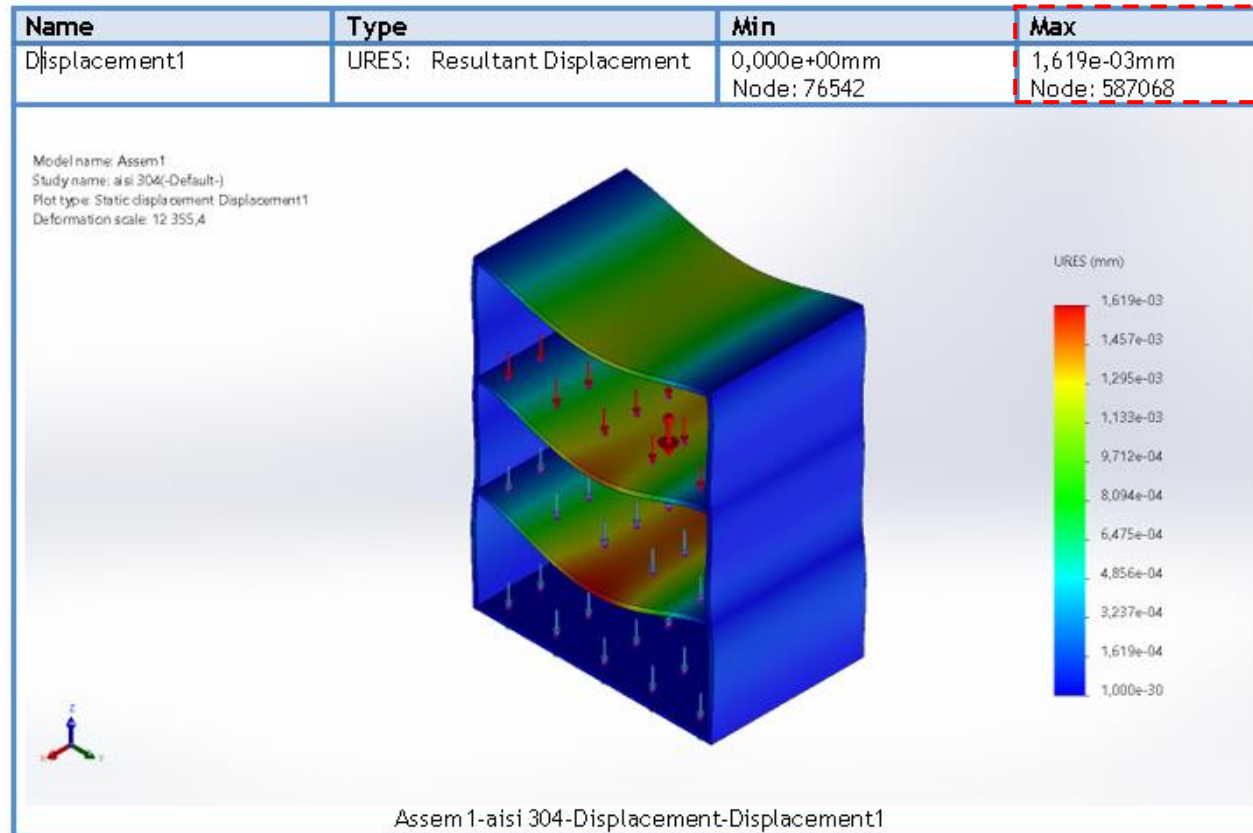


Figure 4.7

- La flèche maximale est :  $1,619 \times 10^{-3} \text{ mm}$

# Aluminium 6061-T6

## 1. Propriétés de l'Aluminium 6061-T6 :

### Material Properties

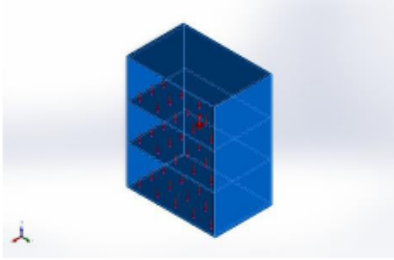
Model Reference	Properties	Components
<p>limite d'élasticité <math>R_e</math></p> <p><math>E</math></p> <p><math>\rho</math></p> 	<p><b>Name:</b> 6061-T6 (SS)</p> <p><b>Model type:</b> Linear Elastic Isotropic</p> <p><b>Default failure criterion:</b> Max von Mises Stress</p> <p><b>Yield strength:</b> 2,75e+08 N/m<sup>2</sup></p> <p><b>Tensile strength:</b> 3,1e+08 N/m<sup>2</sup></p> <p><b>Elastic modulus:</b> 6,9e+10 N/m<sup>2</sup></p> <p><b>Poisson's ratio:</b> 0,33</p> <p><b>Mass density:</b> 2 700 kg/m<sup>3</sup></p> <p><b>Shear modulus:</b> 2,6e+10 N/m<sup>2</sup></p> <p><b>Thermal expansion coefficient:</b> 2,4e-05 /Kelvin</p>	<p>SolidBody 1(Boss.-Extru.2)(Assemblage3-1/Pièce de base 150x100x3 mm-1),</p> <p>SolidBody 1(Boss.-Extru.2)(Assemblage3-1/Pièce de base 150x100x3 mm-2),</p> <p>SolidBody 1(Boss.-Extru.2)(Assemblage3-1/Pièce de base 150x100x3 mm-3),</p> <p>SolidBody 1(Boss.-Extru.2)(Assemblage3-1/Pièce de base 150x100x3 mm-4),</p> <p>SolidBody 1(Boss.-Extru.1)(Assemblage3-1/plaque verticale 200x100x3 en mm-1),</p> <p>SolidBody 1(Boss.-Extru.1)(Assemblage3-1/plaque verticale 200x100x3 en mm-2)</p>
Curve Data:N/A		

Figure 4.8

# Aluminium 6061-T6

## 2. Contrainte maximale:

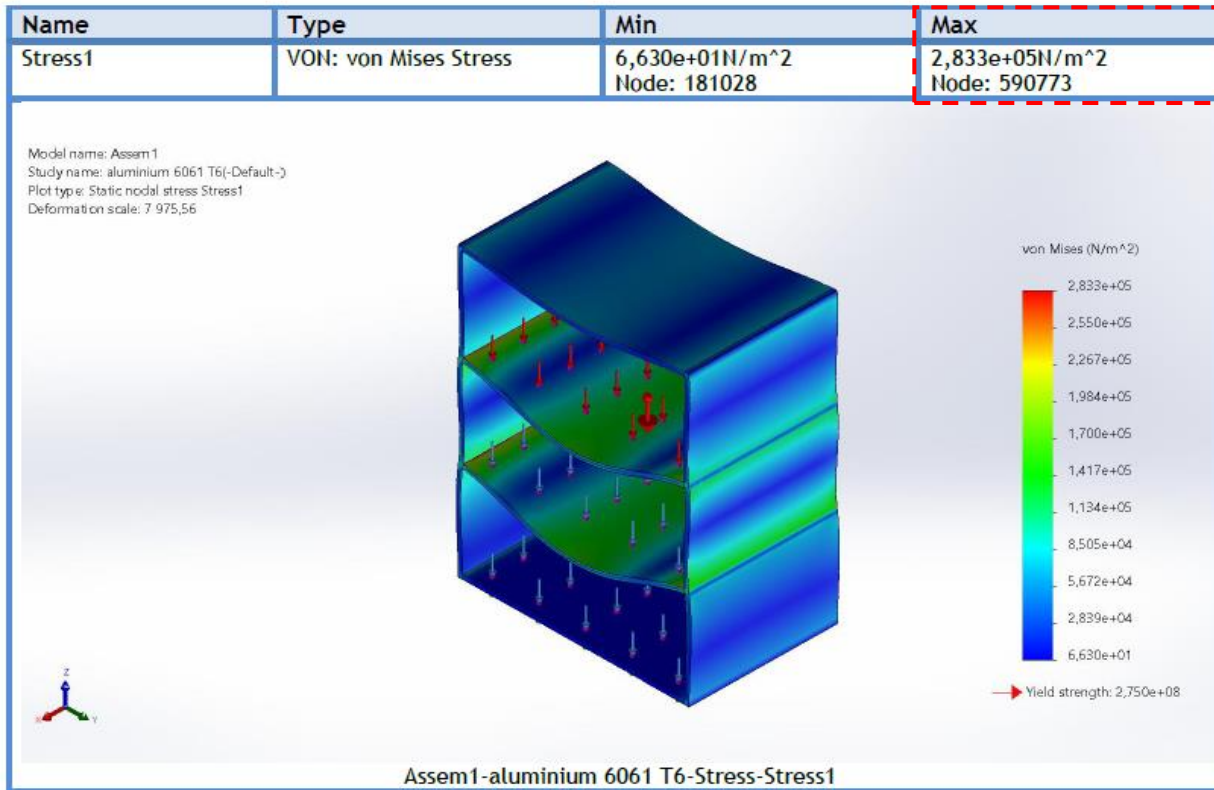


Figure 4.9

- On a  $R_e = 2,750 \times 10^8 \text{ N/m}^2$  et  $\sigma_{max} = 2,833 \times 10^5 \text{ N/m}^2$
- $$\Rightarrow CS = \frac{R_e}{\sigma_m} = \frac{2,750 \times 10^8}{2,833 \times 10^5} \approx 970$$

# Aluminium 6061-T6

## 3. Flèche maximale :

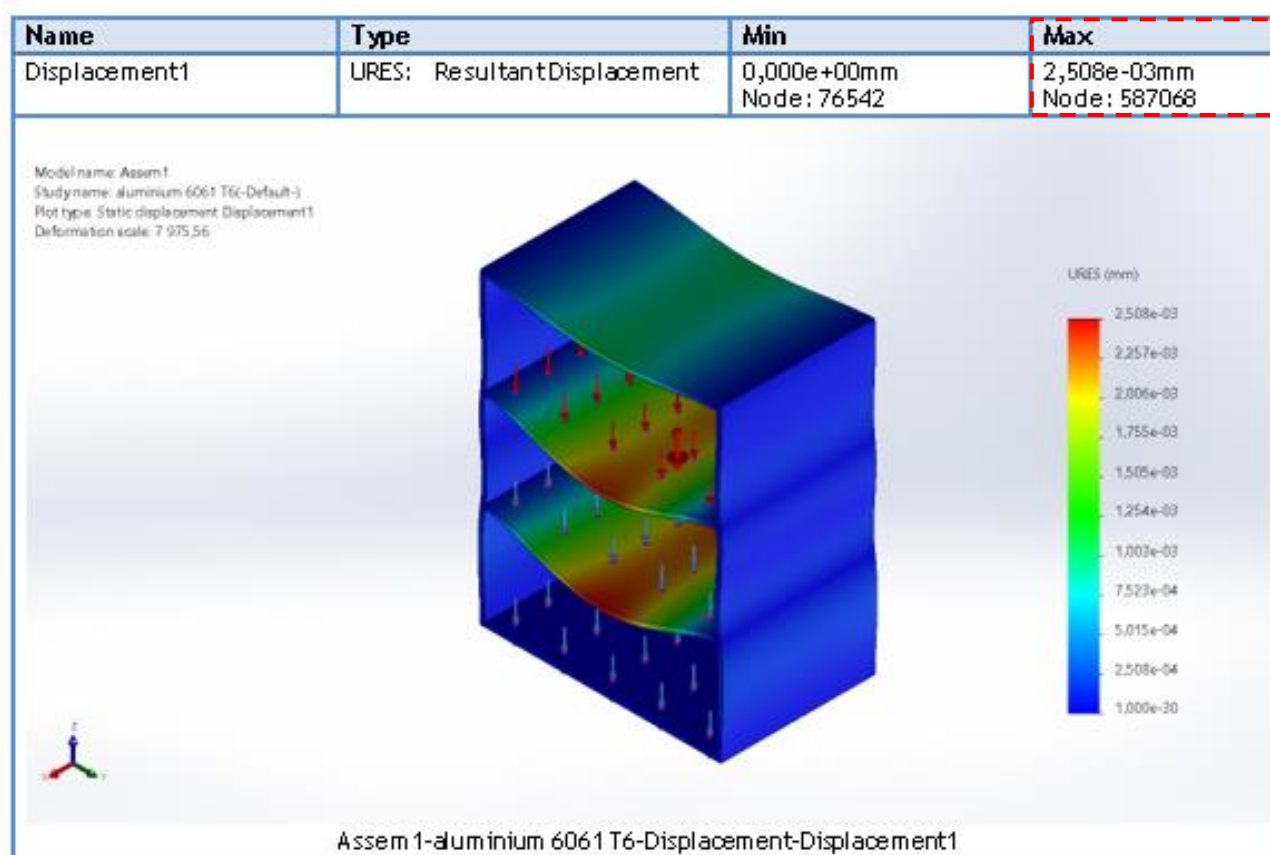


Figure 4.10

- La flèche maximale est :  $2,508 \times 10^{-3}$  mm

# Polycarbonate

## 1. Propriétés du Polycarbonate :

### Material Properties

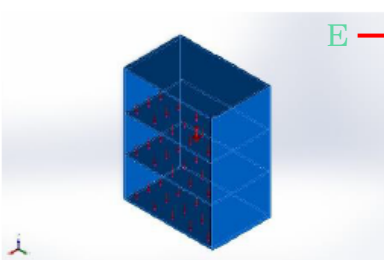
Model Reference	Properties	Components
<p>limite d'élasticité <math>R_e</math></p> 	<p>Name: Polycarbonate            Model type: Linear Elastic Isotropic            Default failure criterion: Max von Mises Stress            Yield strength: <math>7e+07 \text{ N/m}^2</math>            Tensile strength: <math>7e+07 \text{ N/m}^2</math>            Compressive strength: <math>1e+08 \text{ N/m}^2</math>            Elastic modulus: <math>2,2e+09 \text{ N/m}^2</math>            Poisson's ratio: 0,37            Mass density: <math>1\ 200 \text{ kg/m}^3</math>            Shear modulus: <math>8,02e+08 \text{ N/m}^2</math></p>	<p>SolidBody 1(Boss.-Extru.2)(Assemblage3-1/Pièce de base 150x100x3 mm-1),            SolidBody 1(Boss.-Extru.2)(Assemblage3-1/Pièce de base 150x100x3 mm-2),            SolidBody 1(Boss.-Extru.2)(Assemblage3-1/Pièce de base 150x100x3 mm-3),            SolidBody 1(Boss.-Extru.2)(Assemblage3-1/Pièce de base 150x100x3 mm-4),            SolidBody 1(Boss.-Extru.1)(Assemblage3-1/plaque verticale 200x100x3 en mm-1),            SolidBody 1(Boss.-Extru.1)(Assemblage3-1/plaque verticale 200x100x3 en mm-2)</p>
Curve Data:N/A		

Figure 4.11

# Polycarbonate

## 2. Contrainte maximale:

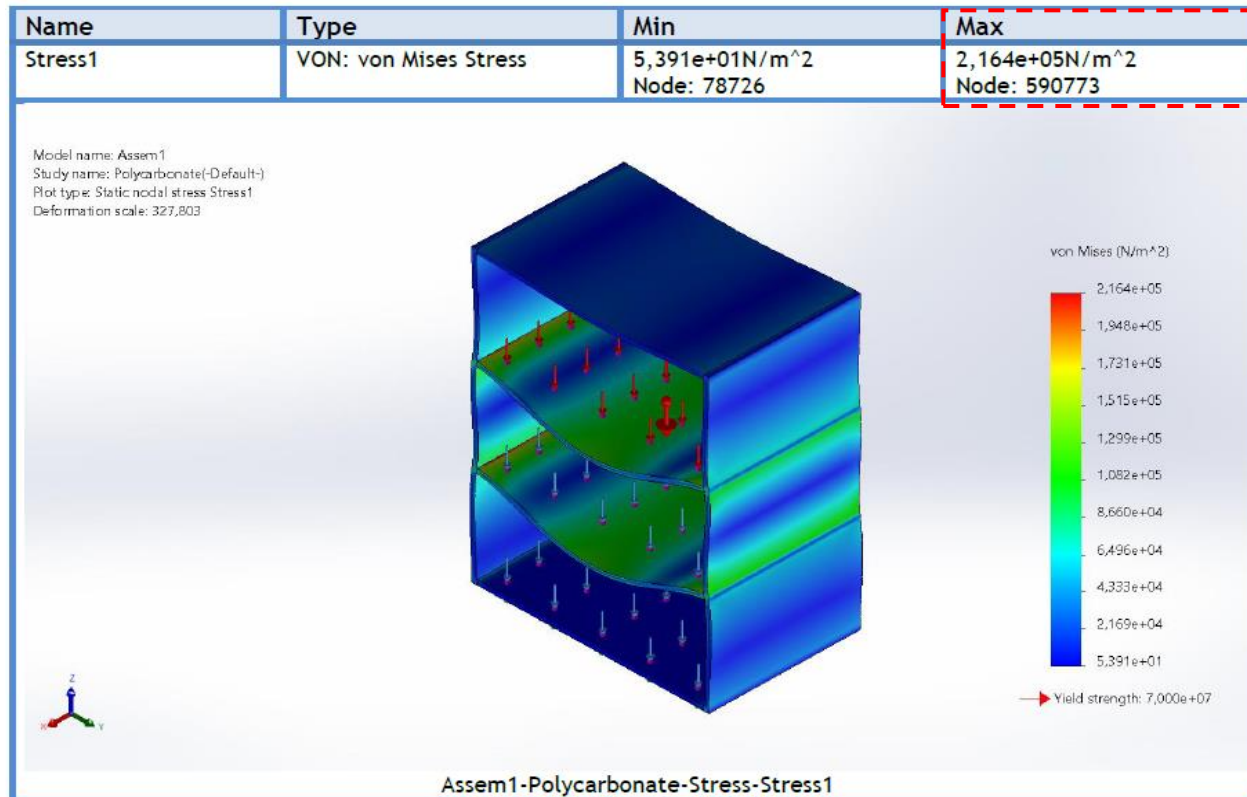


Figure 4.12

- On a  $R_e = 7 \times 10^7 \text{ N/m}^2$  et  $\sigma_{max} = 2,164 \times 10^5 \text{ N/m}^2$

$$\Rightarrow CS = \frac{R_e}{\sigma_m} = \frac{7 \times 10^7}{2,164 \times 10^5} \approx 323$$

# Polycarbonate

## 3. Flèche maximale :

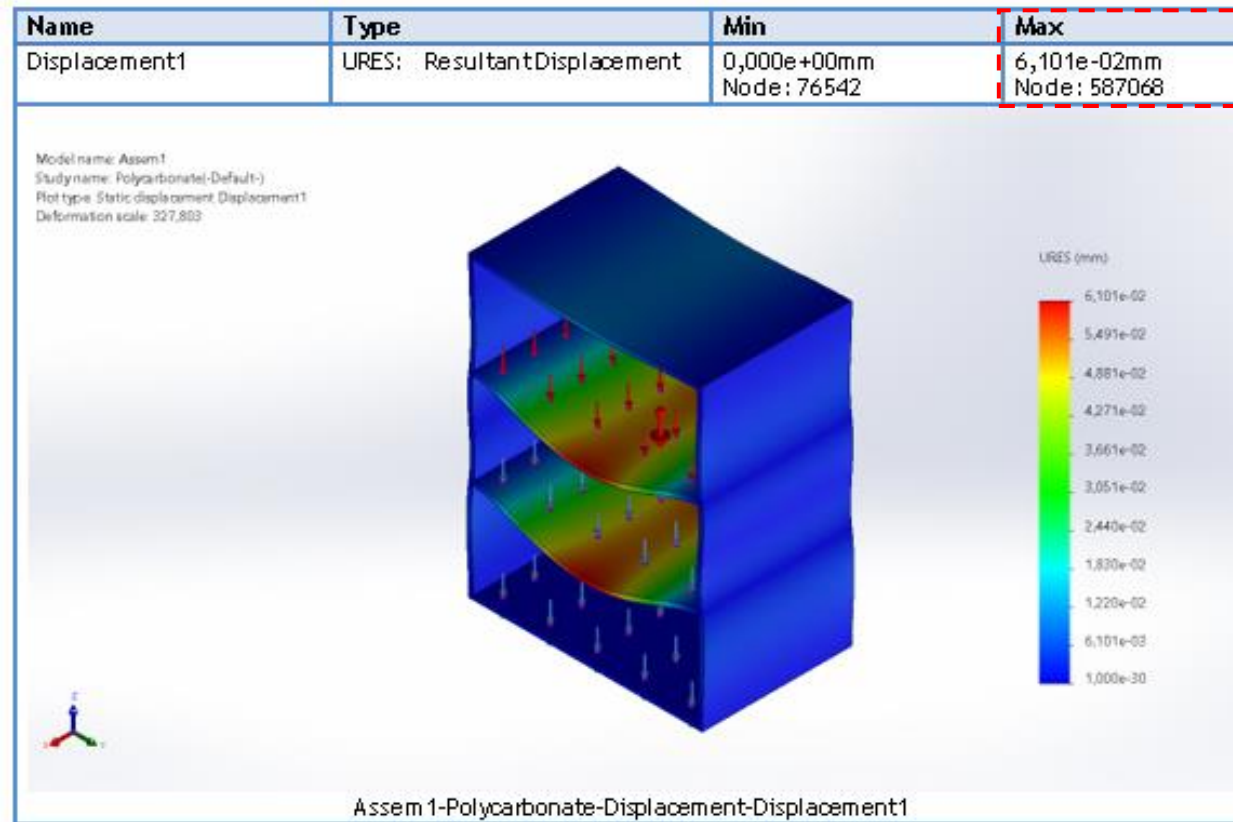


Figure 4.13

- La flèche maximale est :  $6,101 \times 10^{-2}$  mm

# Bilan






Matériau	Masse	Flèche max	CS: s	Prix	C.d.C
AISI 304	2,40 Kg 	$1,619 \times 10^{-3}$ mm 	410 	$\approx 2,5$ €/Kg 	
Aluminium 6061-T6	0,81 Kg 	$2,508 \times 10^{-3}$ mm 	970 	$\approx 1,8$ €/Kg 	
Polycarbonate	0,36 Kg 	$6,101 \times 10^{-2}$ mm 	323 	$\approx 20$ €/Kg 	

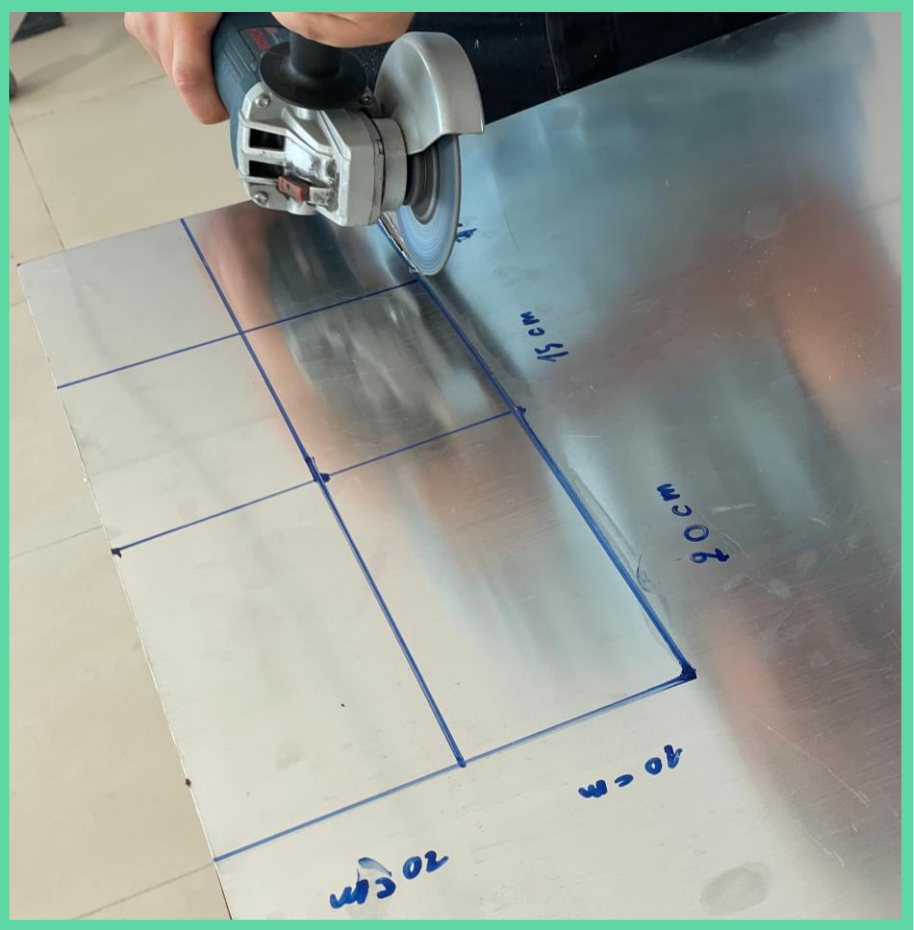
Figure 4.14

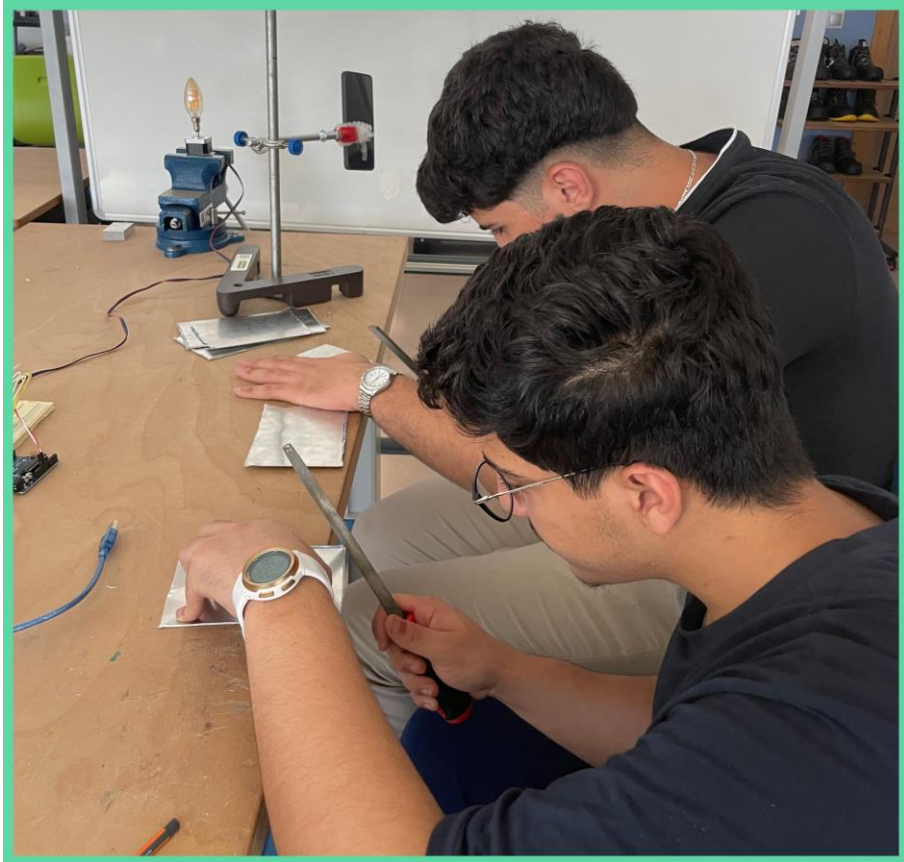
⇒ Nous optons pour **l'aluminium 6061-T6** en raison de ses excellentes caractéristiques de légèreté, de rigidité et de coût.

## 5<sup>ème</sup> objectif: \_\_\_\_\_

Construire un prototype pour valider la mise en œuvre du système.

---





# Conclusion

**Merci pour votre attention!**

# BFS et fusion de segments

## Code Python

```

1 from collections import deque
2 import matplotlib.pyplot as plt
3 import numpy as np
4 import time
5
6 # Chargement + inversion + miroir
7
8 def charger_carte_sym(csv_path):
9     mat = []
10    with open(csv_path, "r") as f:
11        for ligne in f:
12            mat.append([1 - int(x) for x in ligne.strip().split(",")])
13    return mat[::-1]
14
15 DELTA = [(-1,0), (1,0), (0,-1), (0,1), (-1,-1), (-1,1), (1,-1), (1,1)]
16
17 def reconstituer(parent, lf, cf):
18     ch, cur = [], (lf, cf)
19     while cur:
20         ch.append(cur)
21         cur = parent[cur[0]][cur[1]]
22     return ch[::-1]
23
24
25 def bfs(mat, dep, arr):
26     (ld, cd), (la, ca) = dep, arr
27     n, m = len(mat), len(mat[0])
28     if mat[ld][cd] == 0 or mat[la][ca] == 0:
29         return []
30     dist = [[-1]*m for _ in range(n)]
31     parent = [[None]*m for _ in range(n)]
32     q = deque([(ld, cd)])
33     dist[ld][cd] = 0
34     while q:
35         l, c = q.popleft()
36         if (l, c) == (la, ca):
37             return reconstituer(parent, l, c)
38         for dl, dc in DELTA:
39             ln, cn = l + dl, c + dc
40             if 0 <= ln < n and 0 <= cn < m and mat[ln][cn] == 1 and dist[ln][cn] == -1:
41                 dist[ln][cn] = dist[l][c] + 1
42                 parent[ln][cn] = (l, c)
43                 q.append((ln, cn))

```

```

44     return []
45
46
47 def fusion(chemin):
48     if len(chemin) <= 2:
49         return chemin
50     optim = [chemin[0]]
51     dir_prev = (chemin[1][0]-chemin[0][0], chemin[1][1]-chemin[0][1])
52     for i in range(1, len(chemin)-1):
53         dir_curr = (chemin[i+1][0]-chemin[i][0], chemin[i+1][1]-chemin[i][1])
54         if dir_curr != dir_prev:
55             optim.append(chemin[i])
56             dir_prev = dir_curr
57     optim.append(chemin[-1])
58     return optim
59
60
61 def montrer(mat, ch_fuse):
62     plt.imshow(np.array(mat), cmap="gray")
63     xs = [c for (l, c) in ch_fuse]
64     ys = [l for (l, _) in ch_fuse]
65     plt.plot(xs, ys, 'r', lw=2)
66     plt.gca().invert_yaxis()
67     plt.show()
68
69
70 def main():
71     mat = charger_carte_sym(r"C:\Users\hp\Desktop\avant.csv")
72     H = len(mat)
73     dep_orig = (0, 4)
74     arr_orig = (23, 12)
75     dep = (H - 1 - dep_orig[0], dep_orig[1])
76     arr = (H - 1 - arr_orig[0], arr_orig[1])
77     t0 = time.perf_counter()
78     chemin_brut = bfs(mat, dep, arr)
79     duree = (time.perf_counter() - t0) * 1000
80     print(f"Dur e BFS : {duree:.2f} ms")
81     if not chemin_brut:
82         print("Aucun chemin trouv .")
83         return
84     chemin_brut_xy = [(c * 10, l * 10) for (l, c) in chemin_brut]
85     print(chemin_brut_xy)
86     chemin_fusion = fusion(chemin_brut)
87     print(chemin_fusion)
88     montrer(mat, chemin_fusion)
89
90 if __name__ == "__main__":
91     main()

```

## Algorithme de fusion des segments

**Entrée:** *chemin* : liste ordonnée de points  $P_0, \dots, P_k$

**Sortie:** Liste compactée conservant uniquement les changements de direction

```

if chemin ≤ 2 then
  | return chemin ;                                # rien à fusionner
fused ← [ $P_0$ ];
dir_prev ←  $P_1 - P_0$ ;                               # vecteur directeur
for  $i \leftarrow 1$  to  $k - 1$  do
  | dir_curr ←  $P_{i+1} - P_i$ ;
  | if dir_curr ≠ dir_prev then
  | | fused.ajouter( $P_i$ );
  | | dir_prev ← dir_curr;
  | end
end
fused.ajouter( $P_k$ ) ;                                # toujours garder l'arrivée
return fused;

```

# La fonction atan2

## Définition de la fonction atan2

Soit  $(x, y) \in \mathbb{R}^2 \setminus \{(0, 0)\}$ . La fonction  $\text{atan2}(y, x)$  renvoie l'angle  $\alpha \in (-\pi, \pi]$  tel que

$$(\cos \alpha, \sin \alpha) = \frac{1}{\sqrt{x^2 + y^2}} (x, y).$$

On peut l'écrire de façon équivalente :

$$\text{atan2}(y, x) = \begin{cases} \arctan\left(\frac{y}{x}\right) & \text{si } x > 0, \\ \arctan\left(\frac{y}{x}\right) + \pi & \text{si } x < 0 \text{ et } y \geq 0, \\ \arctan\left(\frac{y}{x}\right) - \pi & \text{si } x < 0 \text{ et } y < 0, \\ +\frac{\pi}{2} & \text{si } x = 0 \text{ et } y > 0, \\ -\frac{\pi}{2} & \text{si } x = 0 \text{ et } y < 0. \end{cases}$$

Par convention,  $\text{atan2}(0, 0)$  est souvent défini comme 0.

# Mesure de distance à un obstacle

```
1 #include <Wire.h>
2 #include <LiquidCrystal_I2C.h>
3
4 LiquidCrystal_I2C lcd(0x27, 16, 2);
5
6 const int trigPin = 9;
7 const int echoPin = 10;
8
9 void setup() {
10     Serial.begin(9600);
11     lcd.init();
12     lcd.backlight();
13     lcd.print("Distance:");
14     pinMode(trigPin, OUTPUT);
15     pinMode(echoPin, INPUT);
16 }
17
18 void loop() {
19     digitalWrite(trigPin, LOW);
20     delayMicroseconds(2);
21     digitalWrite(trigPin, HIGH);
22     delayMicroseconds(10);
23     digitalWrite(trigPin, LOW);
24
25     long duration = pulseIn(echoPin, HIGH);
26     float distance = duration * 0.034 / 2;
27
28     lcd.setCursor(0, 1);
29     lcd.print("          ");
30     lcd.setCursor(0, 1);
31     lcd.print(distance);
32     lcd.print(" cm");
33
34     Serial.print("Distance: ");
35     Serial.print(distance);
36     Serial.println(" cm");
37
38     delay(500);
39 }
```

HC-SR04 et LCD 16x2

# Mesure de distance à un obstacle

```
1 #include <Wire.h>
2 #include <LiquidCrystal_I2C.h>
3
4 LiquidCrystal_I2C lcd(0x27, 20, 4);
5
6 const int sharpPin = A0;
7 int rawValue;
8 float distance;
9
10 void setup() {
11     lcd.begin(20, 4);
12     lcd.backlight();
13     lcd.setCursor(0, 0);
14     lcd.print("Initializing...");
15     delay(2000);
16     lcd.clear();
17     Serial.begin(9600);
18 }
19
20 void loop() {
21     rawValue = analogRead(sharpPin);
22     distance = 60.495 * pow(rawValue * (5.0 / 1023.0), -1.190);
23
24     Serial.print("Distance: ");
25     Serial.print(distance);
26     Serial.println(" cm");
27
28     lcd.setCursor(0, 0);
29     lcd.print("Distance: ");
30     lcd.print(distance, 2);
31     lcd.print(" cm  ");
32
33     delay(500);
34 }
```

Capteur Sharp et LCD 20x4

# Asservissement en vitesse

```

1 #include <Arduino.h>
2
3 /* ----- PARAM TRES ----- */
4 const int PPR = 20;
5 const float r = 0.0325f; // rayon [m]
6 const float dt = 0.05f; // periode boucle (50 ms)
7 const float Kp = 50.0f;
8 const float Ki = 2.192f;
9
10 /* ----- BROCHAGE ----- */
11 #define ENC_FL_PIN 2
12 #define ENC_BL_PIN 3
13 #define ENC_FR_PIN 4
14 #define ENC_BR_PIN 5
15 #define DIR_L1_PIN 6
16 #define DIR_L2_PIN 7
17 #define PWM_L_PIN 9
18 #define DIR_R1_PIN 10
19 #define DIR_R2_PIN 11
20 #define PWM_R_PIN 12
21
22 /* ----- VARIABLES ----- */
23 volatile long pulsesFL = 0, pulsesBL = 0;
24 volatile long pulsesFR = 0, pulsesBR = 0;
25 long lastFL = 0, lastBL = 0;
26 long lastFR = 0, lastBR = 0;
27 float sumErrFL = 0, sumErrBL = 0;
28 float sumErrFR = 0, sumErrBR = 0;
29 int8_t dirFL = 1, dirBL = 1;
30 int8_t dirFR = 1, dirBR = 1;
31
32 /* ----- ISR ----- */
33 void ISR_FL() { ++pulsesFL; }
34 void ISR_BL() { ++pulsesBL; }
35 void ISR_FR() { ++pulsesFR; }
36 void ISR_BR() { ++pulsesBR; }
37
38 /* ----- SETUP ----- */

```

```

39 void setup() {
40   pinMode(ENC_FL_PIN, INPUT_PULLUP);
41   pinMode(ENC_BL_PIN, INPUT_PULLUP);
42   pinMode(ENC_FR_PIN, INPUT_PULLUP);
43   pinMode(ENC_BR_PIN, INPUT_PULLUP);
44   attachInterrupt(digitalPinToInterrupt(ENC_FL_PIN), ISR_FL, RISING);
45   attachInterrupt(digitalPinToInterrupt(ENC_BL_PIN), ISR_BL, RISING);
46   attachInterrupt(digitalPinToInterrupt(ENC_FR_PIN), ISR_FR, RISING);
47   attachInterrupt(digitalPinToInterrupt(ENC_BR_PIN), ISR_BR, RISING);
48
49   pinMode(DIR_L1_PIN, OUTPUT);
50   pinMode(DIR_L2_PIN, OUTPUT);
51   pinMode(PWM_L_PIN, OUTPUT);
52   pinMode(DIR_R1_PIN, OUTPUT);
53   pinMode(DIR_R2_PIN, OUTPUT);
54   pinMode(PWM_R_PIN, OUTPUT);
55 }
56
57 /* ----- PI D UNE ROUE ----- */
58 void updateWheel(float vRef, // consigne m/s
59                 long dP_signed, // impulsions sign
60                 float & sumErr, // int grale erreur
61                 int8_t & dirCmd, // sens appliqu
62                 uint8_t DIR1,
63                 uint8_t DIR2,
64                 uint8_t PWMpin) {
65   float dS = (2 * PI * r) * dP_signed / PPR;
66   float vMeas = dS / dt;
67   float e = vRef - vMeas;
68   sumErr += e * dt;
69   float u = constrain(Kp * e + Ki * sumErr, -1.0f, 1.0f);
70   dirCmd = (u >= 0) ? 1 : -1;
71   int pwm = (int)(fabs(u) * 255);
72   digitalWrite(DIR1, dirCmd > 0);
73   digitalWrite(DIR2, dirCmd < 0);
74   analogWrite(PWMpin, pwm);
75 }

```

# Asservissement en vitesse

```
77 /* ----- BOUCLE PRINCIPALE ----- */
78 void loop() {
79     static unsigned long tLast = micros();
80     const unsigned long dt_us = (unsigned long)(dt * 1e6);
81     if ((long)(micros() - tLast) < (long)dt_us) return;
82     tLast += dt_us;
83
84     noInterrupts();
85     long pFL = pulsesFL, pBL = pulsesBL;
86     long pFR = pulsesFR, pBR = pulsesBR;
87     interrupts();
88
89     long dFL = pFL - lastFL; lastFL = pFL;
90     long dBL = pBL - lastBL; lastBL = pBL;
91     long dFR = pFR - lastFR; lastFR = pFR;
92     long dBR = pBR - lastBR; lastBR = pBR;
93
94     long sFL = dFL * dirFL;
95     long sBL = dBL * dirBL;
96     long sFR = dFR * dirFR;
97     long sBR = dBR * dirBR;
98
99     float vRefL = 0.20f;
100    float vRefR = 0.20f;
101
102    updateWheel(vRefL, sFL, sumErrFL, dirFL, DIR_L1_PIN, DIR_L2_PIN,
103               PWM_L_PIN);
104    updateWheel(vRefL, sBL, sumErrBL, dirBL, DIR_L1_PIN, DIR_L2_PIN,
105               PWM_L_PIN);
106    updateWheel(vRefR, sFR, sumErrFR, dirFR, DIR_R1_PIN, DIR_R2_PIN,
107               PWM_R_PIN);
108    updateWheel(vRefR, sBR, sumErrBR, dirBR, DIR_R1_PIN, DIR_R2_PIN,
109               PWM_R_PIN);
110 }
```

# Cinématique différentielle et odométrie

- Formules de la cinématique différentielle:  
[https://en.wikipedia.org/wiki/Differential\\_wheeled\\_robot](https://en.wikipedia.org/wiki/Differential_wheeled_robot)
- Formules de l'odométrie:  
<https://automaticaddison.com/calculating-wheel-odometry-for-a-differential-drive-robot/>